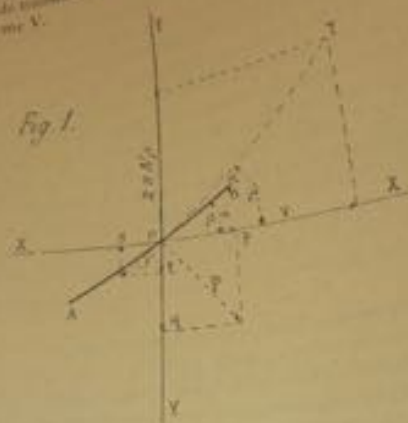


perpendiculaire
à l'axe XX, à une vitesse uniforme
en même temps que l'axe XX
avant de rotation, dans le sens du z.
uniforme V.

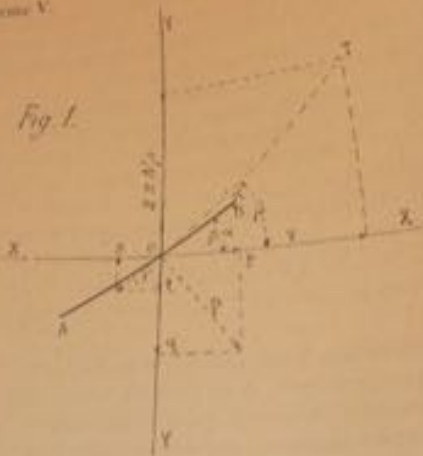
Fig. 1.



Du fait de la rotation autour de l'axe XX, le point O sera animé, dans le sens OY, d'une vitesse périphérique qui s'exprimera par $2\pi N_s r$, r étant la distance du point O à l'axe de rotation XX. D'autre part, du fait de l'avancement longitudinal de l'axe de rotation lui-même, le point O possédera aussi une vitesse V dans le sens parallèle à l'axe XX. La vitesse réelle du point O sera la résultante des deux vitesses $2\pi N_s r$ et V; elle sera donc représentée, en grandeur et en direction, par OT, diagonale du rectangle, dont les côtés sont respectivement $2\pi N_s r$ et V. Cette diagonale représentera aussi la tangente à la trajectoire réelle suivie par le point O; laquelle trajectoire sera une ligne hélicoïdale, résultant de l'enroulement de la diagonale OT

Considérons un point O fixe lisse sur un rayon rigide, fait périodiquement à un pas XX tourner uniformément, avec lui, à une vitesse uniforme de X tours à la seconde; supposons en même temps que l'axe XX lui-même soit animé d'un mouvement de translation, dans le sens de sa longueur, avec une vitesse uniforme V.

Fig. 1.



- 4 -

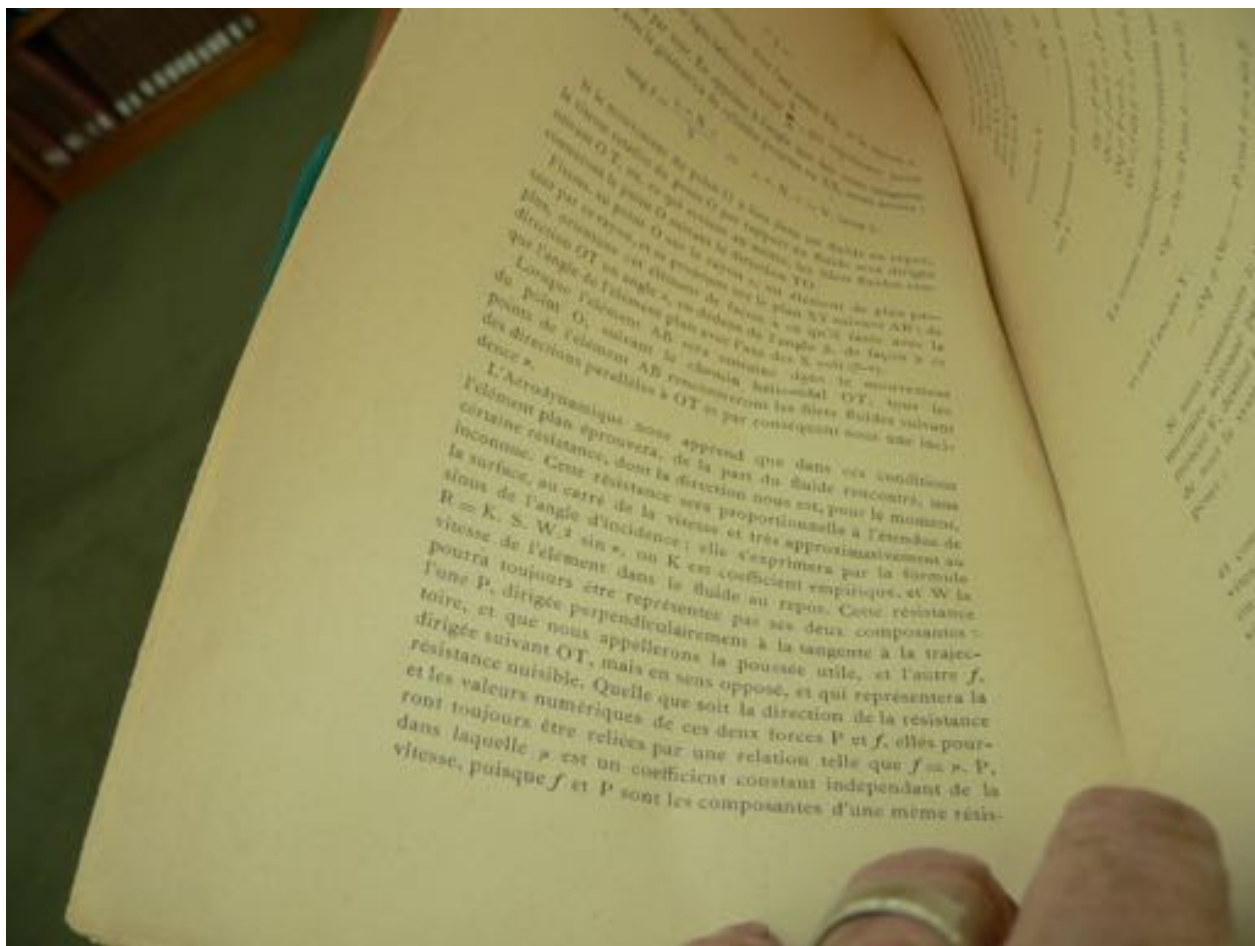
sur la surface cylindrique, dont l'axe serait XX, et le rayon r ,
Le pas de cette ligne hélicoïdale sera $\frac{V}{N}$, qui représente aussi
l'avance par tour. En appelant β l'angle que fait cette tangente
OT avec la génératrice du cylindre projetée en XX, nous avons :

$$\tan \beta = \frac{2 \cdot \pi \cdot N \cdot z}{V} \quad \text{et} \quad 2 \cdot \pi \cdot N \cdot z = V \cdot \tan \beta.$$

Si le mouvement du point O a lieu dans un fluide au repos,
la vitesse relative du point O par rapport au fluide sera dirigée
suivant OT, ou, ce qui revient au même, les filets fluides ren-
contreront le point O suivant la direction TO.

Fixons, au point O sur le rayon r , un élément de plan pas-
sant par ce rayon, et se projetant sur le plan XY suivant AB ; de
plus, orientons cet élément de façon à ce qu'il fasse avec la
direction OT un angle α , en dedans de l'angle β , de façon à ce
que l'angle de l'élément plan avec l'axe des X soit ($\beta - \alpha$).

Lorsque l'élément AB sera entraîné dans le mouvement
du point O, suivant le chemin hélicoïdal OT, tous les
points de l'élément AB rencontreront les filets fluides suivant
des directions α .



- 3 -

tance, et varient toutes les deux en même temps, et de la même façon, proportionnellement au carré de la vitesse.

Les deux composantes se trouvant dans un plan parallèle au plan XY, leurs projections sur l'axe des Z seront nulles, tandis que leurs projections respectives sur les axes des X et Y seront :

Pour les X : $+Op$ et $-Os$
et pour les Y : $-Oq$ et $-Or$

Exprimant ces projections en fonctions de P, de α et de β ,
on a :

$$\begin{aligned}Op &= P \sin \beta, \\Os &= f \cos \beta = \alpha P \cos \beta, \\Oq &= P \cos \beta, \\Or &= f \sin \beta = \alpha P \sin \beta.\end{aligned}$$

La somme algébrique de ces ..

point
en point des β :
 $OQ = OX \cos \alpha$
Exprimant ces projections en fonction de

$$\begin{aligned}OQ &= P \sin \beta \\Ox &= f \cos \beta = \mu P \cos \beta \\Oy &= P \cos \beta \\Oz &= f \sin \beta = \mu P \sin \beta\end{aligned}$$

La somme algébrique de ces projections sur l'axe des X sera :

$$Ox - Ox = P (\sin \beta - \mu \cos \beta)$$

et sur l'axe des Y :

$$-(Oy + Oz) = -P (\cos \beta + \mu \sin \beta)$$

Si nous considérons le système comme un propulseur élémentaire actionné par un moteur qui développe un couple moteur F , destiné à équilibrer la résistance à l'avancement — R de tout le système, dans le sens de l'axe XX, nous pouvons poser :

$$-R + P (\sin \beta - \mu \cos \beta) = 0$$

et comme cette résistance à l'avancement R, se produit à la vitesse V, nous pouvons déduire la valeur de la puissance utile, ou le travail seconde utile, en multipliant la résistance par la vitesse.

$$\mathcal{V}_u = RV = PV (\sin \beta - \mu \cos \beta).$$

Parallèlement, la composante suivant OY constituera, à la dis-

La valeur de μ se compose de deux parties : la première, et la plus importante, dépend de l'incidence, car μ est proportionnel à $\tan \alpha$; la seconde partie de la résistance est due aux frottements du fluide sur la surface de l'élément propulseur et à la section de cet élément. Cette deuxième partie de la résistance est très faible par rapport à la première; elle dépend de l'épaisseur plus ou moins grande de l'aile et de l'état de sa surface; elle est donc indépendante de α et elle est constante pour la même aile, à toutes les incidences. Nous avons évalué approximativement les valeurs de ces deux parties de μ pour des valeurs croissantes depuis $\mu = 0,05$ à $\mu = 1$, en adoptant pour μ la forme $\mu = \tan \alpha + 0,018$. Cette valeur que nous avons attribuée à la partie de la résistance due aux frottements et à l'épaisseur de l'élément considéré, est évidemment un peu arbitraire, mais nous n'avons aucune donnée positive pour la déduire. Ce n'est que dans un laboratoire d'essais aérodynamiques qu'il

Le deuxième élément de l'élément considéré est une portion de flotte sur la surface de l'élément propulseur et à la section de cet élément. Cette deuxième partie de la résistance est très faible par rapport à la première; elle dépend de l'épaisseur plus ou moins grande de l'aile et de l'état de sa surface; elle est donc indépendante de α et elle est constante pour la même aile, à toutes les incidences. Nous avons évalué approximativement les valeurs de ces deux parties de ρ pour des valeurs croissantes depuis $\rho = 0,03$ à $\rho = 1$, en adoptant pour α la forme $\rho = \tanh \alpha + 0,018$. Cette valeur que nous avons arrêtée à la partie de la résistance due aux frottements et à l'épaisseur de l'élément considéré, est évidemment un peu arbitraire, mais nous n'avons aucune donnée positive pour la déterminer. Ce n'est que dans un laboratoire d'essais aérodynamiques qu'il serait possible de la déterminer avec précision. Dans tous les cas, l'erreur commise ne doit pas être considérable, et les valeurs des angles d'incidence α inscrites dans la dernière ligne du tableau A ne doivent pas différer sensiblement de la réalité.

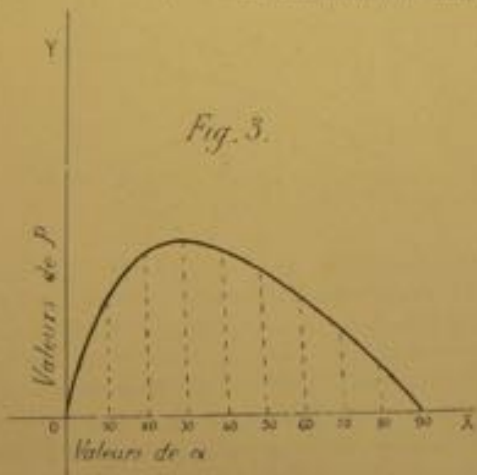


Fig. 3.

A l'inspection du tableau nous voyons que pour obtenir, d'un

propulseur hélicoïdal, un rendement avantageux, il faut que les éléments attaquent l'air sous une incidence la plus faible possible. Nous verrons cependant qu'il y a une limite pour ce raison de laquelle il n'est plus avantageux de descendre.

Pour le démontrer, représentons graphiquement les valeurs croissantes de P et de f , en prenant comme abscisses les valeurs croissantes des incidences depuis $\alpha = 0^\circ$ jusqu'à $\alpha = 90^\circ$.

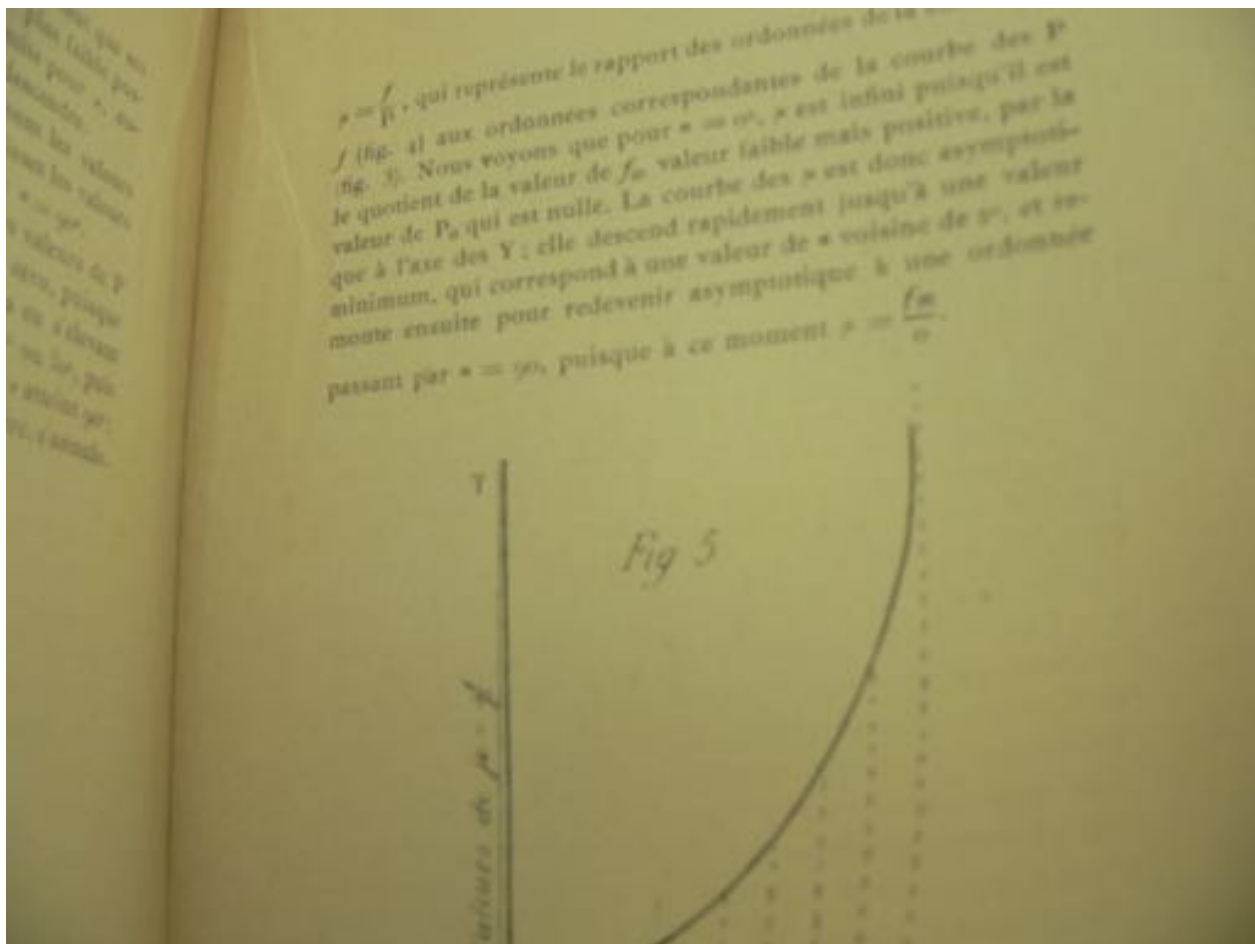
La courbe, dont les ordonnées représentent les valeurs de P (fig. 3), correspondant à celles de α , commence à zéro, puisque pour $\alpha = 0^\circ$ la valeur de P est nulle, puis elle va en s'élevant jusqu'à un maximum, qui correspond environ à 27° ou 30° , puis descend progressivement pour redevenir 0, lorsque α atteint 90° . À ce moment la force P , perpendiculaire à la trajectoire, s'annule.

Y

Fig. 4

$\frac{P}{P_0}$, qui représente
la force P aux moments
 $\alpha = 0^\circ$. Nous voyons
que le P_0 , qui est égal
à l'axe des Y, elle
minimum, qui correspond
à ce moment pour la
force P passe par $\alpha = 90^\circ$, où

$\rho = \frac{f}{P}$, qui représente le rapport des ordonnées de la courbe f (fig. 4) aux ordonnées correspondantes de la courbe des P (fig. 3). Nous voyons que pour $\alpha = 0^\circ$, ρ est infini puisqu'il est le quotient de la valeur de f_0 valeur faible mais positive, par la valeur de P_0 qui est nulle. La courbe des ρ est donc asymptotique à l'axe des Y ; elle descend rapidement jusqu'à une valeur minimum, qui correspond à une valeur de α voisine de 90° , et remonte ensuite pour redevenir asymptotique à une ordonnée passant par $\alpha = 90^\circ$ puisque à ce moment $\rho = \frac{f_0}{0}$.



Les lignes horizontales du tableau correspondaient aux incidences nécessaires pour porter les poids en question, à des vitesses croissantes depuis 5, 10, 15... à 30 mètres à la seconde; ces incidences allaient évidemment en diminuant dans chacune des huit colonnes. Nous avons calculé, de la même manière et dans les mêmes conditions, un deuxième tableau dans lequel étaient rangées les puissances motrices nécessaires pour faire avancer le mètre Carré, chargé successivement des poids croissants de 1 à 8 kilogrammes plus haut, et avec des vitesses croissantes de 5 à 30 mètres. Les deux tableaux étaient absolument similaires, de sorte que chaque valeur d'un tableau correspondait à la valeur similaire de l'autre. En examinant le tableau des puissances motrices, on constatait que, dans chaque colonne, la puissance passait par un minimum, et on trouvait que ce minimum correspondait, dans le premier tableau, pour toutes les vitesses et pour tous les poids portés, toujours à une même incidence très voisine de 2° . En interpolant, on trouvait plus exactement $\alpha = 1^{\circ}50'$. C'est à cet angle que nous avons donné le nom de *incidence optimale*. La valeur numérique de l'incidence optimale ainsi trouvée, dépend évidemment des conditions de vol.

sant, l'a
l'endia
Voyag
ments le
ayun
limité
Pour

Trac
valeurs
minim
corresp
Non
dans s
courbe
pour l
passer

Dans une
valeur croissante
et correspondante
nous voyons
dans sa partie
droite réduire
dans une ?
posset par un
pour l'avon
elle devrait
comptage

des puissances motrices nécessaires pour faire avancer la machine
telle, chargé successivement des poids croissants de 1 à 8 tlf.,
et renouvelant faire sous les incidences décroissantes, déterminées
plus bas, et avec des vitesses croissantes de 5 à 30 mètres.
Les deux tableaux étaient absolument similaires, de sorte que
chaque valeur d'un tableau correspondait à la valeur similaire
de l'autre. En examinant le tableau des puissances motrices,
on constatait que, dans chaque colonne, la puissance passait
par un minimum, et on trouvait que ce minimum correspondait,
dans le premier tableau, pour toutes les vitesses et
pour tous les poids portés, toujours à une même incidence très
voisine de $\alpha = 15^\circ$. En interpolant, on trouvait plus exactement
 $\alpha = 15.5^\circ$. C'est à cet angle que nous avons donné le nom de
incidence optimale. La valeur numérique de l'incidence optimale
ainsi trouvée, dépend évidemment des coefficients employés dans
les différentes formules adoptées, et sa valeur exacte ne pourra
être rigoureusement déterminée que par des essais directs dans
un laboratoire aérodynamique. Pour le moment, dans nos cal-
culs ultérieurs, faute de données plus précises, nous adopterons
cette valeur de $\alpha = 15.5^\circ$, qui semble, du reste, très voisine de ce
qu'elle doit être en réalité. Pour l'eau, nous avons adopté $\alpha = 3^\circ$,
ce qui s'est vérifié assez exactement dans le calcul des hélices ma-
rines. La très grande rigueur, dans l'appréciation de l'incidence
optimale, n'a d'ailleurs que peu d'importance, un léger écart dans
un sens ou dans l'autre n'influera pas d'une façon très sensible
sur le rendement du propulseur, pourvu que l'écart ne soit pas
trop grand.

Par ce qui précède, nous voyons que, dans les propulseurs
hélicoïdaux aériens, il y a avantage à disposer les éléments cons-
tituant la surface du propulseur, de telle façon qu'ils rencon-
trent les filets gazeux sous une incidence très petite et cons-

α	K
0.0	K
0.2	K
0.3	K
0.4	K
0.5	K

Dans
dans la

tante, l'incidence optima $\alpha = 1^{\circ}50'$, et que, dans ces conditions, l'utilisation du propulseur est maximum.

Voyons maintenant comment nous allons disposer ces éléments le long du rayon r , et s'il n'y a pas lieu de prendre, sur ce rayon, une longueur déterminée comprise entre certaines limites.

Pour cela, reprenons l'expression

$$K = \frac{\tan \beta - \mu}{(1 + \mu \tan \beta) \tan \beta}.$$

Traçons une première courbe en prenant pour abscisses les valeurs croissantes de $\tan \beta$ et assignant à μ une valeur déterminée $\mu = 0,05$; les ordonnées de cette courbe seront les valeurs correspondantes de K (fig. 6).

Nous voyons que la courbe est asymptotique à l'axe des Y dans sa partie négative, puisque $K = -\infty$ pour $\tan \beta = 0$; la courbe remonte rapidement pour couper l'axe des X : $K = 0$ pour $\tan \beta = 0,05$. Puis la courbe s'élève rapidement pour

Nous voyons que la courbe est asymptotique à l'axe des Y dans sa partie négative, puisque $K = -\infty$ pour $\tang \beta = 0$; la courbe remonte rapidement pour couper l'axe des X; $K = 0$ pour $\tang \beta = \alpha = 0,05$. Puis la courbe s'élève rapidement pour passer par un maximum $K_{\text{M}} = 0,005$ correspondant, ainsi que nous l'avons vu, à $\tang \beta_{\text{M}} = \alpha + \sqrt{\alpha^2 + 1} = 1,051$, après quoi, elle décroît progressivement, mais lentement, pour devenir asymptotique à l'axe des X pour $\tang \beta = 0$.

TABLEAU B

μ	$\tang \beta =$	0,5	1	2	3	4	5	Moyenne de K
0,05	$K =$	0,878	0,905	0,886	0,853	0,823	0,792	0,855
0,1	$K =$	0,762	0,818	0,792	0,744	0,696	0,653	0,744
0,2	$K =$	0,545	0,667	0,643	0,583	0,528	0,480	0,579
0,3	$K =$		0,538	0,530	0,474	0,421	0,376	0,471
0,4	$K =$		0,429	0,444	0,394	0,346	0,306	0,388
0,5	$K =$		0,333	0,375	0,333	0,292	0,257	0,324

Dans le tableau ci-dessus (tableau B), nous avons inscrit dans la première rangée horizontale les valeurs croissantes de

et puisque $\epsilon = \csc \beta_0$ alors $\beta_0 = 13^{\circ}45'$
 En remplaçant $\tan \beta_0$ et $\tan \beta_m = \infty$ par leur valeurs
 numériques, on trouve :

$$H_m = \frac{V}{N} \cdot \frac{1,032}{0,994} = 1,038 \frac{V}{N}$$

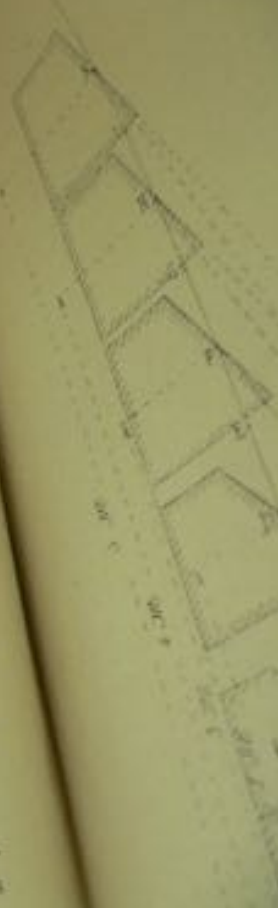
et $\tan \beta_m = 1,075$.

On voit que le pas minimum correspond à une valeur de $\tan \beta_m$ très voisine de l'unité ; il se trouve donc dans la partie de l'aile qui est inclinée sur l'axe d'un angle un peu supérieur à 45° , plus exactement à $43^{\circ}55'$, ce qui correspond à une longueur de rayon à légèrement supérieure au module ; c'est aussi l'endroit du maximum de rendement.

Pour le tracé des hélices marines, on se sert généralement d'une méthode très commode qui consiste à porter sur l'axe des X une longueur égale au pas divisé par πr et à menet, du point ainsi déterminé, une série de droites qui viennent couper le rayon, à différentes hauteurs ; par exemple au quart, à la moitié, aux trois quarts de sa longueur ; les inclinaisons de ces droites déterminent l'inclinaison de l'aile à ces différentes hauteurs, autrement dit, déterminent le pas de l'hélice correspondant à ces différents points de l'aile.

Cela s'explique facilement par la similitude des triangles ainsi obtenus, avec ceux qui auraient pour côtés, d'une part le pas H , et de l'autre, le développement des cercles dont les rayons seraient respectivement $\frac{1}{4}r$, $\frac{1}{2}r$, $\frac{3}{4}r$ et qui seraient par conséquent $\frac{1}{2}\pi r$, πr et $\frac{3}{2}\pi r$.

Pour les hélices aériennes, nous adopterons un tracé analogue, seulement nous choisirons les points sur le rayon r , à des



autrement dit, déterminent le pas de l'hélice correspondant à ces différents points de l'aile.

Cela s'explique facilement par la similitude des triangles ainsi obtenus, avec ceux qui auraient pour côtés, d'une part le pas H , et de l'autre, le développement des cercles dont les rayons seraient respectivement $\frac{1}{4}r$, $\frac{1}{2}r$, $\frac{3}{4}r$ et qui seraient par conséquent $\frac{1}{2}s_1$, s_2 et $\frac{3}{2}s_3$.

Pour les hélices aériennes, nous adopterons un tracé analogue, seulement nous choisirons les points sur le rayon r , à des distances de l'axe qui seraient des multiples du module. Nous avons vu que le commencement de l'aile devait correspondre à une valeur du rayon égale à $0,5$ M, que le maximum de rendement ainsi que le minimum de pas correspondaient à $s = M$, et que l'aile normale avait une longueur de 5 M. Nous subdiviserons donc l'aile (fig. 7) en parties égales correspondant aux valeurs croissantes du module :

$$0,5 \text{ M}, 1 \text{ M}, 2 \text{ M}, \dots, 5 \text{ M}.$$

Fig. 7.

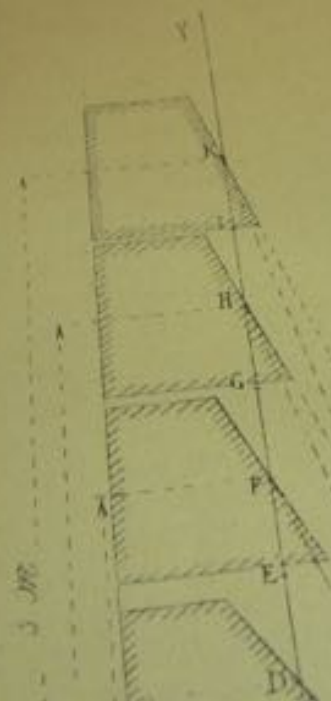
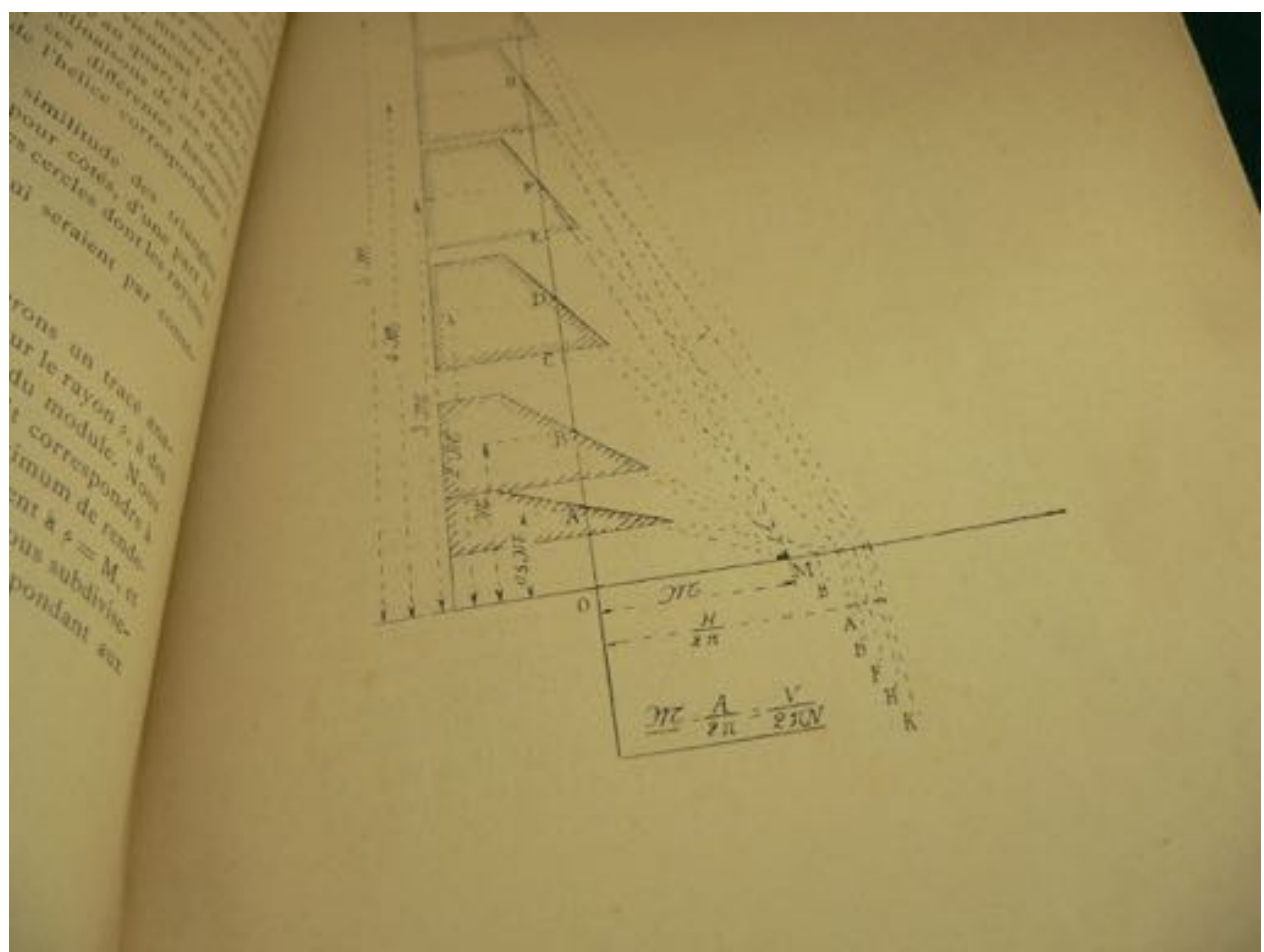


Fig. 7 et lorsque — 103 —
cette valeur correspond à une valeur
minimum correspond à une valeur
maximum correspondante dans la partie
supérieure au module ; c'est
lorsque l'angle qui correspond à une
partie d'un angle qui correspond au module
est porté sur l'axe d'
on se sert généralement
d'une échelle à porter sur l'axe d'
qui viennent couper
qui viennent à la moitié
dans les deux cases de ces deux
maisons de ces deux
différentes hauteurs
éclise correspondant
l'angle des triangles
côtés, d'une partie
des dont les pa-



... au moyen de laquelle nous pourrons faire des évaluations correspondantes pour les différences de hauteur de l'horizon, d'une part, et de l'angle de déclinaison des cercles dont les rayons seraient par conséquent un trace sur le rayon, à savoir du module. Nous correspondra à ce minimum de rendement à $s = M$, et nous subdiviserons suffisamment pour que

c'est-à-dire que les forces F et P croissent dans les mêmes proportions, il est évident alors qu'il y aurait tout avantage à avoir des ailes d'hélices creuses.

Dans ce qui précède, nous avons déterminé, pour les hélices aériennes : 1^o les conditions de leur rendement maximum; 2^o l'importance à donner aux éléments du propulseur; 3^o les dimensions qu'il convient de donner à la longueur des ailes, et 4^o la manière de tracer le pas, ou les pas, des différentes parties de l'aile: il nous reste encore à déterminer les dimensions transversales de ces ailes, autrement dit la largeur de l'aile aux différents rayons.

Pour cela, reportons-nous aux équations initiales qui servent à déterminer la puissance motrice et la puissance utile nécessaire à propulser notre aéroplane à la vitesse voulue.

Nous avons :

$$\begin{aligned} T_a &= PV (\cos \beta + \mu \sin \beta \tan \beta) \\ T_r &= PV (\sin \beta - \mu \cos \beta) \end{aligned}$$

En considérant le travail seconde élémentaire on aura :

$$d\theta_a = V / \cos \beta$$

mais que ces trois desquels aériennes absolument apprécier assez bien qui sont côté le plus pour des formules ton. Lois très expérimentales capitaine cependant $\beta = 0,03$, d'hélice, à une

formule
par, Lassal
nes, expéri
capitalise. Fe
1 = 0,03, ex
d'heure, ana
mètre à la

sera $W = \frac{C}{C}$
Pour déter
appelleront
considérée la
sion de la pu

16

et pour la pu

$\tilde{v}_s =$

$\tilde{v}_s = s.$

l'angle de l'aile aux différents rayons.
Réponsons-nous aux équations initiales qui servent
à déterminer la puissance motrice et la puissance utile nécess-
aire à propulser notre aéroplane à la vitesse souhaitée.

Nous avons :

$$\begin{aligned} \tilde{v}_s &= PV (\cos \beta + s \sin \beta \tan \beta) \\ C_s &= PV (\sin \beta - s \cos \beta) \end{aligned}$$

En considérant le travail secondaire élémentaire on aura :

$$\begin{aligned} d\tilde{v}_s &= V (\cos \beta + s \sin \beta \tan \beta) \cdot dP, \\ dC_s &= V (\sin \beta - s \cos \beta) \cdot dP. \end{aligned}$$

Pour une incidence constante s , la poussée utile élémentaire
 dP , dépendra du carré de la vitesse avec laquelle l'élément en
question rencontre les molécules gazeuses, des dimensions de
l'élément et d'un coefficient empirique que nous appellerons λ ,
on aura donc :

$$dP = \lambda W^2 ds,$$

en appelant W la vitesse de l'élément par rapport à l'air et ds sa
surface. Ici se présente une question difficile, c'est le choix judi-
cieux du coefficient λ . Il est certain que ce ne sera que par des
essais effectués dans un laboratoire aérodynamique qu'il devien-
dra possible et même facile d'en déterminer rigoureusement la
valeur exacte. Voilà la troisième fois que, dans le courant de
cette étude, nous nous buttons à des difficultés que seul un labo-
ratoire aérodynamique est en état de résoudre ; on ne saurait par-
 conséquent trop insister sur la nécessité imminente de la création
d'un laboratoire de ce genre, car ce n'est que grâce à ce labora-

toire que l'on pourra déterminer les valeurs exactes de μ , α et β , ces trois paramètres si importants, sans la connaissance exacte desquels, l'établissement, non seulement de bonnes hélices aériennes, mais encore de bons sustentateurs-aéroplanes, est absolument impossible; jusque-là il dépend des chances d'une appréciation plus ou moins heureuse. Faute de données plus précises, nous allons adopter pour β une valeur qui semble assez bien répondre à la réalité, surtout pour les ailes d'hélices qui sont des surfaces étroites et longues attaquant l'air par leur côté le plus long; cette valeur de β serait, peut-être, un peu forte pour des plans ordinaires, surtout si on s'en rapporte à certaines formules empiriques proposées par le colonel Duchemin, Hutton, Loisel, M. Eiffel, etc., ou un peu faible, si on en croit d'autres expérimentateurs modernes, tels que Langley, Maxime, le capitaine Ferber et plusieurs autres aviateurs encore. Je pense cependant que nous pourrons adopter, sans trop d'erreur, $\beta = 0,03$, exprimé en kilogrammes, pour un mètre carré d'aile d'hélice, attaquant l'air sous l'incidence optima, à une vitesse de 1 mètre à la seconde. Quant à la vitesse réelle de l'élément, elle sera $W = \frac{V}{\cos \beta}$.

Pour déterminer la surface de l'élément du propulseur, nous

élémentaire
élément en
nsions de
ullerons l,

et de sa
ux jugs.
par des
terren-
tient la
nt de
labo-
t par
tion
ora-

metre à la seconde. Quant à la vitesse réelle de l'élément, elle sera $W = \frac{V}{\cos \beta}$.

Pour déterminer la surface de l'élément du propulseur, nous appellerons l la largeur de l'aile et ds , la hauteur de la tranche considérée le long du rayon ρ ; nous aurons ainsi, pour l'expression de la puissance élémentaire :

$$d\tilde{v}_e = \frac{\lambda \cdot V^3 (\sin \beta - \mu \cos \beta) l \cdot ds}{\cos^2 \beta}$$

$$d\tilde{v}_e = \frac{\lambda \cdot V^3 (\cos \beta + \mu \sin \beta) \tan \beta l \cdot ds}{\cos^2 \beta}$$

et pour la puissance totale, en appelant a le nombre d'ailes :

$$\tilde{v}_e = a \cdot \lambda \cdot V^3 \int_{r_0}^{r_1} \frac{\sin \beta - \mu \cos \beta}{\cos^2 \beta} l \cdot ds,$$

$$\tilde{v}_e = a \cdot \lambda \cdot V^3 \int_{r_0}^{r_1} \frac{\cos \beta + \mu \sin \beta}{\cos \beta} \tan \beta l \cdot ds,$$

soit :
ce qui nous dira que pour une aile normale
donne une largeur spécifique constante, cette largeur
sera les $\frac{3}{4}$ du module.

Cette valeur de la largeur spécifique peut se déduire aussi du
rapport que nous avons admis entre la largeur spécifique et la
longueur de l'aile, et qui est de $1/6$; comme la longueur de l'aile
est 4,5 modules, le sixième qui représente la largeur spécifique
sera :

$$L = \frac{4,5}{6} M = 0,75 M.$$

La forme d'aile à largeur spécifique constante L , sera une des meilleures à employer pour les hélices aériennes; ce sera un rectangle dont la hauteur est 4,5 fois le module, et sa largeur, égale aux $\frac{3}{4}$ du module; l'aile commencera à une distance d'un demi-module de l'axe et son rayon sera de 5 modules.

De cette manière l'aile normale à largeur spécifique constante est complètement déterminée dans tous ses éléments qui, tous, sont exprimés en chiffres abstraits, car ils ont tous le module pour échelle commune.

Pour avoir l'expression générale de la largeur spécifique exprimée en module, il faudra diviser l'expression générale de L par celle M et remplacer l'expression $\frac{FN^2}{aV^2}$ par sa valeur numérique $\frac{1}{2500}$. on aura alors :

$$\frac{L}{M} = \frac{622,7}{\frac{1}{4} \left(r_1^4 - r_0^4 - \frac{1}{r_1^4 - r_0^4} \right) + \frac{2}{3} \left(r_1^3 - r_0^3 + \frac{1}{r_1^3 - r_0^3} \right) + \\ + 2 \left(r_1 - r_0 + \frac{1}{r_1 - r_0} \right) - 2 \frac{r_1}{r_0}}.$$

Si, d'après cette formule, on calcule les valeurs de $\frac{L}{M}$ en prenant $r_0 = 0,5$ et r_1 successivement égal à 5, 6, 7, 8 modules, on trouve les chiffres :

pour	$r_1 = 5$ M	6 M	7 M	8 M
	$L = 0,75$ M	$0,427$ M	$0,275$ M	$0,175$ M.

Nous voyons que la largeur spécifique, pour $r_1 = 5$, est 0,75 modules, c'est-à-dire $1/6$ de la longueur de l'aile; pour $r_1 = 6$, cette largeur spécifique n'est plus que de $\frac{1}{13}$; pour $r_1 = 7$ elle est $\frac{1}{25}$ et pour $r_1 = 8$ de $\frac{1}{44}$ seulement de la longueur de l'aile.

Si donc nous voulions, pour toutes ces ailes, avoir le rapport de $1/6$, admis pour l'aile normale, il faudrait augmenter la largeur de la seconde aile dans le rapport de 2,1, de la troisième dans le rapport de 4,1, et de la dernière dans le rapport de 7,3. Par conséquent une hélice ayant un rayon $r_1 = 8$, et dont la largeur d'aile serait $1/6$ de la longueur, comme dans les ailes normales, aurait une surface propulsive active 7,3 fois trop grande. Aussi lorsque l'équation de compatibilité montrera que le nombre d'ailes nécessaire a , est supérieur au nombre que l'on désire adopter a' , et qu'il faudra multiplier par le rapport $\frac{a}{a'}$, les lar-

44

seulement de la longueur de l'aile.

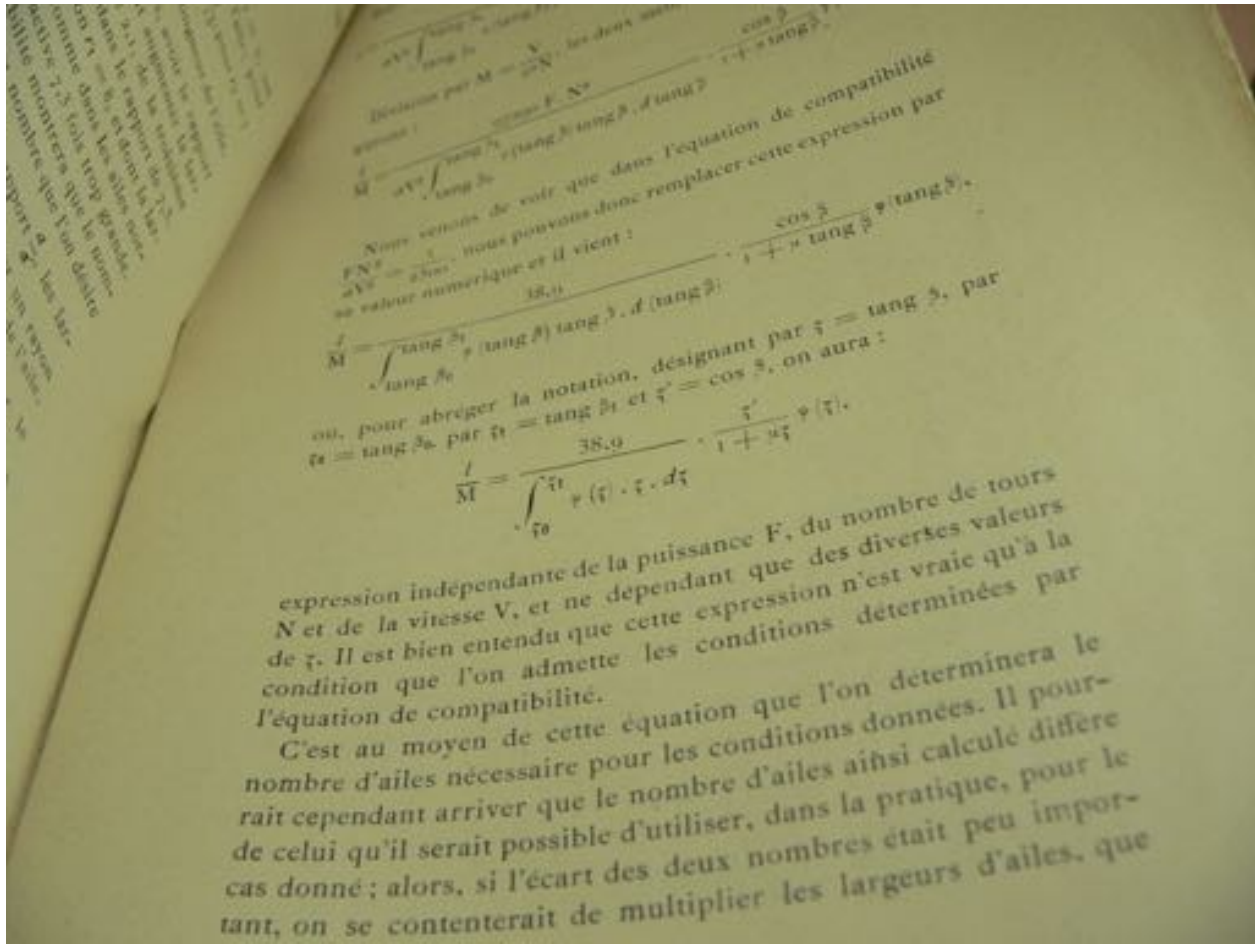
Si donc nous voulions, pour toutes ces ailes, avoir le rapport de 1/6, admis pour l'aile normale, il faudrait augmenter la largeur de la seconde aile dans le rapport de 2/3, de la troisième dans le rapport de 4/3, et de la dernière dans le rapport de 7/3. Par conséquent une hélice ayant un rayon $r_1 = 8$, et dont la largeur d'aile serait 1/6 de la longueur, comme dans les ailes normales, aurait une surface propulsive active 7/3 fois trop grande. Aussi lorsque l'équation de compatibilité montrera que le nombre d'ailes nécessaire a' est supérieur au nombre que l'on désire adopter a , et qu'il faudra multiplier par le rapport $\frac{a}{a'}$, les largeurs d'ailes employées, on pourra toujours trouver un rayon extérieur r_1 supérieur à 5, tel que la largeur spécifique de l'aile, divisée par la longueur de l'aile $\frac{L}{r_1 - r_b}$, et multipliée par le rapport $\frac{a}{a'}$, soit précisément égal à 1/6, rapport admis pour les ailes normales.

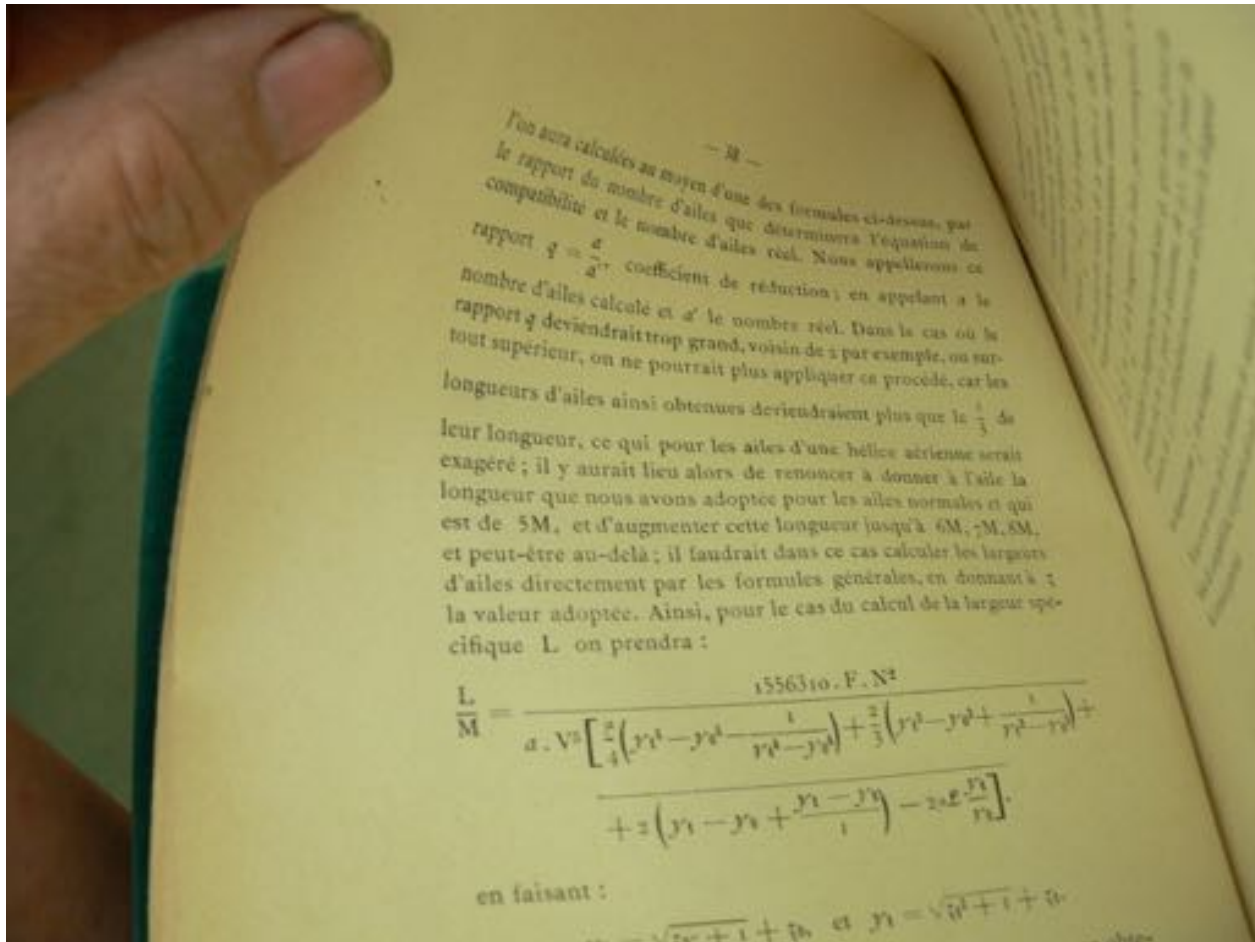
Ainsi si le rapport $\frac{a}{a'}$ était par exemple égal à 7/3, il faudrait donner à r_1 une valeur de 8M, et une largeur d'aile égale à $\frac{1}{6}$ de sa longueur; le nombre a' d'ailes, ainsi modifiées, équivaudrait à a ailes normales, c'est-à-dire absorberait la puissance motrice F , en tournant à N tours, et avançant à la vitesse V.

Nous venons de voir que dans l'équation de compatibilité
 $\frac{FN^2}{\sigma V^3} = \frac{1}{2500}$, nous pouvons donc remplacer cette expression
 sa valeur numérique et il vient :

38,9

$$\frac{l}{M} = \frac{\cos \beta}{(\tang \beta_1 - \tang \beta) \tang \beta \cdot d (\tang \beta)} \cdot \frac{\cos \beta}{1 + \alpha \tang \beta^2 (\tang \beta)}.$$





$$\frac{M}{a \cdot V^2} = \frac{\frac{15563 \alpha \cdot F \cdot N_1}{4 \left(J_{x^2} - J_{y^2} - \frac{1}{r^2 \cdot r_{\alpha}} \right) + \frac{2}{3} \left(J_{x^2} - J_{y^2} + \frac{1}{r^2 \cdot r_{\alpha}} \right) + \frac{2}{3} \left(J_x - J_y + J_x - J_y \right) - 2 \alpha E \cdot \frac{r_1}{r_{\alpha}}}}{en \ faisant :}$$

$$J_{x^2} = \sqrt{w^2 + z^2} + w, \quad et \quad J_{y^2} = \sqrt{w^2 + z^2} + w.$$

On augmentera la valeur de w , jusqu'à ce que la largeur obtenue L , soit environ $\frac{1}{6}$ ou $\frac{1}{3}$ de la longueur de l'aile qui est $z_0 - z_1$; en admettant toujours pour α la valeur $\alpha = 0,5$.

Si l'on voulait donner à l'aile, non pas la forme d'égale largeur spécifique, mais une forme différente, on se servirait de la formule générale :

$$\frac{1}{M} = \frac{97190 F \cdot N_1}{a \cdot V^2 \int_{z_0}^{z_1} M(x, z) dz} \cdot \frac{1}{1 + \frac{1}{r^2} \frac{dz}{dx} \frac{dx}{dz}}$$

en choisissant, pour $\pi(t)$, une fonction qui donne à l'aile la forme voulue.

On pourrait aussi, comme nous l'avons montré plus haut, adapter pour π_0 une valeur telle que la largeur spécifique correspondante, multipliée par le coefficient de réduction q , soit

environ $\frac{1}{6}$ ou $\frac{1}{5}$ de la longueur de l'aile. Ainsi, nous avons

vu que pour les valeurs de π_0 égales à 6M, 7M et 8M, les largeurs spécifiques correspondantes étaient respectivement de

$\frac{1}{13}, \frac{1}{25}$ et $\frac{1}{44}$ de la longueur de l'aile; par conséquent, si on

multipliait ces largeurs par un coefficient q , qui serait, pour la première aile, de 2,1, pour la deuxième, de 4,1, et, pour la dernière, de 7,3, on obtiendrait encore une aile dont la largeur ne dépasserait pas $\frac{1}{6}$ de sa longueur.

Nous avons montré, qu'à la condition de satisfaire à la condition de compatibilité, on pouvait établir la formule générale :

largur viser
l'aile qui est
égale la
partie de la

on peut évidemment convenablement la fonction $\varphi(\tilde{\tau})$ pour
que nous passent en revue un certain nombre de ces fonc-
tions, soit directement, soit en combinaison avec
les plus simples est $\varphi(\tilde{\tau}) = \tilde{\tau} + p$, où p est un para-
mètre que l'on peut faire varier à volonté.
En remplaçant $\varphi(\tilde{\tau})$ par la fonction adoptée, on obtient après

233

$$\frac{\tilde{\tau}^2 + 3p(\tilde{\tau}^2 - \tilde{\tau}^2)}{1 - \tilde{\tau}^2} \cdot \frac{\tilde{\tau}'}{1 + \mu\tilde{\tau}} \cdot (\tilde{\tau} + p),$$

898

DES

HÉLICES AÉRIENNES

Théorie générale des Propulseurs hélicoïdaux

et

Méthode de Calcul de ces Propulseurs pour l'air

PAR

S. DRZEWIECKI

2 fr. 50

PARIS (9^e)
LIBRAIRIE DES SCIENCES AÉRONAUTIQUES
F.-LOUIS VIVIEN, LIBRAIRE-ÉDITEUR
20, rue Saulnier

—
1909

DU MÊME AUTEUR :
CESSITE URGENTE DE CRÉER
EN
T'Essais Aérodynamiques
à aviateurs les éléments nécessaires
à la construction des aérolatées
et d'organiser ce laboratoire
S. DRZEWIECKI
Pris : 0.73

PRÉPARATION
aux et des Aéroplanes

DES HÉLICES AÉRIENNES

Théorie générale des Propulseurs hélicoïdaux

et

Méthode de Calcul de ces Propulseurs pour l'air

S. DRZEWIECKI

2 fr. 50

PARIS (9^e)

LIBRAIRIE DES SCIENCES AÉRONAUTIQUES
F.-Louis VIVIEN, Libraire-Éditeur
28, rue Montebello

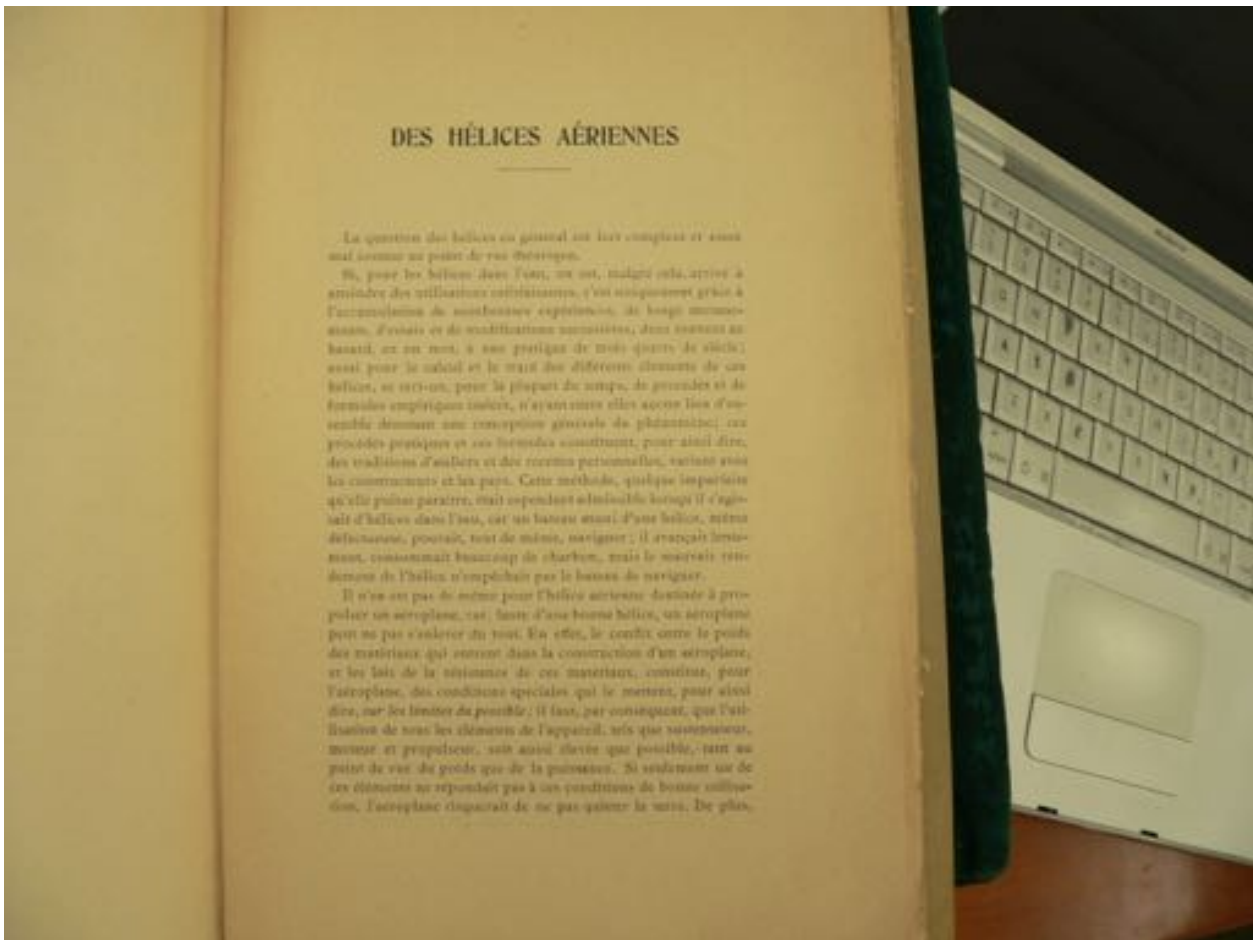
1908

DES HÉLICES AÉRIENNES

La question des hélices en général est très complexe et nous nous contentons au point de vue théorique.

On, pour les hélices dans l'ant, se soit malgré cela arrivé à arrondir des utilisations extrêmement, c'est uniquement grâce à l'accumulation de connaissances expérimentales, de longs measurements, d'essais et de modifications successives, dont certains au hasard, et qui sont à une pratique de moins quatre de siècle) assez pour le calcul et le travail des différents éléments de ces hélices, et enfin, pour la partie du temps, de procédés et de formules empiriques issues, n'ayant pas elles toutes lieu ensemble donnant une conception générale du phénomène; ces procédés pratiques et ces formules constituent, pour ainsi dire, des traditions d'aubiers et des recettes personnelles, variées sous les communautés et les pays. Cette méthode, quoique impartiale qu'elle puisse paraître, n'est cependant admissible lorsque il s'agit d'hélices dans l'eau, car un bateau mouillé d'une hélice, même défaillante, possède, tout de même, accouplement; il échappe à l'immersion, consommant beaucoup de charbon, mais le marin, tout de même de l'hélice n'empêche pas le bateau de naviguer.

Il n'en est pas de même pour l'hélice aérienne destinée à propulser un aéroplane, car toute d'une bonne hélice, un aéroplane peut ou pas s'envoler du tout. En effet, le conflit entre le poids des matériaux qui entrent dans la construction d'un aéroplane, et les lois de la mécanique de ces matériaux, consistant, pour l'aéroplane, des conditions spéciales qui le mettent, pour ainsi dire, sur les limites du possible; il faut, par conséquent, que l'utilisateur de tous les éléments de l'appareil, tels que sustentateur, moteur et propulseur, soit aussi élevé que possible, tant au point de vue du poids que de la puissance. Si seulement sur de ces éléments ne répondait pas à ces conditions de bonne construction, l'aéroplane disparaîtrait de ce pas devant la suite. De plus,



Constituante
propinquable
de la vérité
à un temps
et même temps
de travail
postérieur V.

Fig. I

De fait de la théorie
ancienne, dans le sens de
précédent par l'ANALYSE
de section XX. Il apparaît
que l'analyse du résultat de
la théorie V dans le sens de
posterior O.

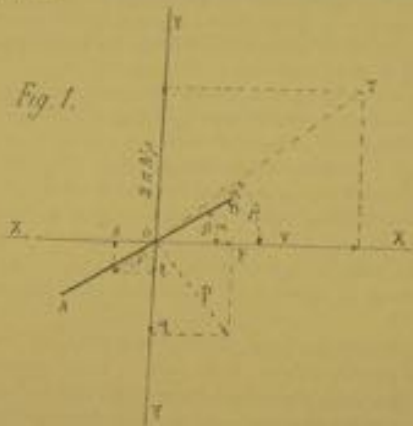
— 4 —
pour les prépositions toutes sont à croire pas, comme pour les
séries dans l'ordre; l'accumulation d'expériences, de données
empiriques, de constatations, etc., fournit par leur longue prédilection
que c'est pourquoi, que le calcul des prépositions atteste, il
nous sera indispensable de nous former une conception matérielle
qui excelle de fonctionnement naturel de l'helice; de son tour, il
nous faudra concevoir la théorie générale de l'helice et avoir une
méthode rigoureuse pour extraire tous ses éléments sans troupeau.

En effet j'étais présenté à l'Association technique maritime,
une fois dans laquelle je proposais une méthode de calcul per-
mettant de déterminer tous les éléments des prépositions héli-
ciques, encouragé par le développement accéléré que nous avions en-
tendu. Ensuite, j'entrevois la vérification de ma théorie en
comparaison avec l'ensemble des prépositions de ma théorie en
avant distinguées, je cherchais la vérification de ma théorie en
calculant, d'après elle, un grand nombre d'effets valables et
essayer, j'ai eu la satisfaction de constater que les prévisions de
mes calculs étaient toujours d'accord avec la réalité et que les
formes hélicoïdales étaient précisément celles qui se rapprochaient le
plus du type qui indiquait le calcul. De plus, j'ai trouvé que cer-
taines particularités observées dans le fonctionnement des heli-
coïdales, qui n'étaient pas par moi expliquées par les méthodes
ordinaires, se démontrent, d'une façon simple et rationnelle, lors
qu'on les considère du point de vue de ma théorie; entre autres,
ma théorie donne aussi l'explication logique de certaines formules
qui étaient employées avec succès dans la pratique. Depuis, il a
été construit un nombre très considérable d'helicoïdales calculées
par la méthode que j'ai proposée, et les résultats ont confirmé
ce qui correspond avec les prévisions du calcul. Toutes ces choses
ne donnent aujourd'hui le droit de considérer les principes de
cette théorie comme parfaitement justes. Nous allons par consé-
quent essayer de les appliquer aussi au calcul des helicoïdales.

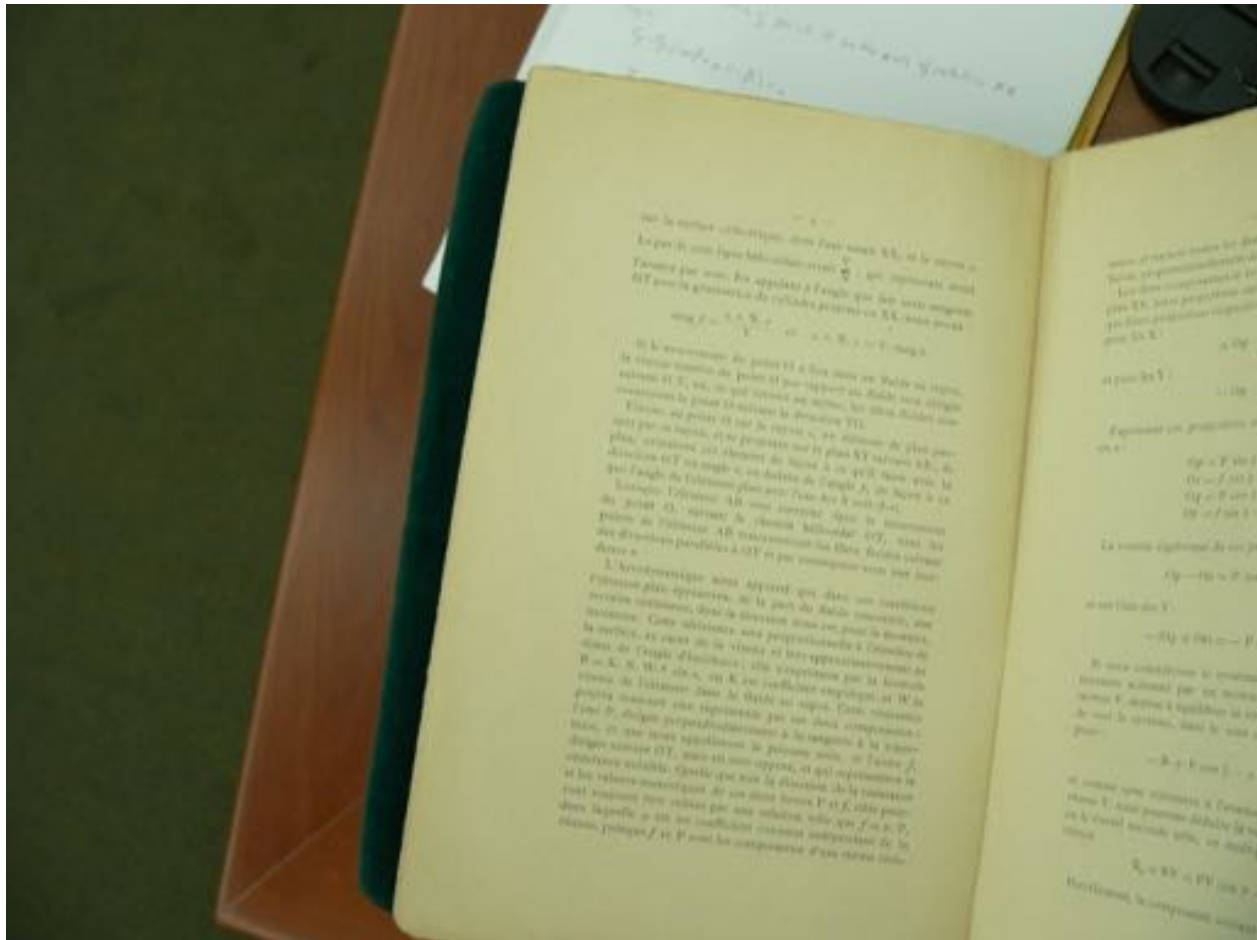
Le calcul permettant de déterminer les vitesses et directions des points sur une ligne droite dans un système de coordonnées cartésiennes, lorsque l'axe de rotation est parallèle à l'axe de translation.

en même temps que l'axe XX lui-même soit animé d'un mouvement de translation, dans le sens de sa longueur, avec une vitesse uniforme V .

Fig. 1.



Du fait de la rotation autour de l'axe XX, le point O sera animé, dans le sens OY, d'une vitesse périphérique qui s'exprimera par $z \cdot N \cdot r$, r étant la distance du point O à l'axe de rotation XX. D'autre part, du fait de l'avancement longitudinal de l'axe de rotation lui-même, le point O possédera aussi une vitesse V dans le sens parallèle à l'axe XX. La vitesse réelle du point O sera la résultante des deux vitesses $z \cdot N \cdot r$ et V ; elle sera donc représentée, en grandeur et en direction, par OT, diagonale du rectangle, dont les côtés sont respectivement $z \cdot N \cdot r$ et V . Cette diagonale représentera aussi la tangente à la trajectoire réelle suivie par le point O; laquelle trajectoire sera une ligne hélicoïdale, résultant de l'enroulement de la diagonale OT.



sur l'axe XX, et le rayon
de V qui représente une
ligne qui fait cette action
d'ordre sur XX, nous avons
 $N, r = V, \text{ tang } \beta$.

Dans un théâtre au repos
et aux fluides sans énergie
de, les deux fluides tra-

versent de plus pas
sur XY, versant AB ; de
ce qu'il faut avec le
rayon R, de façon à ce
(X soit 0).

Donc le moment
total OT, pour les
deux fluides entraînés
est très peu impor-

tant ces conditions
de rencontre, une
pour le moment,
elle à l'origine de
maximisation et
à par la formule
énergétique, et W le

Cette résistance
de composante
génée à la perpendiculaire, et l'axe F,
il représente la
de la résistance
et f, elles pour-
tient P.

trouvent, et partant toutes les deux en même temps, et de la sorte
se sont proportionnellement au carré de la vitesse.

Les deux composantes se trouvent dans un plan parallèle au
plan XY, leurs projections sur l'axe des Z seront nulles, tandis
que leurs projections respectives sur les axes des X et Y seront :

$$+ Oy - x = 0$$

et pour les Y :

$$- Oy - x = 0$$

Exprimons ces proportions en fonction de P, de x et de y,
on a :

$$Oy = P \sin \beta,$$

$$Ox = f \cos \beta = x P \cos \beta,$$

$$Oy = P \cos \beta,$$

$$Ox = f \sin \beta = x P \sin \beta.$$

La somme algébrique de ces projections sur l'axe des X sera :

$$Oy - Ox = P (\sin \beta - x \cos \beta)$$

et sur l'axe des Y :

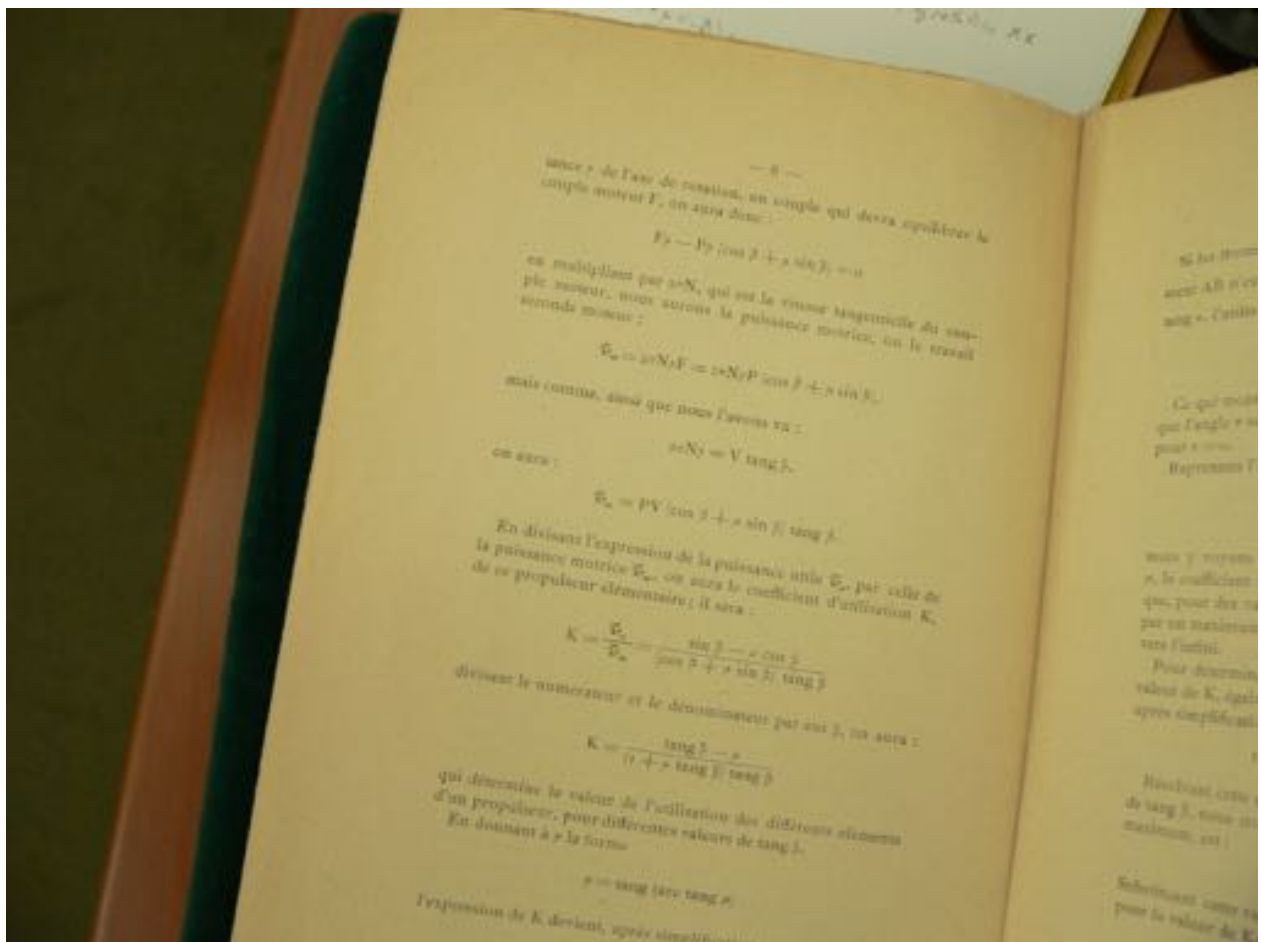
$$- Oy + Ox = - P (\cos \beta + x \sin \beta)$$

Si nous considérons le système comme un propulseur dé-
veloppé actionné par un moteur qui développe un couple
moteur F, destiné à équilibrer la résistance à l'avancement — R
de tout le système, dans le sens de l'axe XX, nous pouvons
poser :

$$- R + P (\sin \beta - x \cos \beta) = 0$$

Et comme cette résistance à l'avancement R, se produit à la
vitesse V, nous pouvons déduire la valeur de la puissance nulle,
ou le travail nécessaire pour ce multipliant la résistance par la
vitesse.

$$V_0 = RV = PV \sin \beta$$



Étude qualitative de
l'effacement K

— 7 —

Si les dimensions et les unités dues à l'épaisseur de l'alti-
mat AB n'existent pas et que le rapport $r = \frac{f}{\mu}$ se traduise par
 $\tan \alpha$, l'effacement K sera exprimé par :

$$K = \frac{\tan(\beta - \alpha)}{\tan \beta}$$

Ce qui montre que cette condition sera d'autant plus grande
que l'angle α sera plus petit, et que K deviendra très à l'infini
pour $\alpha \rightarrow 0$.

Portons l'expression générale de K :

$$K = \frac{\tan \beta - r}{1 + r \tan \beta \cdot \tan \alpha}$$

notre r suppose que, pour les valeurs de $\tan \beta$ inférieures à
 π , le coefficient K est négatif; qu'il est nul pour $\tan \beta = \infty$, et
que, pour des valeurs croissantes de $\tan \beta$, il augmente, passe
par un maximum et décroît ensuite jusqu'à ce que $\tan \beta$ tend
vers l'infini.

Pour déterminer le valeur de $\tan \beta$, qui rend maximum la
valeur de K, égalons à zéro la dérivée première de l'expression ;
après simplification on trouve :

$$\tan \beta - r \tan \beta - 1 = 0,$$

Résolvons cette équation et ne prenons que la valeur positive
de $\tan \beta$, nous trouvons que la valeur de $\tan \beta_0$, qui rend K
maximum, est :

$$\tan \beta_0 = \sqrt{r^2 + 1} - r$$

Substituons cette valeur dans l'expression de K, nous trouvons
pour la valeur de K₀ maximum :

$$K_0 = \frac{1}{(r + \sqrt{r^2 + 1})^2}$$

Le dénominateur en précisément le carré de $\tan \beta_0$, donc :

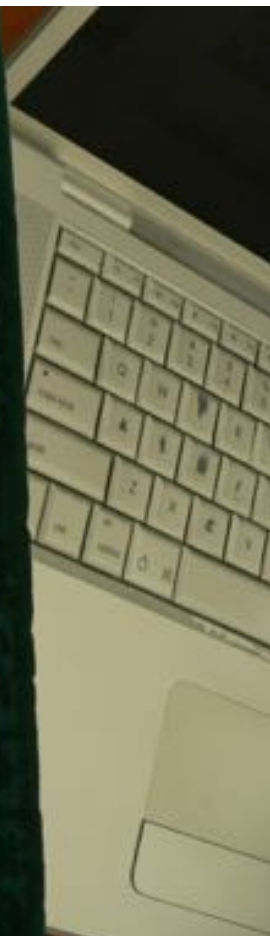
$$K_0 = \frac{1}{\tan^2 \beta_0}$$

Comme le coefficient K se rapporte de l'unité, la valeur de

U ville de
Minsk K

date :

anné :



$$f(x) = \frac{1}{2}x^2 - \frac{1}{2}x + \frac{1}{2}$$

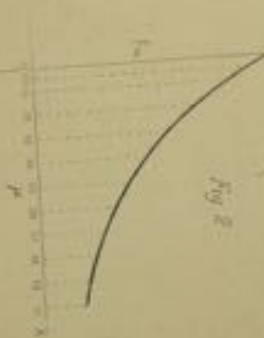
$$\int_0^t f_s ds = \int_0^t g_s ds$$

$$Z_t = \eta_t e^{-\lambda t}$$

— 8 —

Sur la forme des courbes de ρ et ρ' correspondant aux deux types de solides, nous pouvons faire quelques observations. La première concerne à la partie de l'axe asymptotique des propriétés correspondantes. On peut voir sur les courbes ρ et ρ' que dans l'un de ces cas, pour l'extrémité de l'axe asymptotique, il existe une valeur qui est la valeur de l'axe asymptotique, mais dans le autre, qui est la partie de l'axe asymptotique, il existe une valeur

Fig. 2



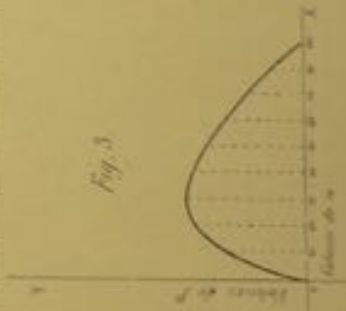
Précision de cette loi des valeurs de ρ , en faisant varier λ . Nous trouvons que lorsque λ croît, alors ρ diminue et ρ' augmente. Cela démontre que lorsque λ croît, alors ρ diminue et ρ' augmente. Nous voyons que les deux courbes ρ et ρ' sont continues et ont des tangentes communes, mais elles ne sont pas tangentielles. Nous voyons que les deux courbes ρ et ρ' sont continues et ont des tangentes communes, mais elles ne sont pas tangentielles.

Table A

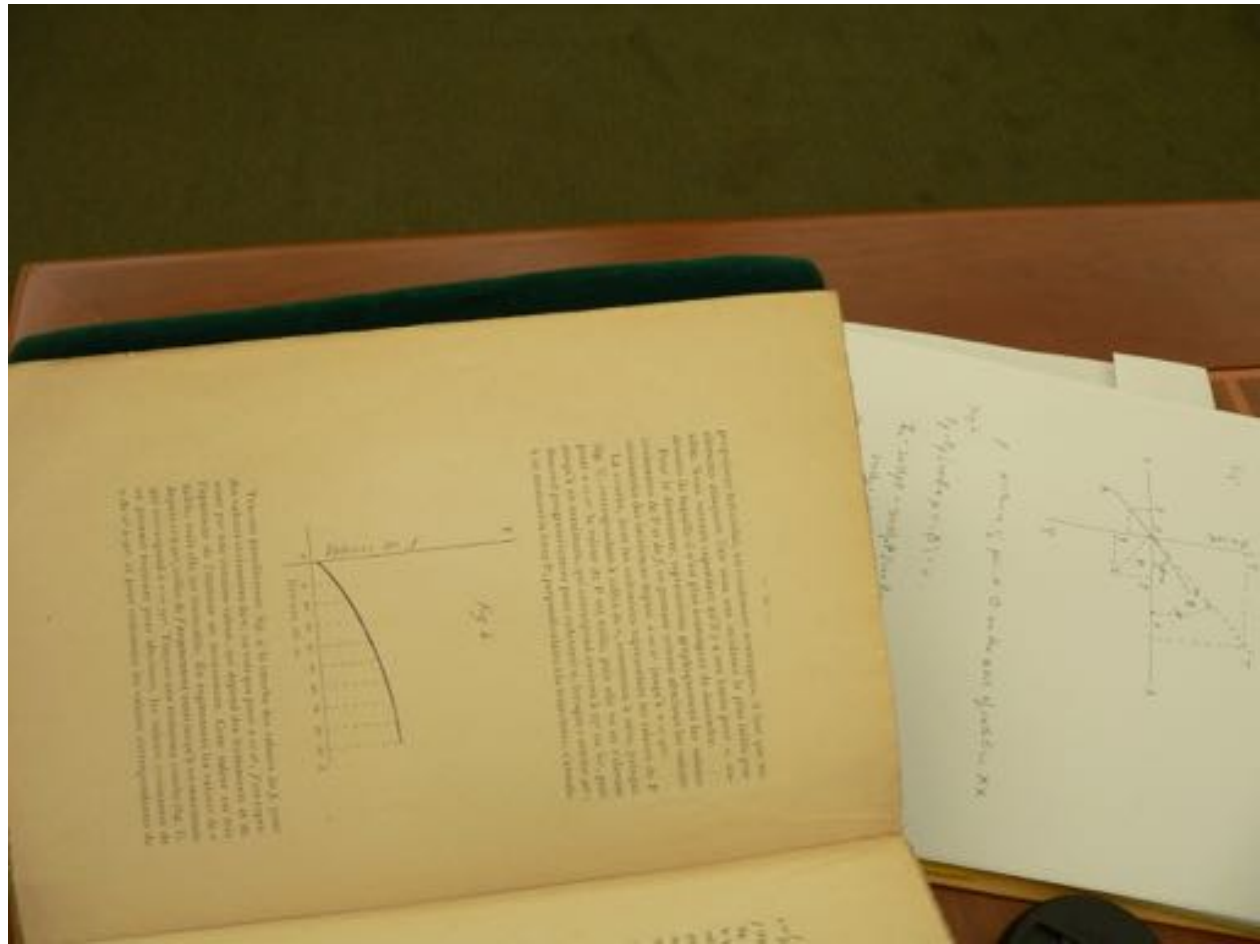
λ	1.0	1.1	1.2	1.3	1.4	1.5	1.6	1.7	1.8	1.9	2.0
ρ	1.00	0.99	0.98	0.97	0.96	0.95	0.94	0.93	0.92	0.91	0.90
ρ'	0.00	0.01	0.02	0.03	0.04	0.05	0.06	0.07	0.08	0.09	0.10
$\rho - \rho'$	1.00	0.98	0.96	0.94	0.92	0.90	0.88	0.86	0.84	0.82	0.80

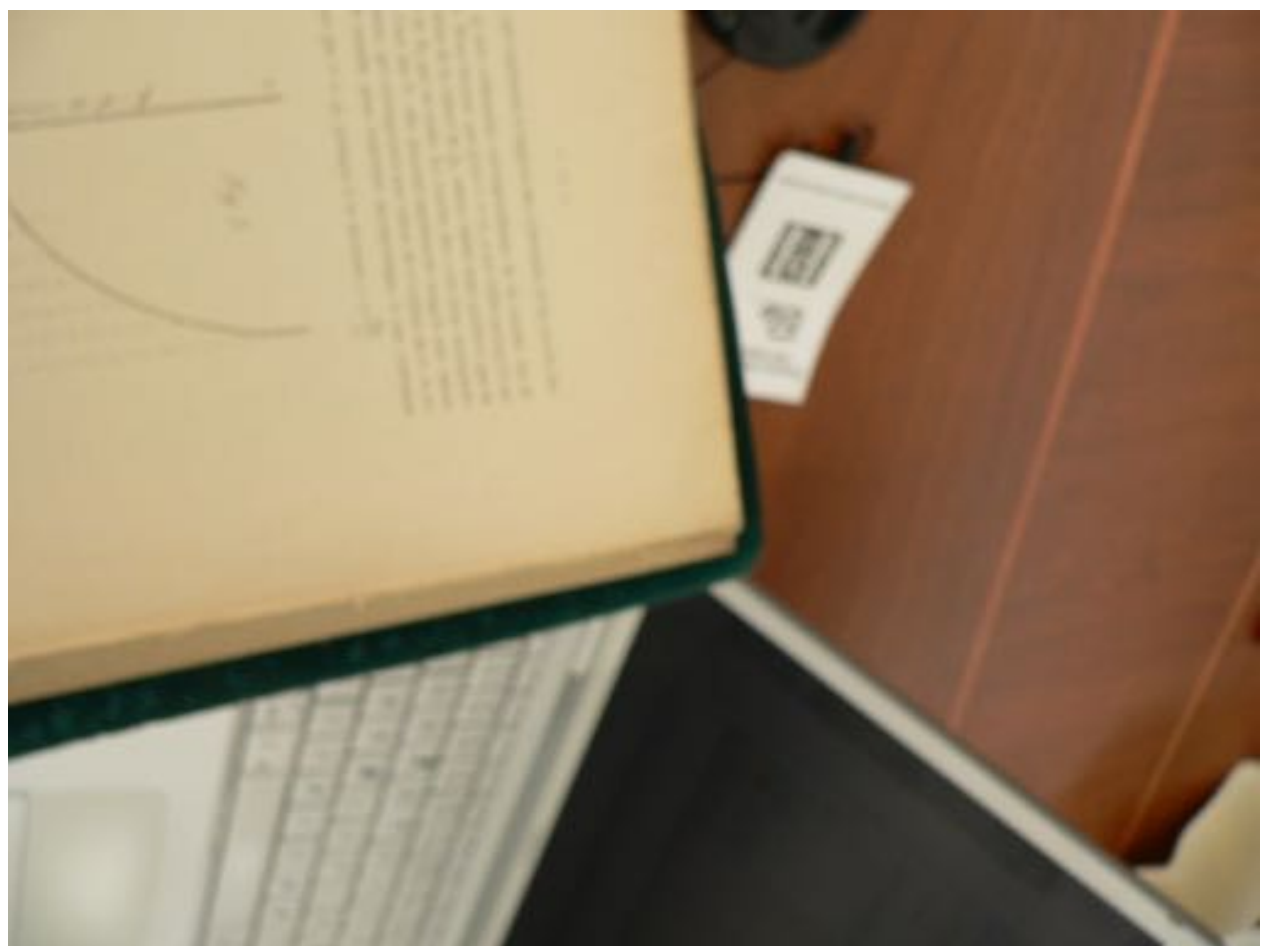
La valeur de κ se compose de deux parties : la première, la plus importante, dépend de l'incidence, car c'est proportionnel à $\cos \gamma$, la seconde partie de la résistance varie avec les instabilités du fluide sur la surface de l'écoulement proportionnel à la vitesse initiale de ces instabilités. Celle dernière partie de la résistance est très faible par rapport à la première, elle dépend de l'épaisseur plus ou moins grande de l'aileron de l'avant de son plan d'attaque donc indépendante de cette aile et constante pour la même aile, à condition des instabilités. Nous avons évidemment exprimé nos résultats sous forme de courbes de résistance pour les points de vol où nous devons voler à $\alpha = 15^\circ$, en adoptant pour ρ la formule $\rho = 1.05 \times 10^{-3}$ kg \cdot m $^{-3}$. C'est valoir que nous avons arrêté à la partie de l'écoulement due aux instabilités et à l'épaisseur de l'aileron considéré, et cependant un peu arbitraire, mais nous avons toutes deux deux points pour la défense. Ce que nous avons dans un laboratoire d'essais hydrodynamiques qu'il soit possible de la diminuer assez rapidement. Dans tous les cas, l'écoulement ne doit pas être considérable, et les valeurs des angles d'incidence à trouiller dans la dernière ligne de tableaux A ne doivent pas différer sensiblement de la réalité.

Fig. 3

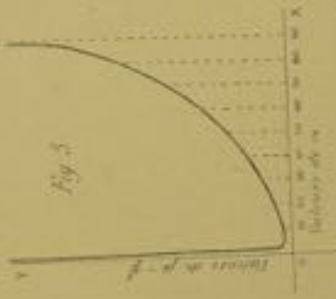


A l'intersection des valeurs de resistance qui sont obtenues d'un





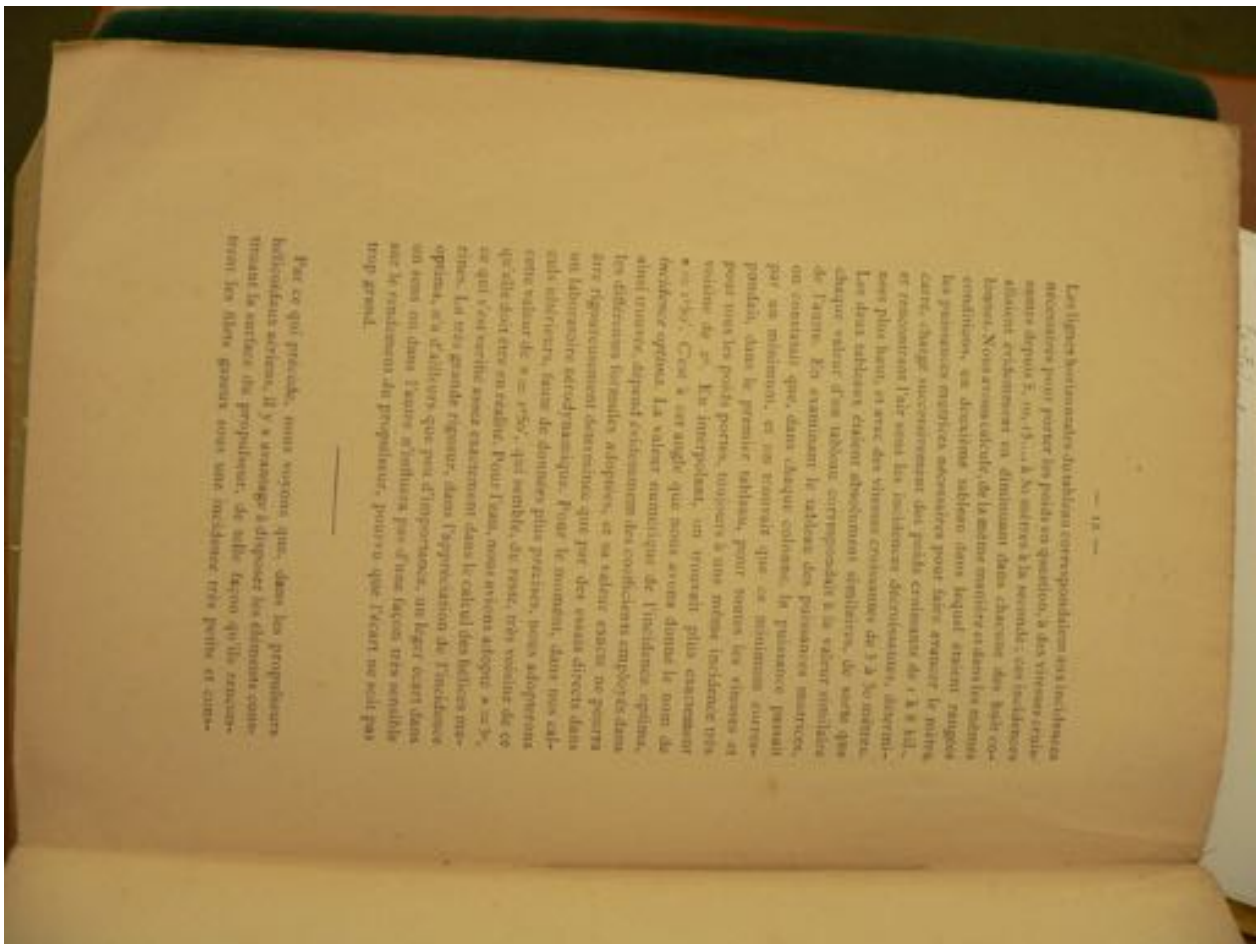
$\rho = \frac{f}{P}$, qui représente le rapport des variations de la tension de P à l'air qu'il existe entre les variations de la tension de la source des P et f . Nous savons que pour $\rho > 1$, pour toute variation positive, par la propriété de la nature de f , cette valeur reste positive, par la propriété de P qui est nulle. La courbe des σ sera donc strictement croissante à cause des P qui devront également être à une valeur positive, et minimalement, qui correspond à une valeur des P et f minimale pour évidemment assurer une tension de P non nulle et positive pour σ ou ρ , puisque à ce moment $\rho = \frac{f}{P}$.



Cette relation initiale présente toutes deux caractéristiques par excellence, que nous avons déjà rencontrées dans la théorie des oscillations simples : une loi linéaire dans le voisinage de l'origine, mais avec un coefficient de proportionnalité non nul, et une loi non linéaire dans le voisinage d'un certain point, où la tension de la source devient nulle.

Les divers horizontaux du tableau correspondent à des incisives nécessaires pour parer les points en question, à des vagues évidemment depuis 2, ou plus. Ainsi vers la seconde, ces incisives disparaissent rapidement en diminuant dans chacune des huit colonnes. Nous avons choisi de la même manière celles les mêmes conditions, au deuxième tableau, dans lesquels étaient rangées les prévisions multiples nécessaires pour faire éviter le mieux certains dangers, successivement dans petits intervalles de 1 à 3 ill. et rencontrant l'air avec les incisives déterminantes, alternativement plus haut, et avec des vagues évidentes de 3 à 5 mètres. Les deux tableaux étaient absolument similaires, de sorte que chaque vague d'un tableau correspondait à la vague similaire de l'autre. En examinant le tableau des prévisions marines, on constatait que, dans chaque colonne, la puissance pouvait varier au minimum, et au maximum, que ce minimum correspondait dans le premier tableau, pour toutes les vagues et pour tous les ports portés, toujours à une même incidence vis-à-vis de ce qui interpellait, un minimum plus extrême ou un maximum. C'est à ce rang que nous avons donné le nom de *fréquence optique*. La valeur numérique de l'incidence optimale n'importe, dépend évidemment des conditions employées dans les différentes formules adoptées, et ne saurait être une de gours ou d'hommes de science, qui font des essais directs dans les laboratoires, faisant des diminutions plus précises, nous adoptons une valeur de 15°, qui semble, du reste, très voisine de celle qui voit servir assez exactement dans le calcul des hélices marines. La très grande rigueur, dans l'application de l'incidence optimale, n'a d'autant que peu d'importance, un léger excès dans un sens ou dans l'autre n'influe pas à une façon très sensible sur le rendement du propulseur, pourvu que l'excès ne soit pas trop grand.

Pour ce qui précède, nous savons que, dans les prévisions horizontales actuelles, il y a toujours à disposer les éléments constitutifs de surface du propulseur, de sorte qu'ils transmettent les forces générées sous une incidence très petite et dans



same. D'ailleurs optimalement, et que, dans ces conditions,

l'utilisatrice préférera en minimiser.

Voyons maintenant comment nous allons disposer ces éléments le long du rayon r , si cela n'a pas lieu de prendre, suivant une longueur déterminée, au-delà d'une certaine valeur.

Ensuite,

Pour cela, reprenons l'expression

$$K = \frac{1}{1 + e^{-\text{tang } f(x)}}$$

Tracons une première courbe en prenant pour abscisse les valeurs croissantes de tang f et en assignant à $e^{-\text{tang } f}$ une valeur $\varepsilon = 0.05$; les ordonnées de cette courbe seront les valeurs correspondantes de K (fig. 6).

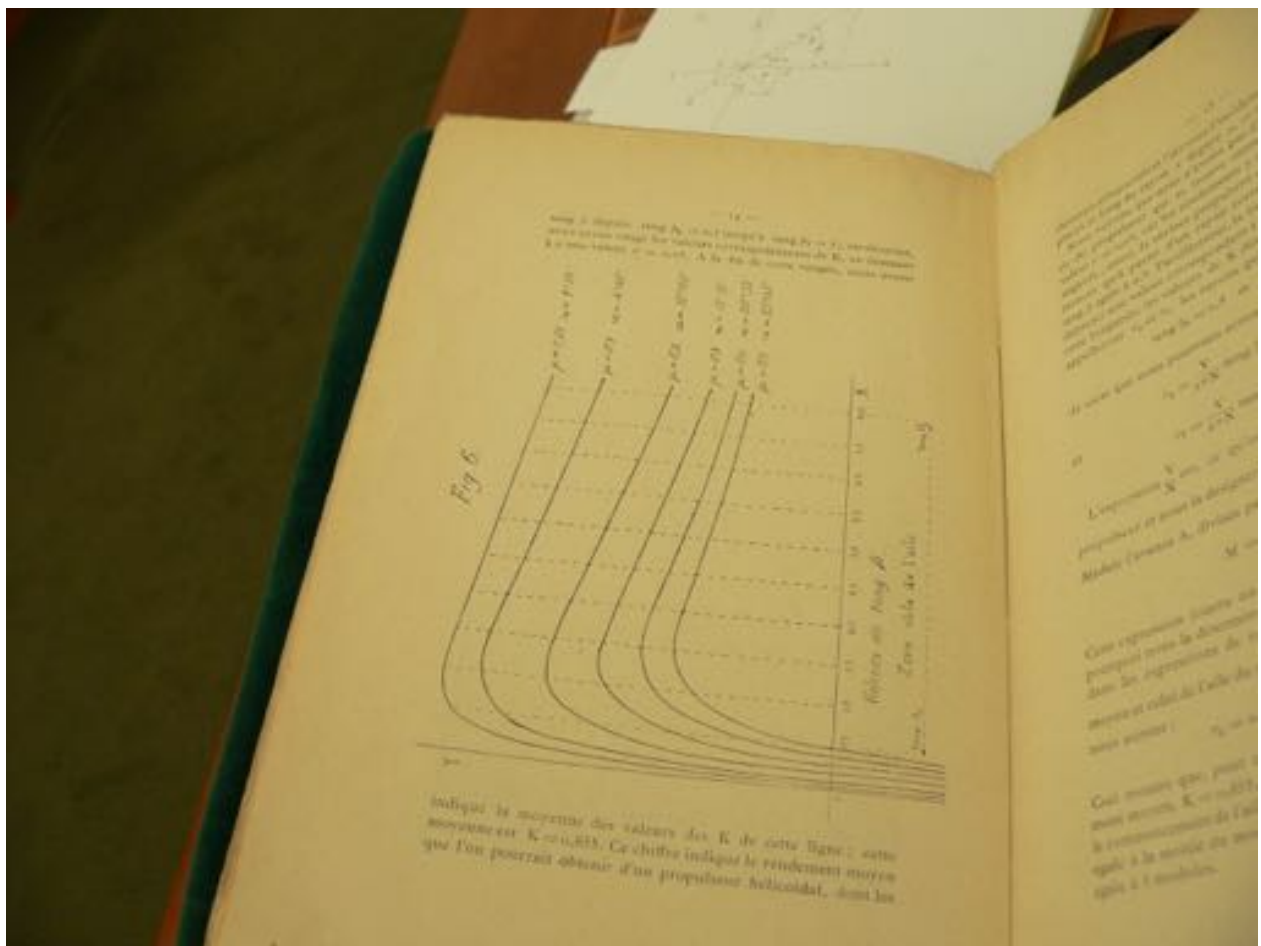
Nous voyons que la courbe est asymptotique à l'axe des X .

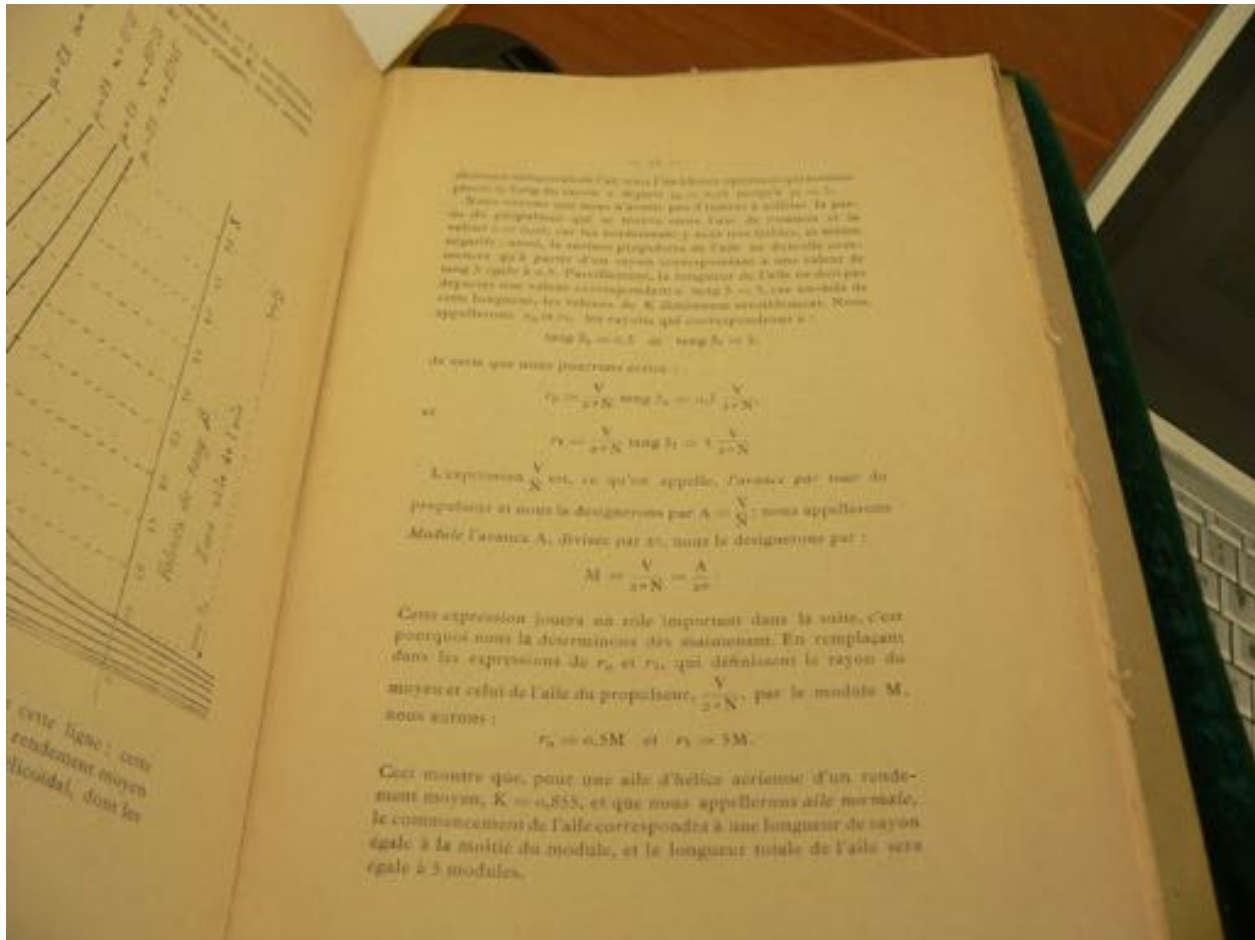
Notre variante que la courbe passe par $K = 0.5$ lorsque $\text{tang } f = 0.13$ dans ce paramètre, puisque $K = 0.5$ lorsque $\text{tang } X = K = 0$, entraîne immédiatement pour $\text{tang } f = 0.13$ une valeur $\varepsilon = 0.05$ pour la courbe à deux branches; mais ce point tang $f = 0.13$ n'est pas maximum. $K = 0.5$ est effectivement un point fixe pour $\text{tang } f = 0.13$ mais il existe un autre point tang $f = 0.13$ qui est aussi maximum. Mais lorsque $\text{tang } f = 0.13$ alors $K = 0.5$ mais l'abscisse, pour donner une courbe progressivement, n'a pas terminé, pour donner celle asymptotique à l'axe des X pour $\text{tang } f < 0.13$.

Figure 6

x	$\text{tang } f$	K	ε	$\text{tang } f$	K	ε
0.13	0.13	0.500	0.05	0.500	0.500	0.05
0.14	0.14	0.510	0.05	0.510	0.510	0.05
0.15	0.15	0.520	0.05	0.520	0.520	0.05
0.16	0.16	0.530	0.05	0.530	0.530	0.05
0.17	0.17	0.540	0.05	0.540	0.540	0.05
0.18	0.18	0.550	0.05	0.550	0.550	0.05
0.19	0.19	0.560	0.05	0.560	0.560	0.05
0.20	0.20	0.570	0.05	0.570	0.570	0.05
0.21	0.21	0.580	0.05	0.580	0.580	0.05
0.22	0.22	0.590	0.05	0.590	0.590	0.05
0.23	0.23	0.600	0.05	0.600	0.600	0.05
0.24	0.24	0.610	0.05	0.610	0.610	0.05
0.25	0.25	0.620	0.05	0.620	0.620	0.05
0.26	0.26	0.630	0.05	0.630	0.630	0.05
0.27	0.27	0.640	0.05	0.640	0.640	0.05
0.28	0.28	0.650	0.05	0.650	0.650	0.05
0.29	0.29	0.660	0.05	0.660	0.660	0.05
0.30	0.30	0.670	0.05	0.670	0.670	0.05
0.31	0.31	0.680	0.05	0.680	0.680	0.05
0.32	0.32	0.690	0.05	0.690	0.690	0.05
0.33	0.33	0.700	0.05	0.700	0.700	0.05
0.34	0.34	0.710	0.05	0.710	0.710	0.05
0.35	0.35	0.720	0.05	0.720	0.720	0.05
0.36	0.36	0.730	0.05	0.730	0.730	0.05
0.37	0.37	0.740	0.05	0.740	0.740	0.05
0.38	0.38	0.750	0.05	0.750	0.750	0.05
0.39	0.39	0.760	0.05	0.760	0.760	0.05
0.40	0.40	0.770	0.05	0.770	0.770	0.05
0.41	0.41	0.780	0.05	0.780	0.780	0.05
0.42	0.42	0.790	0.05	0.790	0.790	0.05
0.43	0.43	0.800	0.05	0.800	0.800	0.05
0.44	0.44	0.810	0.05	0.810	0.810	0.05
0.45	0.45	0.820	0.05	0.820	0.820	0.05
0.46	0.46	0.830	0.05	0.830	0.830	0.05
0.47	0.47	0.840	0.05	0.840	0.840	0.05
0.48	0.48	0.850	0.05	0.850	0.850	0.05
0.49	0.49	0.860	0.05	0.860	0.860	0.05
0.50	0.50	0.870	0.05	0.870	0.870	0.05
0.51	0.51	0.880	0.05	0.880	0.880	0.05
0.52	0.52	0.890	0.05	0.890	0.890	0.05
0.53	0.53	0.900	0.05	0.900	0.900	0.05
0.54	0.54	0.910	0.05	0.910	0.910	0.05
0.55	0.55	0.920	0.05	0.920	0.920	0.05
0.56	0.56	0.930	0.05	0.930	0.930	0.05
0.57	0.57	0.940	0.05	0.940	0.940	0.05
0.58	0.58	0.950	0.05	0.950	0.950	0.05
0.59	0.59	0.960	0.05	0.960	0.960	0.05
0.60	0.60	0.970	0.05	0.970	0.970	0.05
0.61	0.61	0.980	0.05	0.980	0.980	0.05
0.62	0.62	0.990	0.05	0.990	0.990	0.05
0.63	0.63	1.000	0.05	1.000	1.000	0.05

Dans le tableau ci-dessus (tableau B), nous avons reporté dans la première colonne horizontale les valeurs correspondantes dans le premier temps.





En examinant les clôtures du tableau ci-dessous, on se demandera pourquoi ne se permettent pas à suffisance seulement la partie de l'aile correspondante aux limites $\tan \beta_0 = 0,3$ et $\tan \beta_0 = 2$ ou à tout exemple pour besogno la moyenne des rendements serait plus élevée; ce sont en effet les flammes qui ont été admissibles pour les ailes minimales des hélices minimes, mais pour les hélices extrêmes ces limites deviennent trop restrictives, car il est indispensable pour les propulseurs actuels de disposer d'une surface propulsive considérable; de plus, comme la forme des ailes devra être aussi plus ronde, que celle des hélices minimes, en augmentant la longueur de caron à 2 modules, ou même à 4, il faudrait donner aux hélices un nombre trop considérable d'ailes pour réaliser la surface propulsive nécessaire. C'est pourquoi nous avons été amenés à adapter pour l'aile normale dans l'air $r_1 = 5$ M.

Dans la pratique, il pourra arriver que cette longueur admissible pour l'aile minimale soit encore insuffisante, par exemple pour les hélices tournant très rapidement, et pour lesquelles l'avance par tour est faible; par suite de quoi le module M sera aussi très petit; il faudra alors, pour éviter l'emploi d'un trop grand nombre d'ailes, pousser la valeur de r_1 jusqu'à 6, 7 et même 8 modules. Tandis qu'en contrepartie, rares seront les cas où l'on aura nécessité de descendre au-dessous de $r_1 = 3$ M.

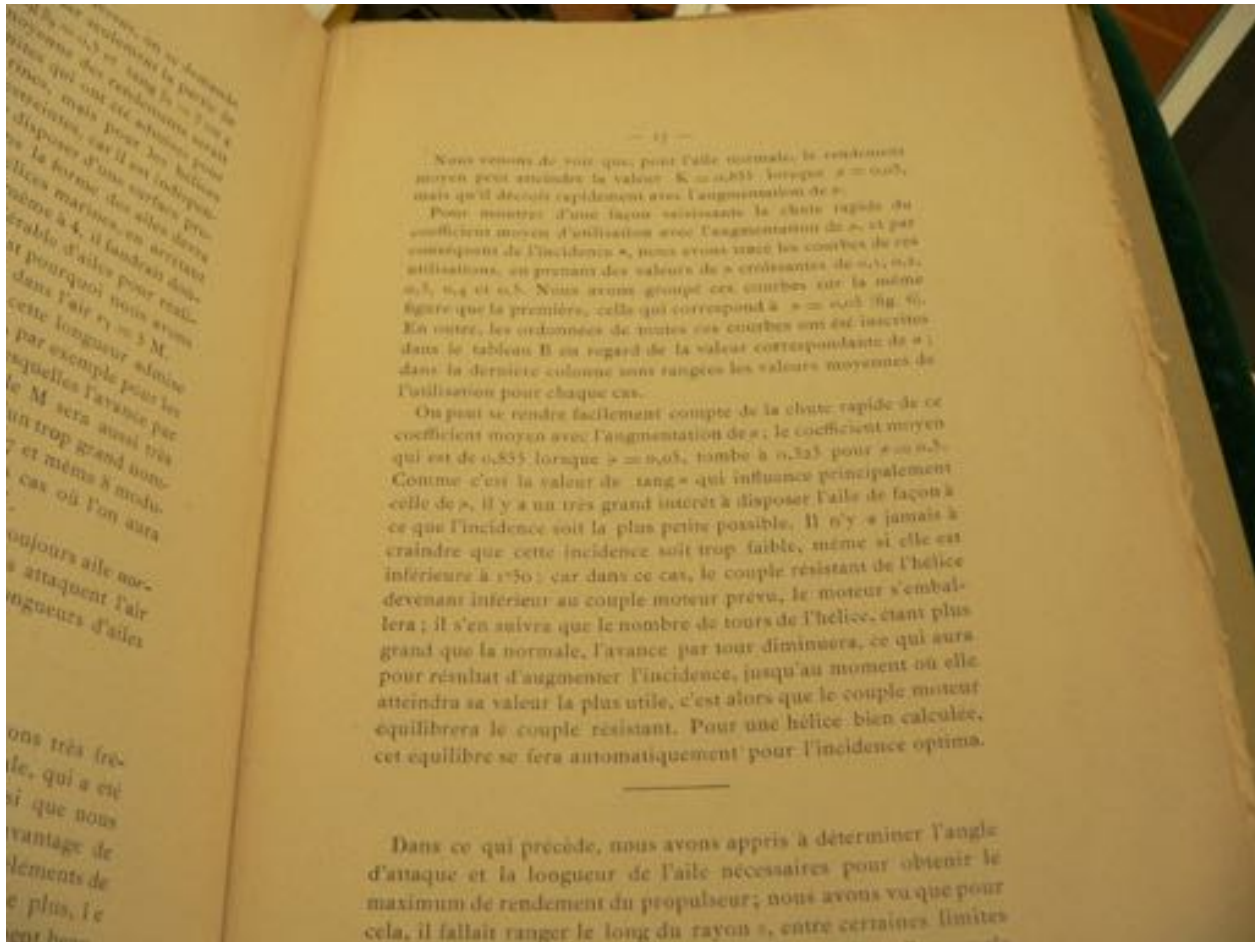
Dans tout ce qui va suivre nous appellerons toujours aile normale, une aile de propulseur dont les éléments attaquent l'air sous l'incidence optimale $\alpha = 1750'$ et dont les longueurs d'ailes sont déterminées par les relations :

$$r_0 = 0,5 \text{ M} \quad \text{et} \quad r_1 = 5 \text{ M}.$$

Dans le courant de la présente étude nous aurons très fréquemment l'occasion d'avoir à faire à l'aile normale, qui a été établie sur la base d'une certaine convention, ainsi que nous venons de le voir. Cette convention a l'immense avantage de déterminer immédiatement et complètement tous les éléments de l'aile normale, au moyen du module seulement, et de plus, les conditions adoptées dans cette convention se rapprochent beaucoup de celles qu'on rencontre généralement dans la pratique des hélices aériennes, ce qui fait que, dans la plupart des cas, l'aile normale pourra être appliquée telle que, sans modification aucune.

Nous verrons plus tard que l'angle d'attaque de l'aile normale dépend de l'angle d'attaque de l'aile minimale, mais il n'y a pas de rapport direct entre les deux. En outre, les ailes dans le tableau I dans la dernière ligne pourront ne pas correspondre tout à fait à l'angle d'attaque moyen qui est de ...
Comme c'est le cas pour l'aile de 5, il y a que l'épaisseur croissante qui intervient à 5 devient nulle à 6, 7 et même 8 modules. Il s'en suit que le grand que la pour résultat améliore sa équilibrera cet équilibre.

Dans ce cas, l'aile normale sera déterminée par l'angle $\alpha = 1750'$, dans laquelle



ons très fréquemment, qui a été si que nous n'avantage de déments de plus, le tout pour...
et toujours aile normale, qui attaque l'air n'importe d'abord

résultants de la juxtaposition des éléments A B le long du rayon
s, pour des valeurs constantes de $\tan \beta$, est une surface héli-
cendale dont le pas est :

$$H = \frac{V}{\tan(\beta - s)}$$

soit encore :

$$\tan(\beta - s) = \frac{\tan \beta - \tan s}{1 + \tan \beta \cdot \tan s}$$

on a :

$$H = \frac{V(1 + \tan \beta \cdot \tan s)}{\tan \beta - \tan s}$$

remplaçant s par sa valeur :

$$\frac{V \tan \beta}{N}$$

on obtient :

$$H = \frac{V(1 + \tan \beta \cdot \tan s \cdot \tan \beta)}{\tan \beta - \tan s}$$

Remarquons en passant que, dans cette expression, la fonction qui multiplie l'avance V , est précisément l'inverse de celle que nous avions trouvée pour K , et dans laquelle s serait remplacé par $\tan s$; ceci montre que, si les frottements n'existaient pas et que s se réduise à $\tan s$, on aurait :

$$H = \frac{V}{S \cdot K}$$

on bien :

$$K = \frac{A}{H}$$

qui montre que le rendement serait mesuré par le rapport de l'avance au pas.

En examinant la valeur du pas :

$$H = \frac{V(1 + \tan \beta \cdot \tan s \cdot \tan \beta)}{\tan \beta - \tan s}$$

$$\tang(\beta - \alpha) = \frac{1}{\tang \beta \cdot \tang \alpha}$$

et si α :

$$H = \frac{V \cdot (1 + \tang \beta \cdot \tang \alpha)}{\tang \beta - \tang \alpha}$$

remplaçant α par sa valeur:

$$\frac{V \tang \beta}{N}$$

on obtient :

$$H = \frac{V \cdot (1 + \tang \beta \cdot \tang \times \tang \beta)}{N \cdot (\tang \beta - \tang \times)}$$

Remarquons en passant que, dans cette expression, la fonction qui multiplie l'avance $\frac{V}{N}$, est précisément l'inverse de celle que nous avons trouvée pour K , et dans laquelle \times serait remplacé par $\tang \alpha$: ceci montre que, si les frottements n'existaient pas et que \times se réduise à $\tang \alpha$, on aurait :

$$H = \frac{V}{N} \cdot \frac{1}{K}$$

ou bien :

$$K = \frac{A}{H}$$

qui montre que le rendement serait mesuré par le rapport de l'avance au pas.

En examinant la valeur du pas :

$$H = \frac{V \cdot (1 + \tang \beta \cdot \tang \times \tang \beta)}{N \cdot (\tang \beta - \tang \times)}$$

nous voyons que ce pas est un pas variable; qu'il est infini pour

$\tang \beta = \tang \alpha$, ce qui a lieu lorsque $\beta = \alpha$, au croisement de l'axe de rotation. A mesure que $\tang \beta$ augmente, la valeur de H_{m} diminue, elle passe par un minimum que l'on détermine en égalant à zéro la dérivée première de la fonction : son module ainsi après simplification :

$$H_{\text{m}} = \frac{N}{2} (\tang \alpha + \sqrt{\tang^2 \alpha - 1}) \beta$$

correspondant à une valeur de :

$$\tang \beta_m = \tang \alpha + \sqrt{\tang^2 \alpha - 1}$$

Pour $\tang \beta = \infty$, le pas devient infini.

Encore la similitude d'expression qui trappiste entre le minimum de pas H_{m} et l'inverse du rendement maximum K_{m} que nous avons dit plus haut. Dans ces deux expressions c'est la même valeur de $\tang \beta$ qui les rend l'un minimum, l'autre maximum, avec cette seule différence que $\tang \alpha$ y est remplacé par μ .

La valeur du pas minimum peut s'exprimer en fonction de $\tang \beta_m$ qui le rend minimum :

$$H_{\text{m}} = \frac{N}{2} \cdot \tang \beta_m$$

mais, comme d'autre part :

$$H_{\text{m}} = \frac{N}{2} \cdot \frac{\tang \beta_m}{\tang (\beta_m - \alpha)}$$

donc :

$$\tang^2 \beta_m = \frac{\tang \beta_m}{\tang (\beta_m - \alpha)}$$

ou bien :

$$\tang \beta_m \cdot \tang (\beta_m - \alpha) = 1$$

On peut en déduire que $\tang \beta_m$ est supérieur à l'unité précisément de la même quantité que $\tang (\beta_m - \alpha)$ est inférieure à 1, par conséquent :

$$\beta_m = 45^\circ + \frac{\alpha}{2} \quad \text{et} \quad \beta_m - \alpha = 45^\circ - \frac{\alpha}{2}$$

Enfin pour

et lorsque $\alpha = 10^\circ$, on aise $\beta_0 = 17^\circ 27'$ et $\beta_0 = 8^\circ 27'$.
En conséquence, lorsque $\alpha = 0^\circ$, pour faire valoir
maximale la force :

$$\beta_0 = \frac{V}{S} \cdot \frac{\cos \alpha}{\sin \alpha} = 1,077 \sqrt{S} \cdot \alpha \cdot \tan \beta_0 \cos \alpha$$

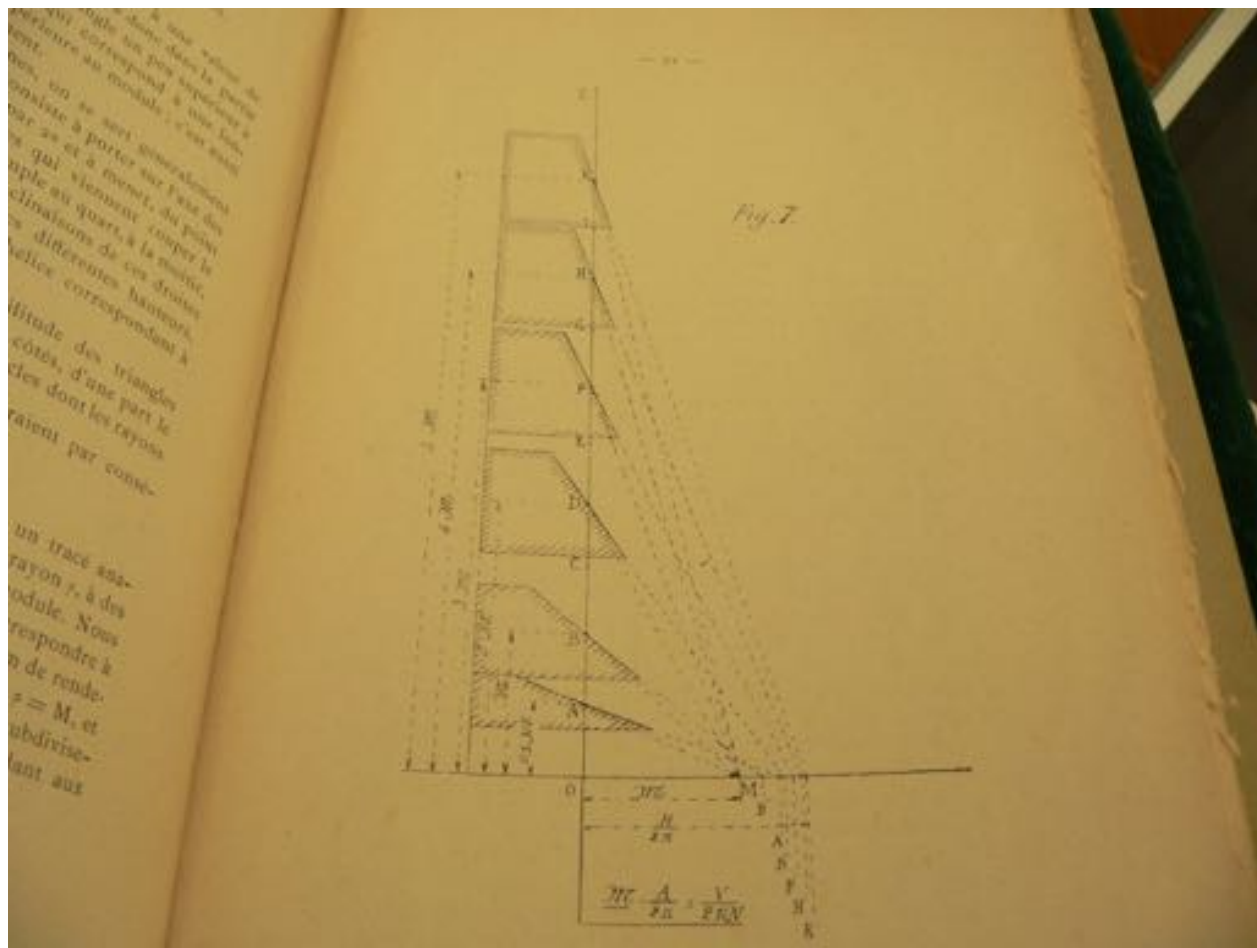
On voit que le pas minimum correspond à une valeur de
tang β_0 très voisine de l'autre : il se trouve donc dans la partie
de l'aile qui est inclinée sur l'axe d'un angle un peu supérieur à
que plus exactement à $17^\circ 27'$, ce qui correspond à une long-
ueur de rayon à l'égard du module supérieur au module : c'est aussi
l'angle des extrémités de courbure.

Pour le tracé des hélices mixtes, on se servira généralement
d'une méthode très commode qui consiste à poser sur l'axe des
ailes longueurs égales au pas divise par π et à tracer, de point
à point, diverses droites qui viennent couper le
rayon à différentes hauteurs : par exemple au quart, à la moitié,
aux trois quarts de sa longueur ; les inclinaisons de ces droites
déterminent l'inclinaison de l'aile à ces différentes hauteurs,
autrement dit déterminent le pas de l'hélice correspondant à
ces différentes parties de l'aile.

Cela s'explique facilement par la similitude des triangles
ainsi obtenus, avec ceux qui seraient pour nous, d'une part le
pas H , et de l'autre, le développement des cercles dont les rayons
seraient respectivement $\frac{1}{4}H$, $\frac{1}{2}H$, $\frac{3}{4}H$ et qui seraient par consé-
quent $\frac{1}{4}M$, $\frac{1}{2}M$, $\frac{3}{4}M$.

Pour les hélices aériennes, nous adopterons un tracé ana-
logique, seulement nous choisirons les points sur le rayon s , à des
distances de l'axe qui seraient des multiples du module. Nous
savons vu que le commencement de l'aile devrait correspondre à
une valeur du rayon égale à $0,5 M$, que le maximum de ren-
droit ainsi que le minimum de pas correspondent à $s = M$, et
que l'aile normale avoir une longueur de $3 M$. Nous subdiviserons
donc l'aile (fig. 2) en parties égales, correspondant aux
valeurs croissantes du module :

$$0,5 M, 1 M, 2 M, \dots, 5 M.$$



Les points A, B, C, D, E, ..., K, ainsi dénommés, nous les trouvons au point M, pris sur l'axe de symétrie de la dentelle de l'aile que nous nommons les droites MA, MB, MC, ..., MK, représentant les tangentes aux représentations héliocentriques qui décrivent dans l'air les différents points A, B, C, ..., K. En ces différents points, la normale de l'aile sera, nous le savons, un angle d'inclinaison α à l'axe, et les différences molles de l'aile, en ces points, seront représentées par des éléments rectilignes qui seront incluses dans les lignes MA, MB, ..., MK, de l'angle α . Ces éléments rectilignes prolongés vers l'origine O, sera pour chaque point, égale au pas divisé par 2π . Pour une bille à pas constant, tous ces points se confondront en un seul, puisque le pas est le même pour tous les points du rayon, mais alors les incidences sont variables et sont en diminuant vers l'extreme de l'aile, tandis que pour l'aile à incidence constante, c'est, au contraire, le pas qui va en augmentant vers l'extreme de l'aile. Timbre les valeurs des pas, divisées par 2π , que nous avons adoptées plus haut, à angle d'inclinaison constant, peuvent être calculées une fois pour toutes, car elles correspondent toujours aux mêmes subdivisions du rayon ; de plus, elles peuvent être exprimées en fonction du module. Ces valeurs s'obtiennent de la façon suivante. Nous avons vu que :

$$H = \frac{V}{N} \tan \beta \quad \text{et} \quad \frac{H}{2\pi} = \frac{V}{2\pi N} \tan \beta.$$

mais comme :

$$\frac{V}{2\pi N} = M,$$

on aura :

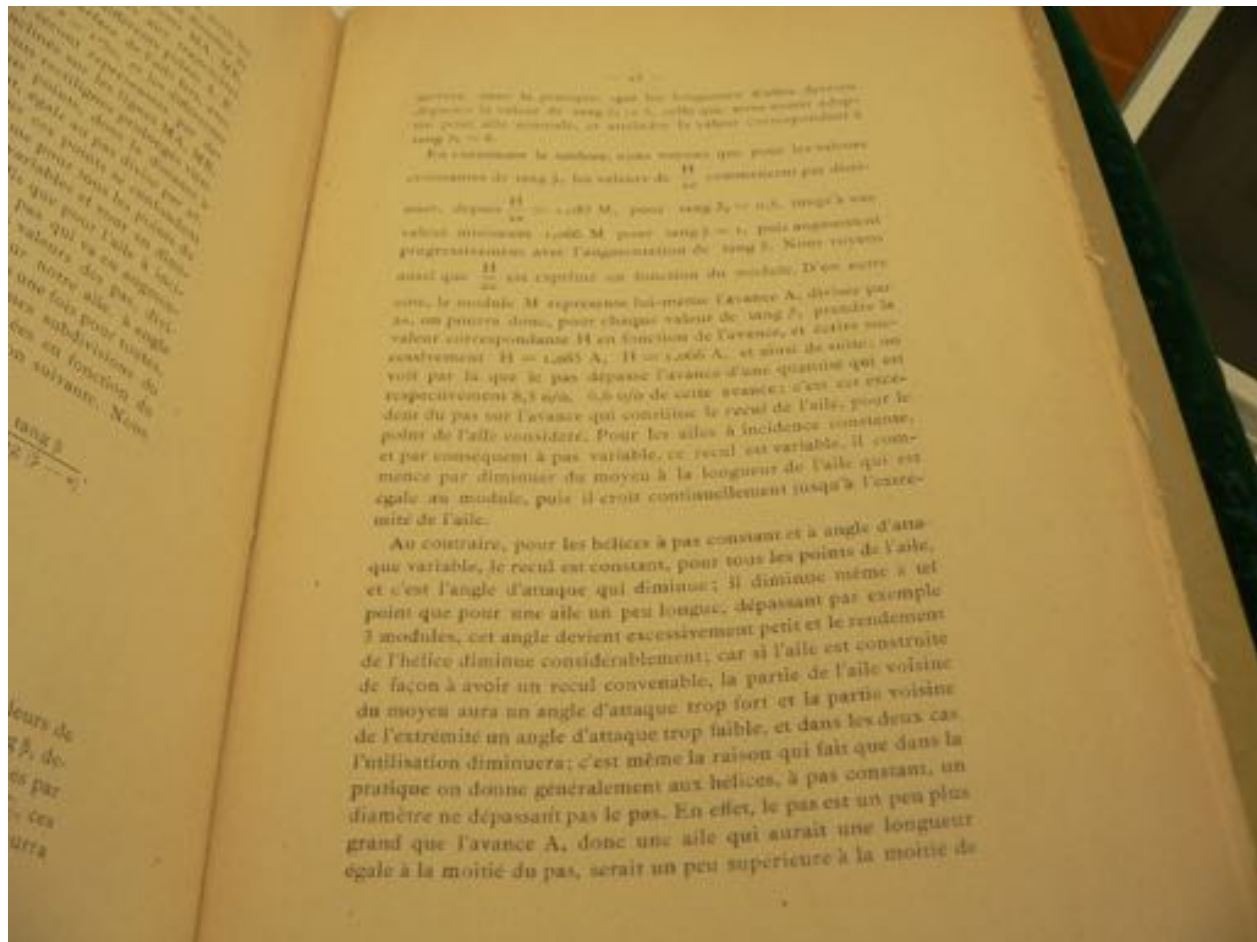
$$\frac{H}{2\pi} = \frac{\tan \beta}{\tan (\beta - \alpha)} M.$$

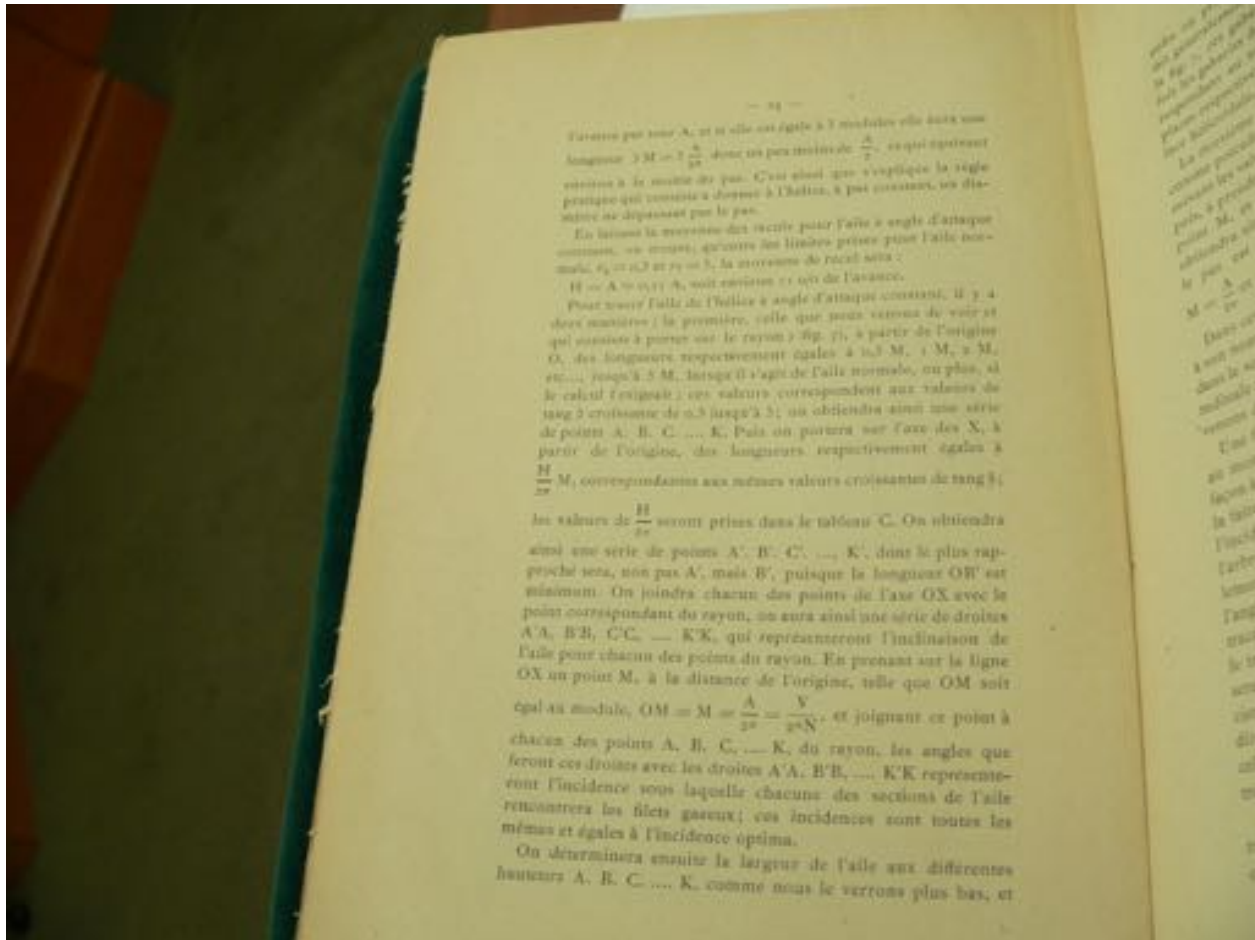
On pourra donc calculer, une fois pour toutes, les valeurs de $\tan (\beta - \alpha)$ correspondant aux valeurs croissantes de $\tan \beta$, depuis $\tan \beta = 0,5, 1, 2, 3, \dots, 5$, et diviser les deuxièmes par les premières. Dans le tableau de l'appendice (tableau C), ces valeurs ont été calculées jusqu'à $\tan \beta_1 = 8$, car il pourra

au contraire de l'avance, que les hélices à pas constant dépendent la valeur du tang β et celle que nous avons adopté pour cette dernière, ce qui donne le tableau correspondant à tang $\beta = 4$.

En examinant le tableau, nous trouvons que pour les valeurs constantes de tang β , les valeurs de $\frac{H}{\alpha}$ augmentent par échelons, depuis $\frac{H}{\alpha} = 1,07 M_0$ pour tang $\beta = 0,5$, jusqu'à une valeur maximum $\frac{H}{\alpha} = 1,6 M_0$ pour tang $\beta = 4$; puis diminuent progressivement avec l'augmentation de tang β . Nous voyons aussi que $\frac{H}{\alpha}$ est exprimé en fonction du module. D'où sortira, le module M représente lui-même l'avance A_0 , divisée par α , on pourra donc, pour chaque valeur de tang β , prendre la valeur correspondante H en fonction de l'avance, et alors immédiatement $H = 1,985 A_0$, $H = 1,006 A_0$, et ainsi de suite; on voit par là que si pas dépasse l'avance d'une quantité qui est respectivement A_0 ou $A_0/2$, on a de cette manière c'est un excès de pas sur l'avance qui constitue le recul de l'aile, pour le point de l'aile considéré. Pour les ailes à incidence constante, et par conséquent à pas variable, ce recul est variable, il commence par diminuer du moyen à la longueur de l'aile qui est égale au module, puis il croît continuellement jusqu'à l'extrémité de l'aile.

Au contraire, pour les hélices à pas constant et à angle d'attaque variable, le recul est constant, pour tous les points de l'aile et c'est l'angle d'attaque qui diminue; il diminue même à tel point que pour une aile un peu longue, dépassant par exemple 3 modules, cet angle devient excessivement petit et le rendement de l'hélice diminue considérablement; car si l'aile est construite de façon à avoir un recul convenable, la partie de l'aile voisine du moyen aura un angle d'attaque trop fort et la partie voisine de l'extrême un angle d'attaque trop faible, et dans les deux cas l'utilisation diminuera; c'est même la raison qui fait que dans la pratique on donne généralement aux hélices, à pas constant, un diamètre ne dépassant pas le pas. En effet, le pas est un peu plus grand que l'avance A_0 , donc une aile qui aurait une longueur égale à la moitié du pas, serait un peu supérieure à la moitié de





On fig. 7, sur gabarit, on place les cadrans, suivant le rapport à entre les gabarits décomposés, on les évidra, enlevant le rapport à entre répondant au rapport des gabarits, et on les ramèner à leurs places respectives sur une planchette, pour former ainsi la surface hélicoïdale, sur laquelle on place ensuite l'aile.

La deuxième méthode qui est plus simple, consiste à porter, comme précédemment, les points A, B, C, ..., K, sur le rayon, suivant les valeurs croissantes du module, depuis 0,5 à 5 (fig. 8), puis, à prendre sur l'axe des X la longueur du module, jusqu'au point M, et à mener les droites MA, MB, MC, ..., ME. On obtiendra ainsi le tracé d'une aile à pas constant, dans laquelle le pas est précisément égal à l'avance par tour, puisque

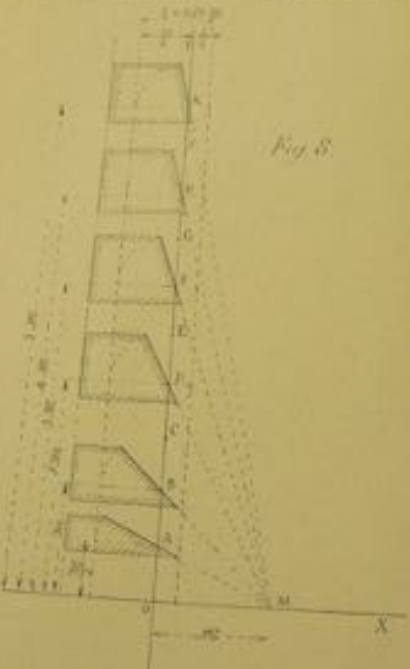
$$M = \frac{A}{2\pi} \text{ et qu'en même temps } \frac{H}{2\pi} = M.$$

Dans cette aile, l'angle d'attaque est nul ; si cette aile tournait, à son nombre de tours normal N, et avançait avec la vitesse V dans le sens de l'axe OX, elle n'exercerait aucune poussée longitudinale ; aussi nous ne pourrions pas l'utiliser telle que nous venons de la tracer.

Une fois cette aile exécutée d'après les données ci-dessus, c'est au moment de la fixer à son moyeu qu'il faudra la placer de façon à obtenir l'angle d'attaque constant. Pour cela, il suffira de la faire tourner autour de son rayon principal, d'un angle égal à l'incidence voulue, et de la fixer définitivement, au moyen de l'arbre, dans cette nouvelle position décalée. On comprend facilement que ce décalage de l'aile a pour effet de faire tourner, de l'angle α , tous les éléments, qui étaient représentés sur notre trace (fig. 8) suivant les lignes AM, BM, ..., KM. Si on refaisait le tracé de la nouvelle aile ainsi décalée, les nouveaux éléments seraient représentés par des lignes droites faisant, avec les anciennes directions, des angles α et se croisant avec ces anciennes directions sur le rayon ρ . Cette nouvelle épure serait précisément celle que nous avons indiquée dans la première méthode de tracé.

Comme généralement, dans les hélices aériennes, les ailes sont rapportées, cette seconde méthode est préférable à la première, car elle est plus simple.

— 47 —
Ainsi avec c'est une sorte de chevalet à deux bras d'elles se tiennent le ligne concorde qui va être gravé.



Les ressourciers, afin d'augmenter leur puissance portante.

l'augmentation proportionnelle de poids porté, et de perte de solidité de l'appareil ne peut qu'y gagner; on en sait qu'il augmente un peu la puissance du moteur. Tandis qu'il n'en est plus de même pour les propulseurs. Une tension constante à utiliser. Pour la propulsion, la puissance du moteur le mieux possible; une diminution de poids de l'hélice n'a qu'une influence insignifiante sur le poids total, et au contraire toute augmentation de la résistance visuelle, même légère, entraîne, ainsi que nous l'avons vu, une diminution très notable dans l'utilisation du propulseur. Les défenseurs du système des ailes concaves invoquent souvent, en faveur de leur thèse, l'argument que les filets d'air entrent sans choc sur la surface d'une aile concave, tangentielle à l'élément d'entrée, et que ces filets sont déviés progressivement pour sortir le long de la génératrice de sortie, après avoir, par leur réaction sur l'aile, produit le maximum de poussée, pareillement à ce qui se produit dans les turbines à ailes courbes. A notre avis, les deux phénomènes ne sont pas comparables; car dans les turbines ce n'est qu'un seul faisceau de filets isolés qui vient frapper l'aile courbe, et il est en effet dévié tout entier; tandis que l'aile de l'hélice rencontre par toute sa largeur les filets d'air parallèles, et si ceux qui entrent tangentielle par la génératrice d'entrée, peuvent être progressivement déviés par la surface concave de l'aile, comme dans une turbine, il n'en est plus de même de tous les autres filets qui viennent frapper la surface de l'aile dans toute sa largeur et surtout vers la partie arrière, sous des angles d'incidence croissants et supérieurs à l'angle optimum, ce qui diminue considérablement le rendement du propulseur. C'est pourquoi, jusqu'à preuve du contraire, croyons-nous préférable de donner aux ailes des propulseurs, des surfaces hélicoïdes planes, et non pas concaves. Une fois encore, c'est au laboratoire aérodynamique qu'il appartient de décider cette question. Si les essais de laboratoire montrent que le rapport $\mu = \frac{f}{P}$, pour des surfaces concaves, n'est pas supérieur à ce qu'il est pour les surfaces planes,

à introduire par les forces ρ et P agissant dans les mêmes positions, il est évident alors qu'il n'existe pas moyen à moins des effets d'ordre élevé.

Dans ce qui précéde, nous avons distingué pour les fluides, deux types de coefficients de leur résistance à la propagation, 1^o les dimensions à l'heure aux échasses du propagateur; 2^o les dimensions qu'il convient de donner à la longueur des vagues; et 3^o dimensions de tirer le pas, ou les pas, des dimensions parties de l'onde; il nous reste encore à déterminer les dimensions transversales de ces alas, c'est-à-dire à déterminer la largeur de l'onde aux différentes hautes.

Pour cette opération nous avons quelques méthodes qui servent à déterminer la puissance exercée et la puissance nelle nécessaire à propagation même accompagnée à la vitesse constante.

Sielle voici :

$$F_x = PV \sin \beta - \rho \sin \beta \tan \beta$$
$$F_y = PV \sin \beta - \rho \cos \beta$$

En considérant le travail second élémentaire sur une

$$\delta F_x = V \sin \beta - \rho \sin \beta \tan \beta \cdot \delta P$$
$$\delta F_y = V \sin \beta - \rho \cos \beta \cdot \delta P$$

Pour une incidence constante β , il possède un élémentaire δP , dépendant du caractère de la vitesse avec laquelle l'élément en question rencontre les molécules gazeuses, des dimensions de l'élément et d'un coefficient empirique que nous appellerons λ , on aura donc :

$$\delta P = \lambda W^2 \delta s$$

on appelle W la vitesse de l'élément par rapport à l'air et δs sa surface. Ici se présente une question difficile, c'est le choix judicieux du coefficient λ . Il est certain que ce ne sera que par des essais effectués dans un laboratoire aérodynamique qu'il deviendra possible et même facile d'en déterminer rigoureusement la valeur exacte. Voilà la troisième fois que, dans le cours de cette étude, nous nous battons à des difficultés que seul un laboratoire aérodynamique est en état de résoudre; on ne saurait par conséquent trop insister sur la nécessité immédiate de la création d'un laboratoire de ce genre, car ce n'est que grâce à ce labora-

Pour déterminer λ appliquons l'équation de la puissance à la vitesse à la surface

et pour la puissance

— 39 —

savoir que l'on pourra déterminer les valeurs exactes de α , β et λ , ces trois paramètres si importants, dans le connaissances établies depuis, l'établissement, tout récemment de bonnes théories aérodynamiques, mais encore de bons expérimentations aéronautiques, est absolument impossible; jusqu'à il dépend des chances d'une appréciation plus ou moins heureuse. Faire de données plus précises, nous allons adopter pour β une valeur qui semble assez bien répondre à la réalité, surtout pour les ailes d'hélices qui sont des surfaces courbes et longues obliquant l'air par leur côté le plus long; cette valeur de β sera, peut-être, un peu forte pour des plans ordinaires, surtout si on s'en rapporte à certaines formules empiriques proposées par le colonel Duchemin, Huitton, Lissel, M. Eiffel, etc., ou un peu faible, si on en croit d'autres expérimentateurs modernes, tels que Langley, Maxime, le capitaine Fisher et plusieurs autres aviateurs encore. Je pense cependant que nous pourrons adopter, sans trop d'erreurs, $\beta = 0,03$, exprimé en kilogrammes, pour un mètre carré d'aile d'hélice, attaquant l'air sous l'incidence optimale, à une vitesse de 1 mètre à la seconde. Quant à la vitesse réelle de l'élément, elle sera $W = \frac{V}{\cos \beta}$.

Pour déterminer la surface de l'élément du propulseur, nous appellerons l la largeur de l'aile et ds , la hauteur de la tranche considérée le long du rayon s ; nous aurons ainsi, pour l'expression de la puissance élémentaire :

$$dP_e = \frac{\lambda \cdot V^2 (\sin \beta - \mu \cos \beta) l \cdot ds}{\cos^2 \beta}$$

$$dP_e = \frac{\lambda \cdot V^2 (\cos \beta + \mu \sin \beta) \tan \beta l \cdot ds}{\cos^2 \beta}$$

et pour la puissance totale, en appelant a le nombre d'ailes :

$$\bar{P}_e = a \cdot \lambda \cdot V^2 \int_{r_0}^{r_1} \frac{\sin \beta - \mu \cos \beta}{\cos^2 \beta} l \cdot ds,$$

$$\bar{P}_e = a \cdot \lambda \cdot V^2 \int_{r_0}^{r_1} \frac{\cos \beta + \mu \sin \beta}{\cos^2 \beta} \tan \beta l \cdot ds,$$

C'est au moyen de ces équations que nous pourrons démontrer l.

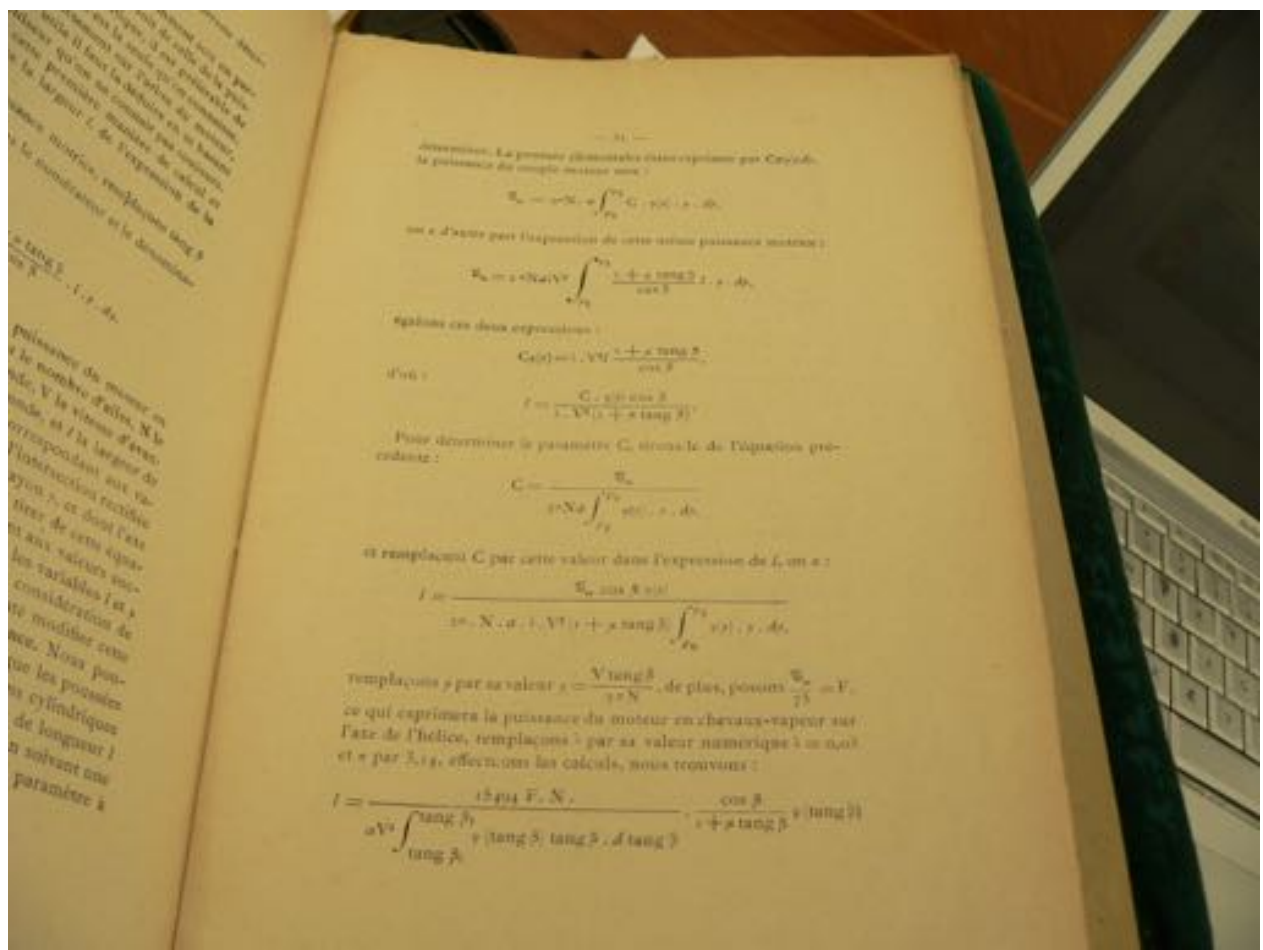
Théoriquement pour le moteur, indifféremment soit en parallèle ou en opposition de la puissance utile, soit de celle de la puissance motrice; cependant, dans la pratique, il est préférable de se baser sur la puissance motrice; c'est la partie qui est consommée, puisqu'on peut la mesurer directement sur l'action du moteur, tandis que pour la puissance utile il faut la déduire en se basant sur la résistance du propulseur qu'on ne connaît pas toujours.

Nous admettrons donc cette première manière de calcul et nous chercherons à déduire la largeur l de l'expression de la puissance motrice.

Dans l'équation de la puissance motrice, remplissons $\tan \beta$ par sa valeur $\frac{2\pi N_0}{V}$, et divisons le numérateur et le dénominateur par $\cos \beta$, nous avons :

$$U_m = \rho \cdot N_0 \cdot V \cdot \int_{r_0}^{r_1} \frac{l + \alpha \tan \beta}{\cos \beta} \cdot l \cdot r \cdot dr,$$

Dans cette expression, N_0 désigne la puissance du moteur en kilogrammètres sur l'axe de l'hélice, α le nombre d'ailes, V le vitesse d'avancement de l'appareil, en mètres à la seconde, et l la largeur de l'aile en mètres aux différents rayons r , correspondant aux valeurs successives de $\tan \beta$. La largeur l est l'intersection rectiligne de la surface de l'aile par un cylindre de rayon r , et dont l'axe serait l'axe de rotation du propulseur. Pour tirer de cette équation les différentes valeurs de l , correspondant aux valeurs successives et croissantes de $\tan \beta$, il faut relier les variables l et α par une relation de dépendance choisie par la considération de la forme à donner à l'aile; on pourra à volonté modifier cette forme en modifiant ces conditions de dépendance. Nous pouvons, par exemple, adopter comme condition, que les puissances transversales évaluées par les différentes sections cylindriques de l'aile, représentées par les bandes hélicoïdales de longueur l et de hauteur d_r , soient réparties le long du rayon suivant une fonction de ce rayon telle que $C(r)$, où C est un paramètre à



Il y a une relation de proportion à faire entre l'on peut déduire pour déterminer le facteur de l'ail. Il y en a une particulière moins très intéressante et qui peut avoir une application directe pour les ailes des bateaux aéronautiques ; c'est celle où la largeur L croît constamment tout le long de l'ail. Nous appellerons cette largeur spéciale largeur spécifique et nous la désignerons par la lettre L .

Il faut pour cela trouver une fonction qui rende constante la valeur de L .

Pour satisfaire cette condition, il faudra que la variable $\sqrt{1 + \tan^2 \beta}$ soit égale à l'inverse, on :

$$\sqrt{1 + \tan^2 \beta} = \frac{c + \alpha \tan \beta}{\cos \beta} \text{ où } c + \alpha \tan \beta = \sqrt{1 + \tan^2 \beta},$$

ce qui nous donnera :

$$L = \frac{c \cos \beta + \alpha \sin \beta}{\sqrt{\frac{\tan \beta}{\cos \beta}} (c + \alpha \tan \beta) \sqrt{1 + \tan^2 \beta}}, \text{ tang } \beta \neq \tan \beta,$$

Pour faciliter l'intégration, posons :

$$r = \sqrt{\tan^2 \beta + c + \alpha \tan \beta},$$

par conséquent :

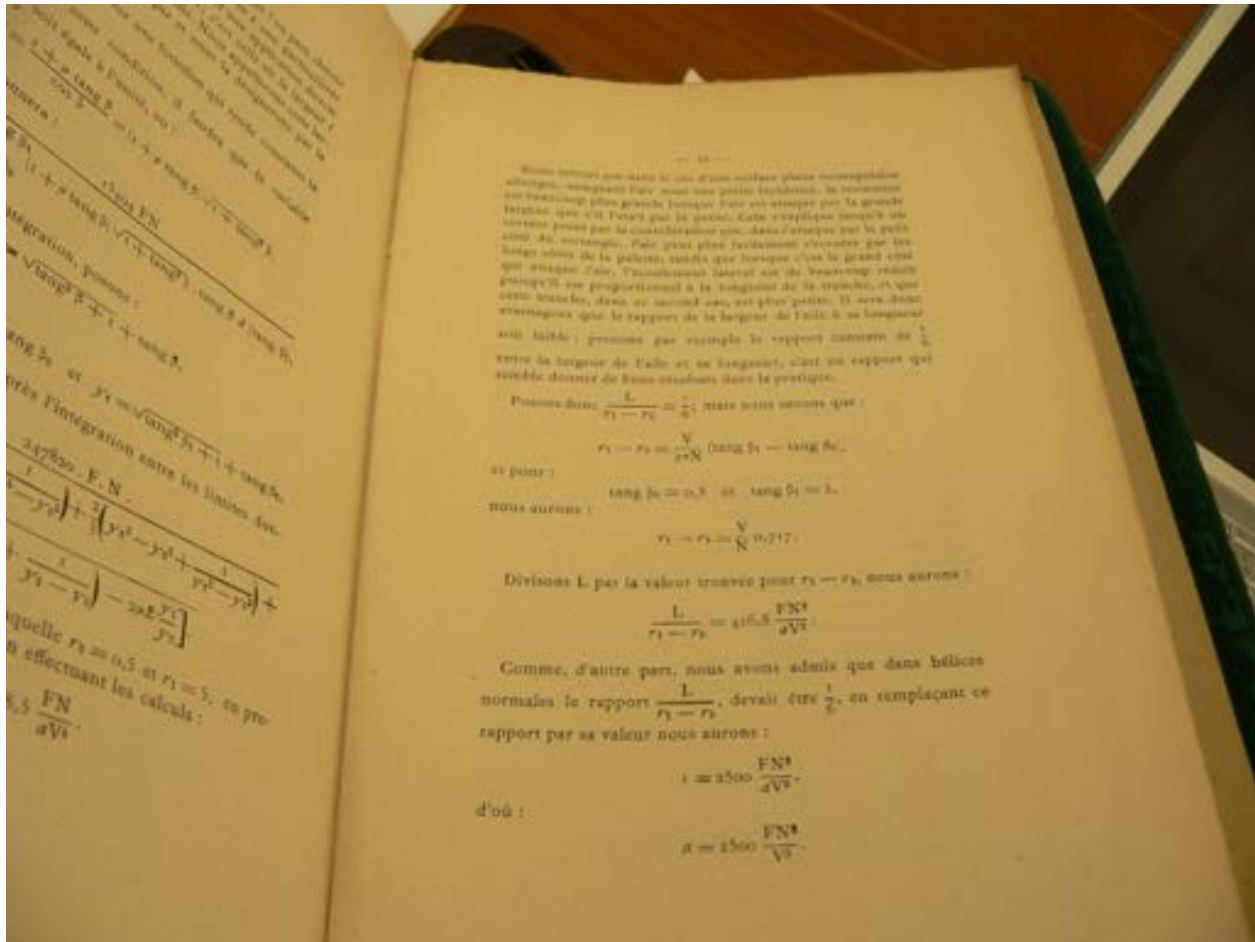
$$r_0 = \sqrt{\tan^2 \beta_0 + c + \alpha \tan \beta_0} \text{ et } r_1 = \sqrt{\tan^2 \beta_1 + c + \alpha \tan \beta_1},$$

ce qui nous donnera, après l'intégration entre les limites données r_0 et r_1 ,

$$L = \frac{217840 \cdot F \cdot N}{\pi V \left[\frac{2}{3} \left(r_1^3 - r_0^3 - \frac{1}{r_1^2 - r_0^2} \right) + \frac{2}{3} \left(r_1^3 - r_0^3 + \frac{1}{r_1^2 - r_0^2} \right) + \right. \\ \left. + 2 \left(r_1 - r_0 + \frac{1}{r_1 - r_0} \right) - 2 \alpha^2 \frac{r_1}{r_0} \right]}.$$

Pour l'ail normalisé pour laquelle $r_0 = 0,5$ et $r_1 = 5$, en prenant $\rho = 0,05$, nous aurons, en effectuant les calculs :

$$L = 298,5 \frac{F \cdot N}{\pi V}.$$



Nous devons à cette expression le sens d'équation de compatibilité, car elle nous donne l'expression déterminante de la compatibilité des grandeurs en présence. Si par exemple un MP, le module de torsion N de première ordre, la vitesse V de l'écoulement des fluides en rotation, et si le module d'rigidité des propriétés, l'équation nous donne pour toutes sortes d'actions, et nous trouvons pour faire l'équation, comme dans les équations de la statique, pour écrire l'hydrostatique et la théorie de nos avions aussi; une dernière, nous l'appliquons aux propriétés, en parlant de ces dernières il faut évidemment établir de façon à ce que soit nécessaire de trouver le module et non module d'actions, notamment que l'équation de compatibilité soit assurée. Le module d'actions étant déterminé par l'expression évidemment à diverses sortes. Si les conditions de compatibilité de l'écoulement collaborent l'équation de compatibilité ou pas pas être assurée, c'est à dire que le module d'actions trouve pour le calcul, soit trop grand, ou ne donne pas un module assez, il faudra, soit augmenter la longueur des ailes, comme nous le savons pour lors, soit augmenter leur largeur, dans la proportion de celle trouvée par le calcul, au choix adapté.

Il faut alors se rendre compte que cette équation de compatibilité est une équation plus ou moins légère et que nous avons tout le droit de faire, elle sera dire simplement que les modules d'actions normales, calculé par l'équation de compatibilité, nous donnent à nos modules de torsion N à la seconde, et suivant dans l'air avec une vitesse de V mètres à la seconde, absorbent une puissance motrice de F chevaux-vapeur; de plus, que la largeur spécifique de ces ailes est égale au rapport de la longueur de l'aile.

Répondons l'expression de la largeur spécifique que nous venons de trouver:

$$L = \frac{188,5 FN}{\sigma V}.$$

Divisons cette largeur par le module $M = \frac{N}{2\pi S}$, nous avons:

$$\frac{L}{M} = 188,5 \frac{FN}{2\pi S}.$$

Nous retrouvons ici l'expression que nous venons de voir dans l'équation de compatibilité.

— 14 —
Remplaçons alors $\frac{L}{M}$ cette expression par sa valeur numé-
rique, nous aurons :

$$\frac{L}{M} = \frac{2857}{2500} = 1,142$$

soit :

$$L = 1,142 M.$$

ce qui nous dira que pour une aile normale, à laquelle on a
donné une largeur spécifique constante, cette largeur spécifique
sera les $1,142$ du module.

Cette valeur de la largeur spécifique peut se déduire aussi du
rapport que nous avons admis entre la largeur spécifique et la
longueur de l'aile, et qui est de $1,142$; comme la longueur de l'aile
est 4,5 modules, la relation qui représente la largeur spécifique
sera :

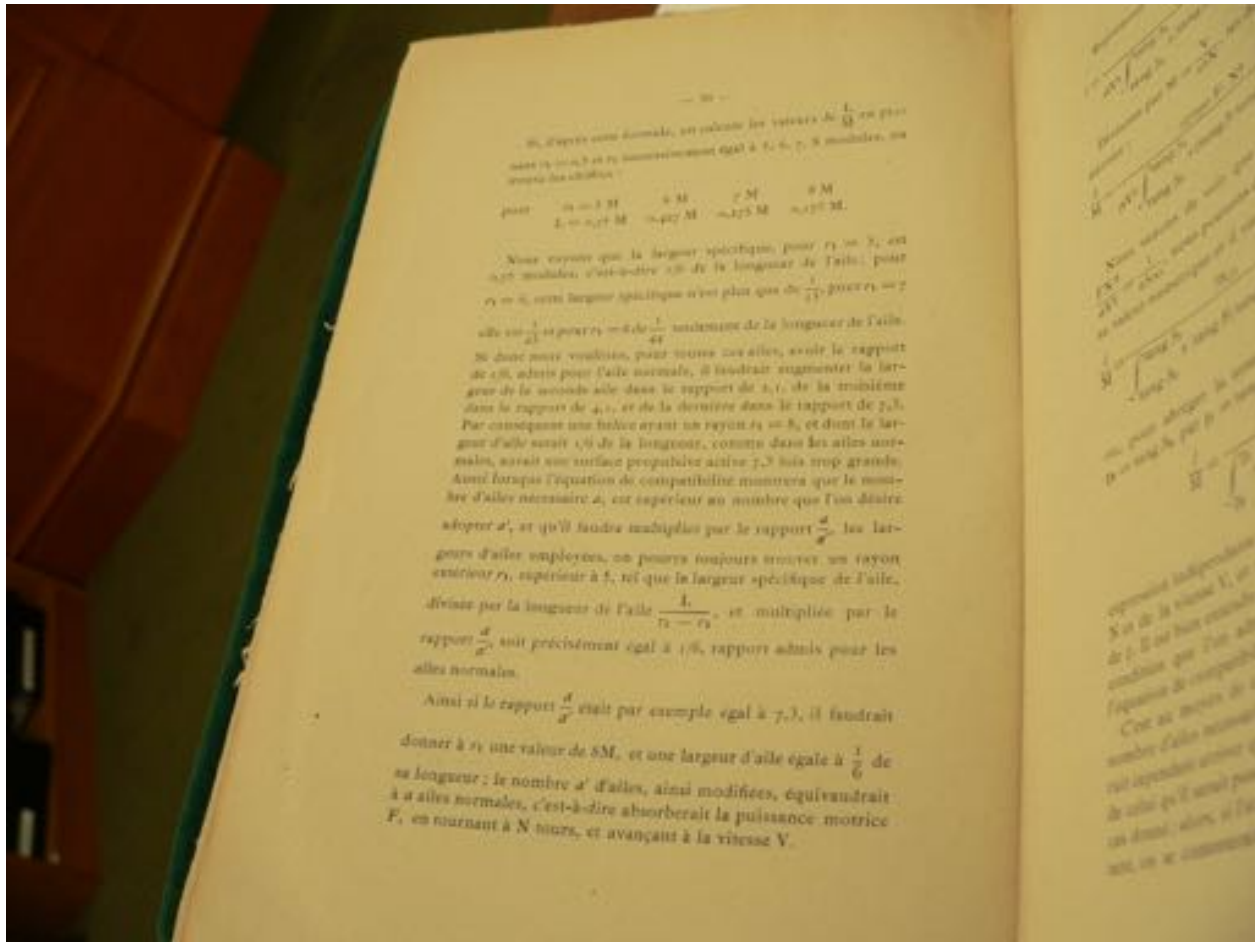
$$L = \frac{4,5}{6} M = 0,75 M.$$

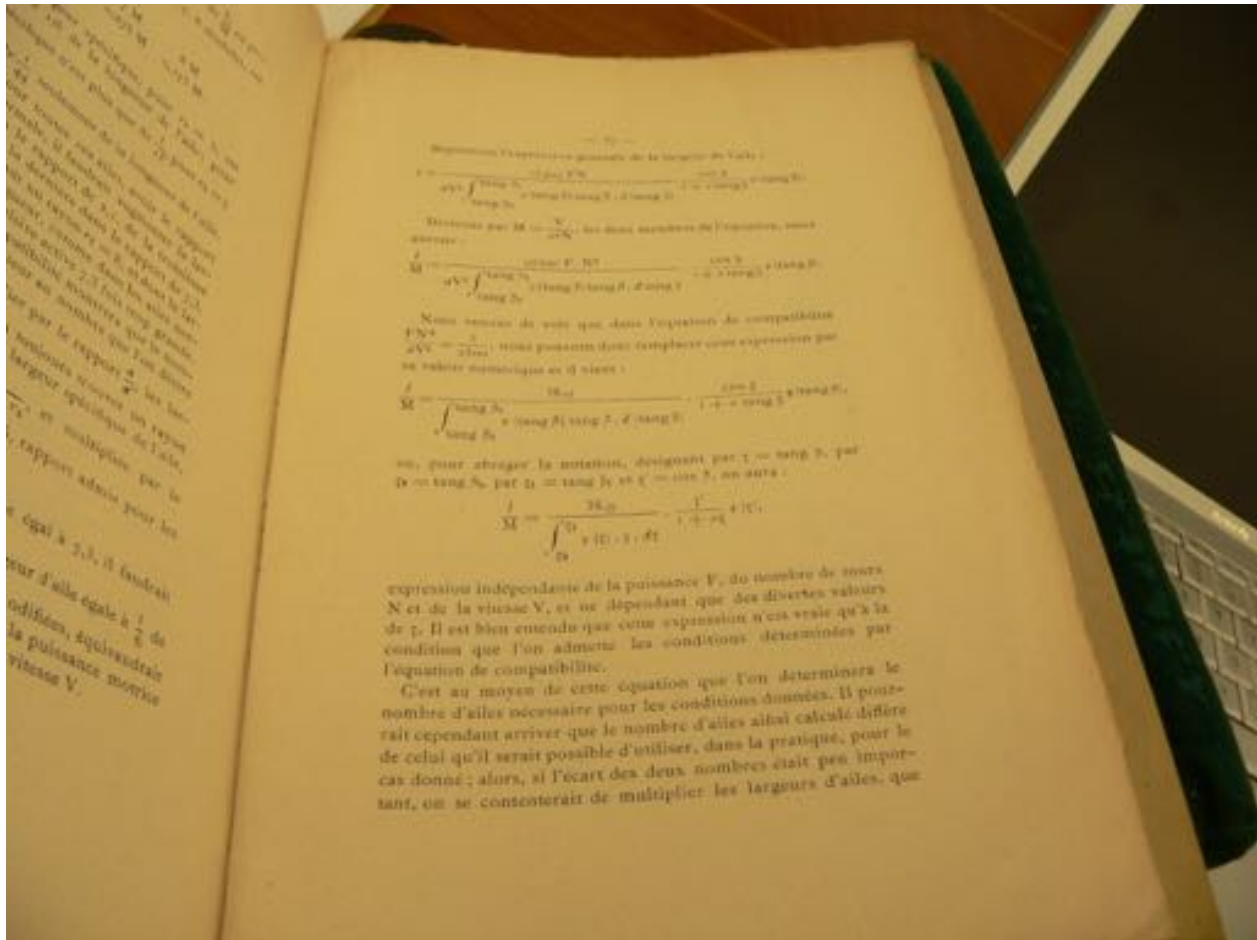
La forme d'aile à largeur spécifique constante L , sera une des
meilleures à employer pour les hélices aériennes; ce sera un
rectangle dont la hauteur est 4,5 fois le module, et sa largeur
égale aux $5/4$ du module; l'aile commencera à une distance d'un
demi-module de l'axe, et son rayon sera de 5 modules.

De cette manière l'aile normale à largeur spécifique constante
est complètement déterminée dans tous ses éléments qui, tous,
sont exprimés en chiffres abstraits, car ils ont tous le module
pour échelle commune.

Pour avoir l'expression générale de la largeur spécifique expri-
mée en module, il faudra diviser l'expression générale de L par
 M et remplacer l'expression $\frac{P N^2}{d V_1}$ par sa valeur numé-
rique $\frac{1}{2500}$. on aura alors :

$$\begin{aligned} \frac{L}{M} &= \frac{622,7}{\frac{1}{4} \left(r_1^4 - r_2^4 - \frac{1}{r_1^4 - r_2^4} \right) + \frac{2}{3} \left(r_1^3 - r_2^3 + \frac{1}{r_1^3 - r_2^3} \right) +} \\ &\quad + \frac{2}{3} \left(r_1 - r_2 + \frac{1}{r_1 - r_2} \right) - 2 \pi E \frac{r_1}{r_2}. \end{aligned}$$





pour nous calculer un certain nombre d'une des formules ci-dessous, par le moyen de mesures d'entre deux dissections. L'équation de ce rapport est $\eta = \frac{d}{2L}$, coefficient de variation; on appelle η le module d'une variété et d son module total. Dans le cas où la surface à démontrer est grande, comme du 2 par exemple, on n'arrive pas à faire une mesure directe; on ne peut plus appliquer ce procédé, car les longueurs d'ailleurs sont infinies. Il faut alors prendre le $\frac{1}{2}$ de leur longueur, ou quel pourcentage il y a dans l'aire qu'il faut prendre pour que l'aire de l'aire de la longueur soit égale à celle de l'aire de l'aire. On a donc une équation pour les deux variables en quel que soit η , et l'équation sera longue jusqu'à 1000, 2000, 3000, etc. Pour être résolue, il faut faire dans ce cas plusieurs séries d'aires directement par les formules générales, ou donner à η la valeur adéquate. Alors, pour le son de la valeur de la longueur spécifique L , on prendra :

$$\frac{L}{2} = \frac{\text{surface } F, N^2}{\pi \int_0^R \left(r^2 - r_0^2 - \frac{r^2 - r_0^2}{\pi R^2 - \pi r_0^2} \right) dr + \frac{1}{2} \left(\pi R^2 - \pi r_0^2 - \frac{1}{\pi R^2 - \pi r_0^2} \right) + \pi \left(R^2 - r_0^2 + \frac{R^2 - r_0^2}{\pi R^2 - \pi r_0^2} \right) - \pi R^2 \frac{R^2 - r_0^2}{\pi R^2 - \pi r_0^2}}$$

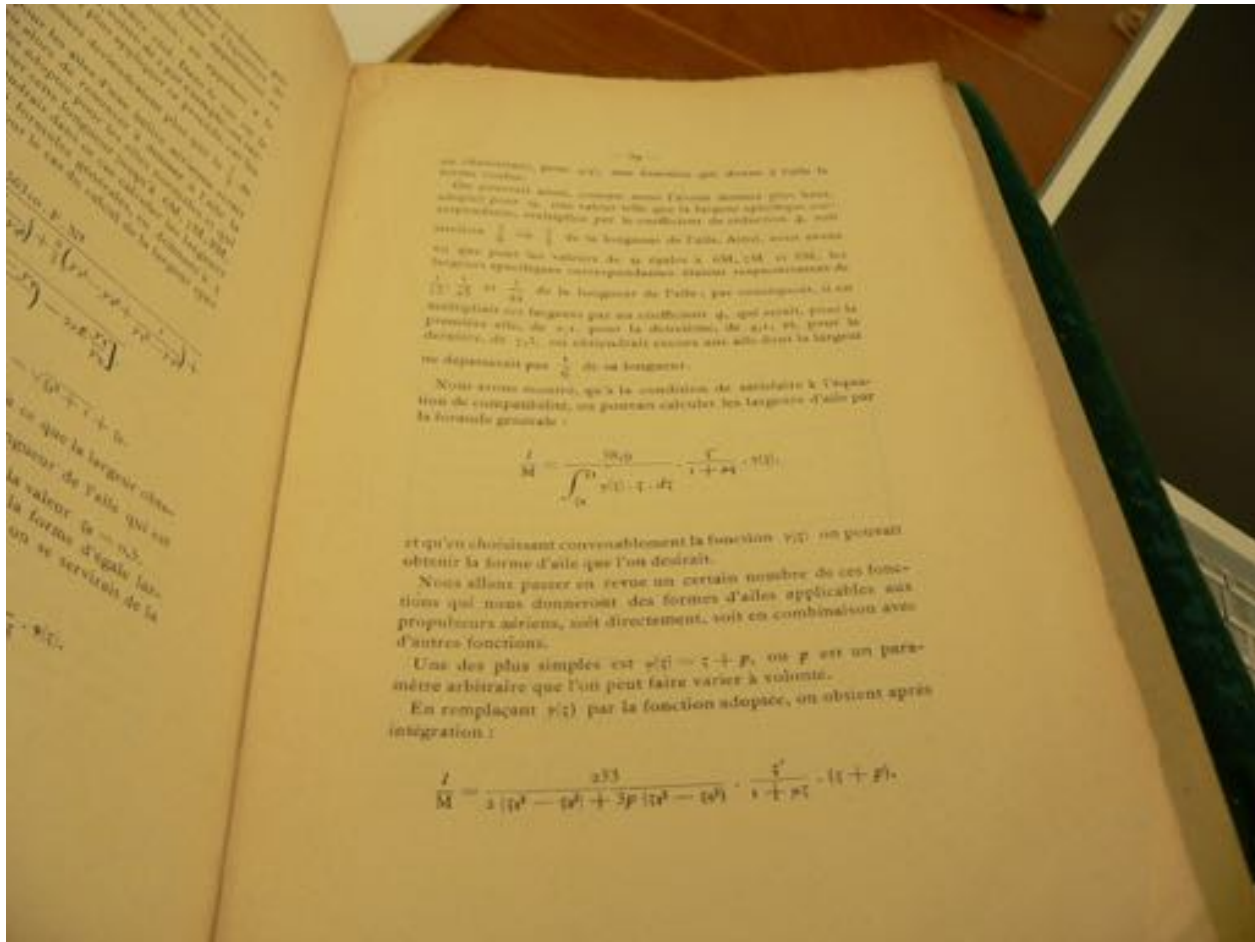
ou faisant :

$$r_0 = \sqrt{R^2 - \frac{L^2}{4}} + R, \quad R - r_0 = \sqrt{R^2 - \frac{L^2}{4}} + R.$$

On augmentera la valeur de r_0 , jusqu'à ce que la longueur obtenue L soit environ $\frac{1}{2}$ ou $\frac{1}{3}$ de la longueur de l'aire qui est $R - r_0$; on admettra toujours pour ce la valeur $\eta = 0,5$.

Si l'on voulait donner à l'aire, non pas la forme d'égalité la plus spécifique, mais une forme différente, on se servirait de la formule générale :

$$\frac{L}{2} = \frac{\text{surface } F, N^2}{\pi \int_0^R \frac{1}{N^2} \left(r^2 - r_0^2 \right) dr} = \frac{1}{1 + \eta^2} \cdot N^2.$$



— 10 —

au point d'abscisse normale, entre les limites $0 \leq z \leq 1$ et $0 \leq p \leq 1$:

$$\frac{1}{M} = \frac{z^2}{z^2 + 1} \cdot \frac{1}{(1-p)^2 + p^2} (1 + p)$$

à titre d'exemple, pour trouver la moitié de la plus grande de plusieurs les calculs, nous avons, dans le tableau D, procédé le calcul des intégrales d'après $\frac{1}{M}$, d'une abscisse normale, par le processus ci-dessous, en tenant pour p la valeur $p = 1$.

TABLEAU D.

Capacité correspondante de M	0.5	1	2	3	4	5
Valence correspondant à $z = p$	0.5	0	0	4	2	0
Logarithmes de ces valences	-0.693	-0.693	0.693	0.693	0.693	0.693
Log. de $\frac{z^2}{z^2 + 1}$ moins de la moitié de l'application	0.693	0.693	0.693	0.693	0.693	0.693
Log. de dénominateur $(1-p)^2 + p^2$	0.693	0.693	0.693	0.693	0.693	0.693
Log. $\frac{1}{M}$ moins de son rapport	1.386	1.386	1.386	1.386	1.386	1.386
Valence correspondante de $\frac{1}{M}$	0.693	0.693	0.693	0.693	0.693	0.693

Dans la première ligne horizontale, nous avons rangé les valeurs successives de z , depuis $z = 0.5$ jusqu'à $z = 6.1$; suivant, nous avons donné les valeurs correspondantes de $z + p$ en admettant $p = 1$. Dans la troisième ligne viennent les logarithmes des nombres de la rangée précédente. Au-dessous sont inscrits les logarithmes du facteur variable $\frac{1}{z^2 + 1}$, dont les valeurs successives ont été calculées, une fois pour toutes, depuis $z = 0.5$ jusqu'à $z = 8$. Ces valeurs, qui figurent dans le tableau E de l'appendice, ont été calculées pour des valeurs de z variant d'une unité, jusqu'à $z = 5$, et d'une demi-unité, depuis $z = 5$ jusqu'à $z = 8$. Cela a été fait en vue de la possibilité de pouvoir adopter pour z , supérieur à $5M$, une valeur intermédiaire entre

les valeurs rangées des deux dernières lignes. Nous avons placé la figure dans un tableau de 10 lignes et 7 colonnes, pour que l'application de l'application de la formule soit possible à tout moment. En examinant cette figure, nous trouvons que la partie de la courbe qui correspond au rapport $z + p$ à p est en conséquence de la valeur de p . Dans chaque ligne, lorsque p croît, la valeur de $\frac{1}{M}$ diminue également; lorsque p diminue, la valeur de $\frac{1}{M}$ augmente très lentement vers une limite. Pour plus de précision dans le calcul, nous avons écrit dans la dernière ligne de la dernière colonne, dans le bas de la dernière ligne, la moitié de la dernière ligne, et l'avons multipliée par deux, et on en a tiré les nombres décimaux et on en a tiré les nombres entiers. Nous avons aussi, à chaque modifiant avec la variation de p , sur la feuille avec logique, on a été capable en choisissant certaines paramètres arbitraires.

Dans la figure se voient diverses autres fonctions:

p	0.5	1	2	3	4	5	6
$\log p$	-0.3010	-0.4771	-0.6990	-0.9030	-1.1000	-1.2860	-1.4600
x	1.3408	1.6691	1.6691	1.6691	1.6691	1.6691	1.6691
y	1.3408	1.6691	1.6691	1.6691	1.6691	1.6691	1.6691
z	1.3408	1.6691	1.6691	1.6691	1.6691	1.6691	1.6691
t	1.3408	1.6691	1.6691	1.6691	1.6691	1.6691	1.6691
$\frac{t}{1+t^2}$	0.369	0.577	0.791	0.925	0.987	1.000	1.000

horizontale, nous avons rangé les valeurs $t = 0,5$ jusqu'à $t = 5$; aux valeurs correspondantes de $\frac{t}{1+t^2}$, cinquième ligne viennent les logique précédente. Au-dessous sont variable $\frac{t}{1+t^2}$, dont les une fois pour toutes, depuis t , qui figurent dans le tableau pour des valeurs de t variant, semi-unité, depuis $t = 5$ jusqu'à la possibilité de pouvoir valeur intermédiaire entre

deux valeurs voisines de 4 et 5. Depuis ce cas, le logarithme, correspondant à ou de ces logiques intermédiaires, pouvant des venir nécessaire. Dans la sixième rangée horizontale on a répété dans chaque colonne, le logarithme du facteur constant $e^{0.2}$.

En faisant dans chaque colonne la somme des logarithmes des trois facteurs $x + p, z + p$ et du facteur constant, on obtient le logarithme des largeurs $\frac{x}{M}$, qui sont les chiffres de la sixième rangée. Au-dessous de ces logarithmes sont rangées les valeurs réelles des largeurs cherchées.

Dans la figure 10 nous avons représenté graphiquement les courbes qui donnent les largeurs d'aile calculées par la formule ci-dessus et dans laquelle nous avons fait varier successivement p , depuis $p = 0, p = 1, p = \infty$, jusqu'à $p = \text{infini}$, et qui correspondent à $y(z) = \text{constante}$.

En examinant cette figure, nous voyons que l'aile, déterminée par la courbe qui correspond à $p = 0$, est très étroite dans le bas et va en s'élargissant vers l'extrémité. En augmentant la valeur de p , l'aile s'élargit progressivement à son origine et se retrécit à son extrémité; pour $p = 1$, la forme d'aile obtenue est directement applicable aux propulsions actuels. Avec l'augmentation de p , l'aile s'élargit considérablement dans le bas et devient très étroite vers son extrémité. Cette forme d'aile ne peut plus être utilisée dans la pratique, dans son état actuel, mais pourrait être combinée avec une autre forme qui serait, au contraire, étroite dans le bas et large vers le bout. Dans ce cas, on calculerait la moitié des largeurs au moyen d'une formule, et l'autre moitié au moyen d'une autre convenablement choisie et on en ferait les sommes.

Nous avons tenu à indiquer comment la forme de l'aile se modifiait avec la variation du paramètre arbitraire, pour montrer la facilité avec laquelle on peut arriver à obtenir une forme d'aile voulue en choisissant convenablement la fonction $y(z)$ et les paramètres arbitraires.

Dans la figure 10 nous avons groupé les courbes obtenues par une autre fonction :

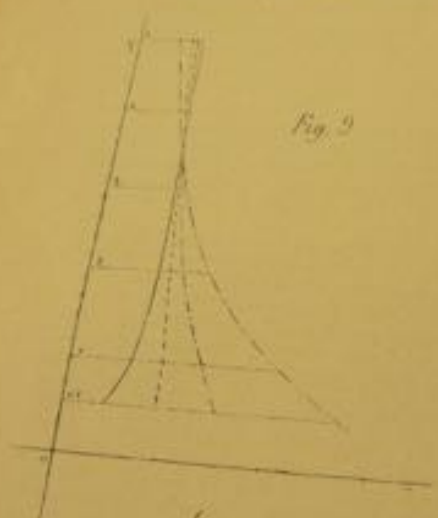
$$y(z) = z^2 + p,$$

— 41 —

Dans ce cas, l'équation devient :

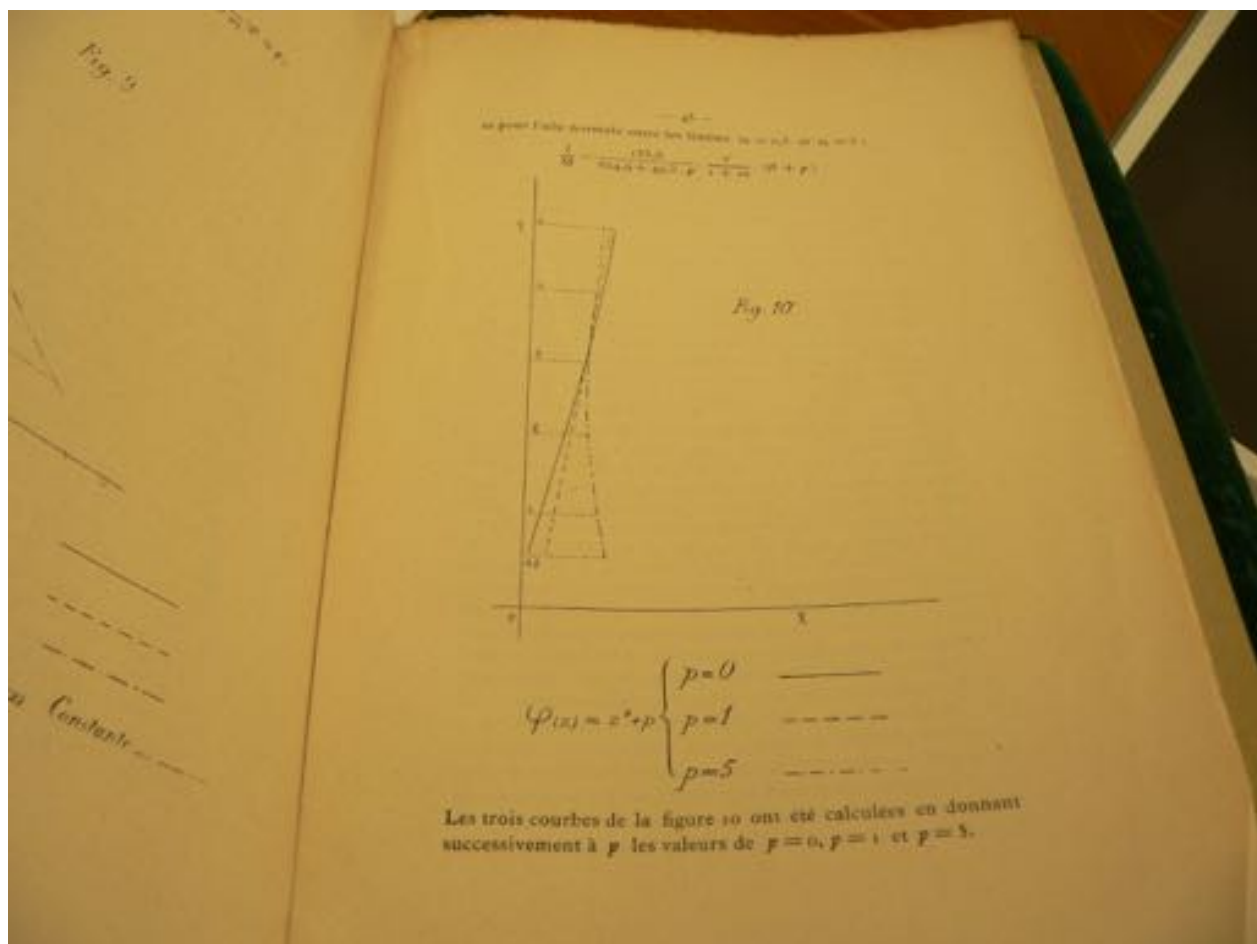
$$\frac{d}{dx} = \frac{10x}{(x-10)^2 + 10^2} - \frac{10}{(x-10)^2 + 10^2} = 0 \Rightarrow x = 10.$$

Fig. 9



$$\rho_{xy} = z \cdot p \begin{cases} p=0 & \text{---} \\ p=1 & \text{---} \\ p=3 & \text{---} \\ p=\infty & \rho_{xy} \text{ Constante} \end{cases}$$

Les trois c
successives



— 44 —

La pression de ces courbes sur cette droite, dans le sens de l'écoulement vers le bas, la diminue au moins comme que la pression de la normale, n'aurait légèrement. Telle sera, sans doute, cette dernière forme pourraient être combinée avec une autre qui, au contraire, éloignera un peu vers son milieu ; on pourraient alors, par exemple, par la rotation, etc., que α dans laquelle μ serait plus grand ou égal à α , et d'arriveront en suivant alors :

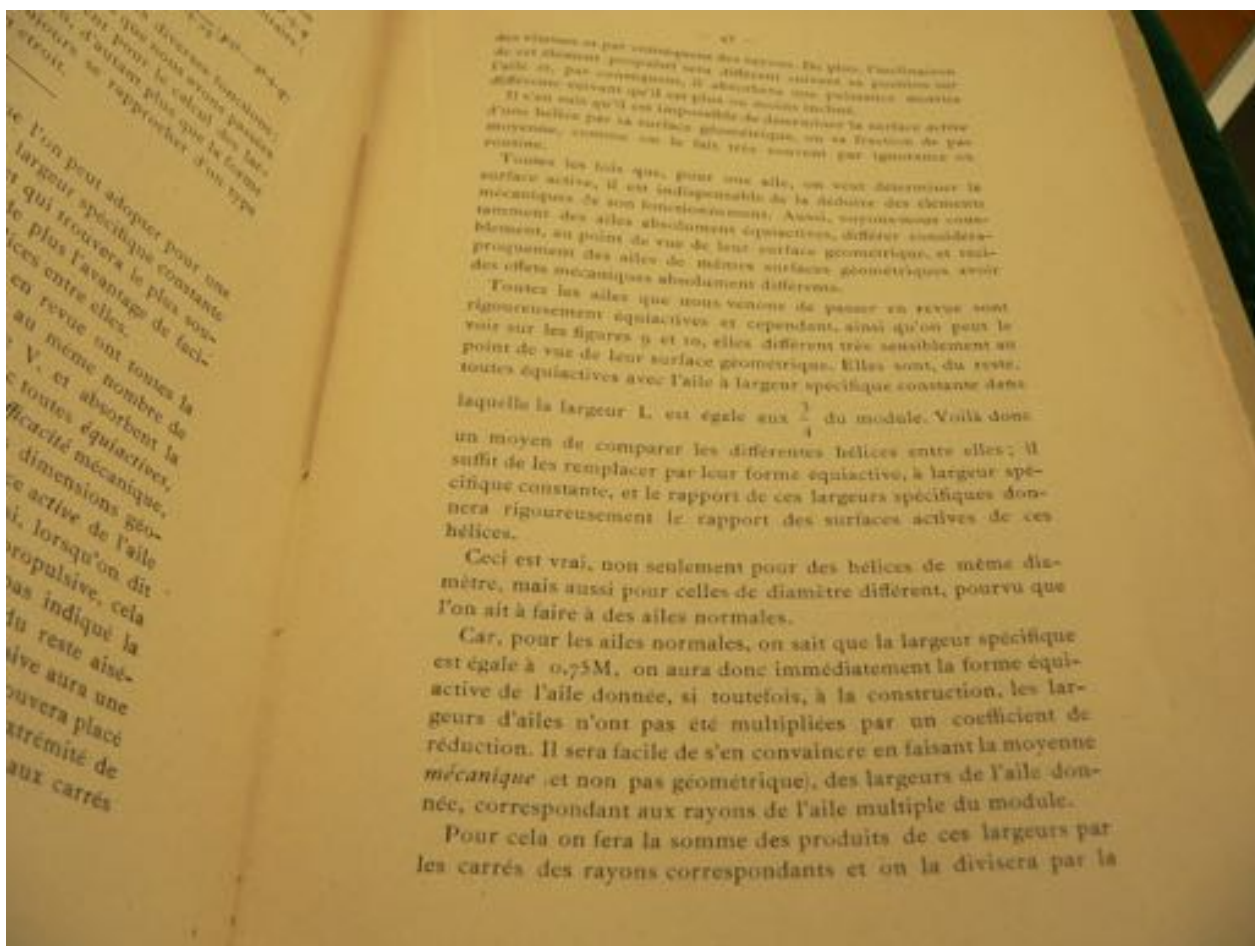
$$M = \frac{c^2}{4\pi(\alpha^2 - \beta^2)} + \frac{c^2}{4\pi(\alpha^2 - \beta^2)} \cdot \frac{\beta^2}{\alpha^2 - \beta^2} (\mu\alpha^2 - \beta^2 + \beta)$$

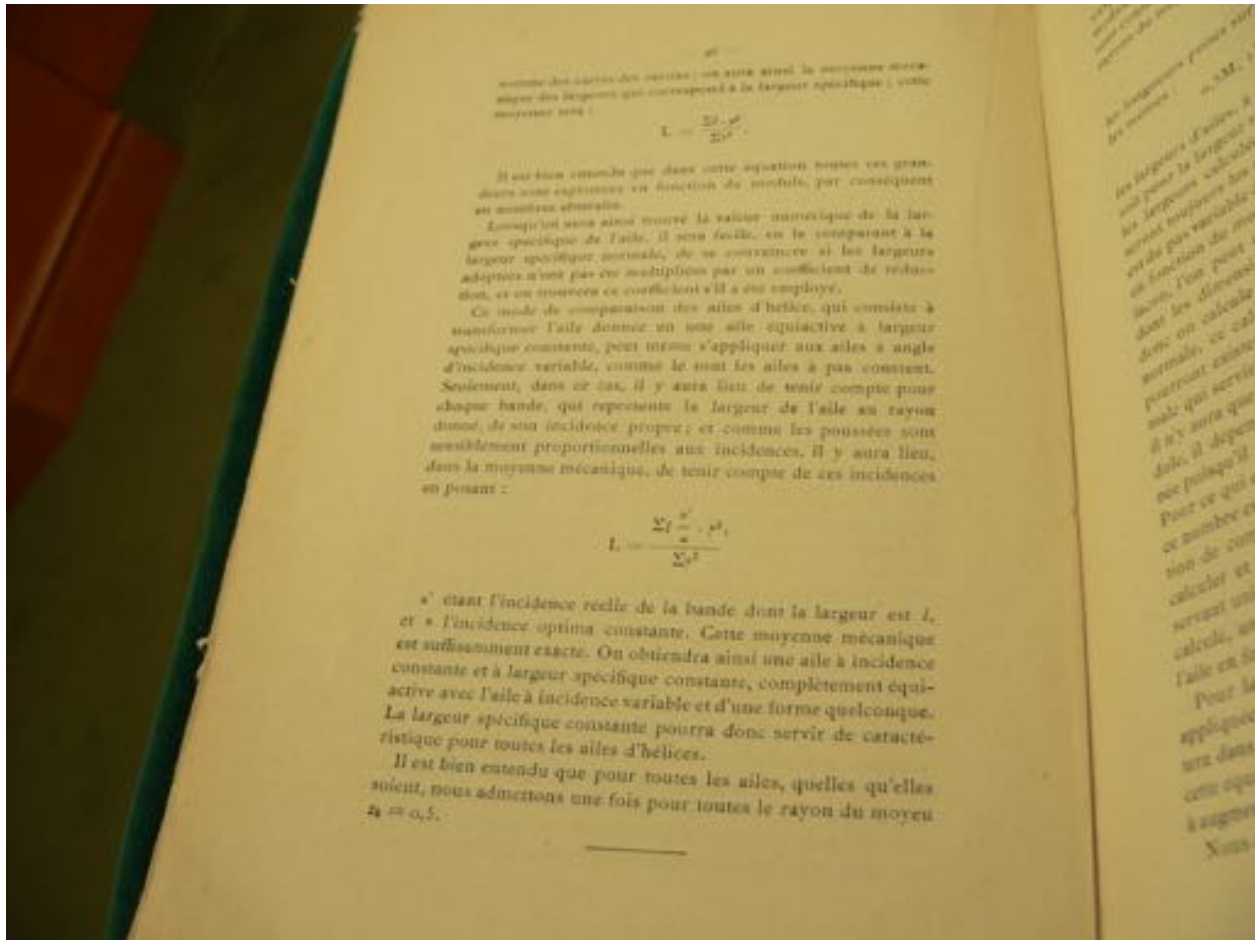
Cela pourrait servir à l'étude la chose des diverses fonctions, nous nous intéressons cependant à celles que nous avons passées en revue, car elles suffisent amplement pour le calcul des longueurs d'ailes d'un propulseur aérien, d'autant plus que la forme d'une aile aérienne sera toujours se rapprocher d'un type commun, généralement long et étroit.

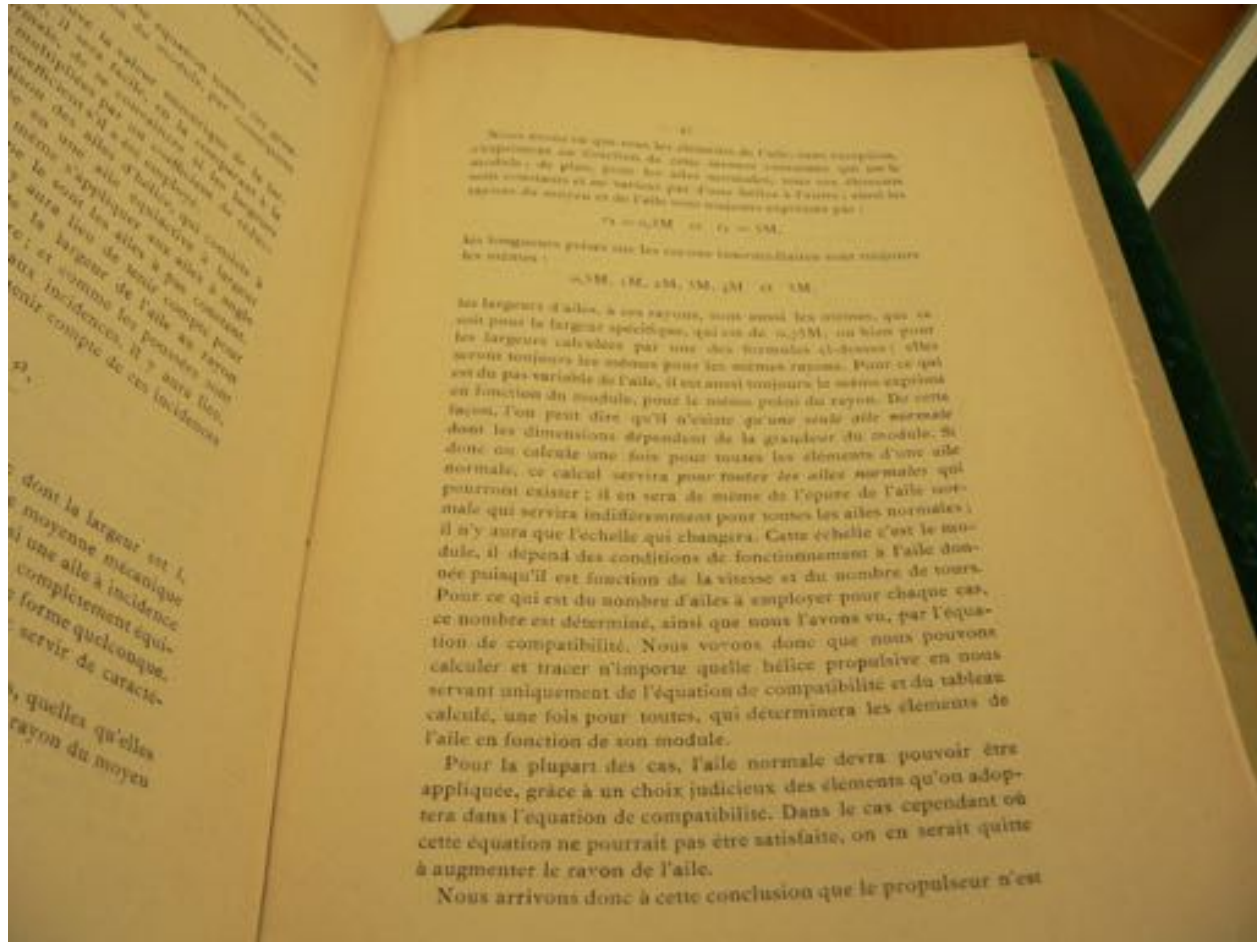
De toutes les formes d'ailes que l'on peut adopter pour une hélice aérienne, c'est encore celle à largeur spécifique constante qui est la plus commode à calculer et qui trouvera le plus souvent son application directe. Elle a de plus l'avantage de faciliter la comparaison des différentes hélices entre elles.

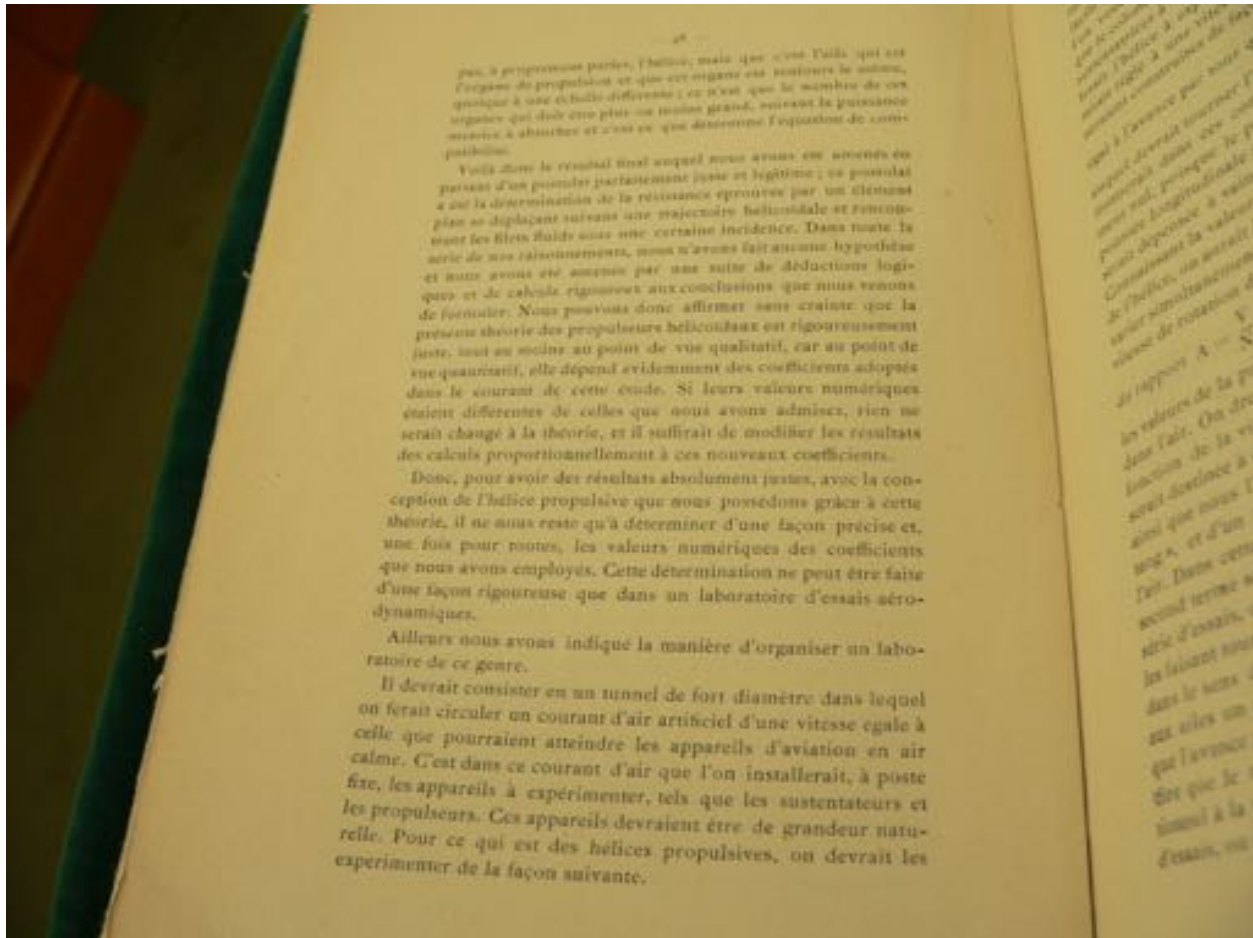
Tous les ailes que nous venons de passer en revue ont toutes la même longueur, de 3M, elles tournent au même nombre de tours N, avancent avec la même vitesse V, et absorbent la même puissance motrice F : elles sont donc toutes *équivalentes*, et leurs surfaces propulsives ont la même *efficacité mécanique*, malgré les différences très notables dans leurs dimensions géométriques. On voit par là à quel point la surface active de l'aile est différente de la surface géométrique. Aussi, lorsqu'on dit qu'il convient de donner à l'hélice telle surface propulsive, cela ne veut rien dire du tout, tant que l'on n'aura pas indiqué la *distribution* de cette surface. Cela se comprend du reste aisément. Car un centimètre carré de surface propulsive aura une action mécanique toute différente suivant qu'il se trouvera placé dans le voisinage de l'axe de rotation ou vers l'extrémité de l'aile, les poussées produites étant proportionnelles aux carrés

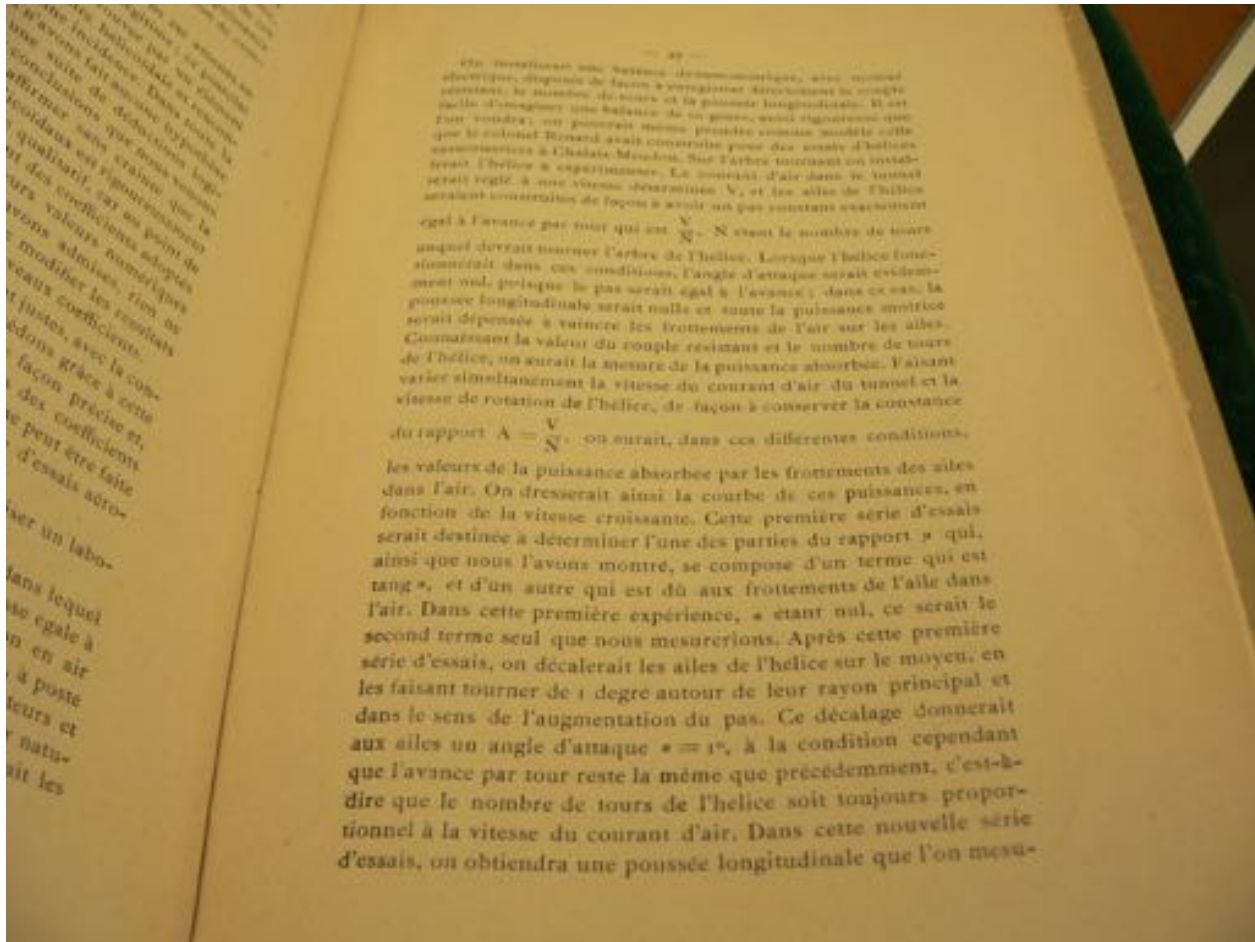
de la distance de l'axe. Cela nous oblige à donner à l'hélice une forme qui soit adaptée à la distribution de la puissance motrice. Toutes les fois que, pour déterminer la forme, nous devons faire des calculs, nous devons faire des calculs de nos dimensions, et nous devons faire des calculs de nos proportions, et nous devons faire des calculs de nos effets nécessaires, que toutes les ailes doivent répondre aux mêmes exigences, et que toutes les figures et tous les points de vue de leur surface doivent être équivalents avec rapport à la largeur. La largeur de l'aile est alors de compléter la surface remplie, et elle doit être constante, et alors nous devons faire des calculs de nos hélices. Ceci est vrai, mais aussi, il faut à faire à de l'air pour les ailes, et ce n'est pas toujours le cas. Pour les ailes, il faut que l'angle de l'attaque soit assez élevé, et que l'angle de l'angle d'attaque soit assez élevé. Il faut aussi que l'angle d'attaque soit assez élevé, correspondant à la largeur de l'aile.











... 30 ...
de courant, représentant la puissance utile, et le rapport de la puissance utile à la puissance motrice, enregistré directement, donnera le coefficient d'utilisation κ . De plus, le couple résistant diminuera la puissance utile de la valeur variable f_r , telle que la puissance longitudinale mesurerait la puissance utile P . Le rapport de ces deux forces déterminera la valeur numérique de α .

Après cette première série d'expériences, on décidera encore, d'après les allés de l'hélice, de faire à nouveau l'angle d'attaque à l'assureur à α_0 , toujours dans les mêmes conditions déterminant le couple des condensateurs. Après quoi on décidera les allés de l'hélice correspondant aux mêmes essais. En comparant les courbes des rendements dans ces trois séries d'essais, augmentant ou diminuant α , on verrà si les rendements croissent l'angle d'attaque jusqu'au moment où l'on arrivera au maximum de rendement. A ce moment, en rapprochant les limites des variations de l'angle d'attaque, on arrivera à déterminer rigoureusement et une fois pour toutes l'angle d'attaque réellement optimum. En même temps, on déterminera aussi le rendement maximum moyen d'une aile d'hélice. On procèdera ensuite à la vérification du coefficient κ . Pour cela, on expérimentera des allés normaux à largeur spécifique constante égale

sous $\frac{3}{4}$ du module. On fera tourner l'hélice au nombre de tours

N dans un courant d'air de vitesse V , et on enregistrera la puissance motrice dépensée. Si cette puissance motrice est plus faible ou plus forte que celle qu'indique le calcul pour le cas donné, c'est que le coefficient κ réel est plus fort ou plus faible que celui que nous avons admis ; et il y aura lieu de rectifier la valeur admise $\kappa = \kappa_0$, en la multipliant par le rapport direct des couples moteurs, calculé et réel, puisque nous savons que :

$$P = \kappa \cdot \kappa_0 \cdot W^2 \cdot a$$

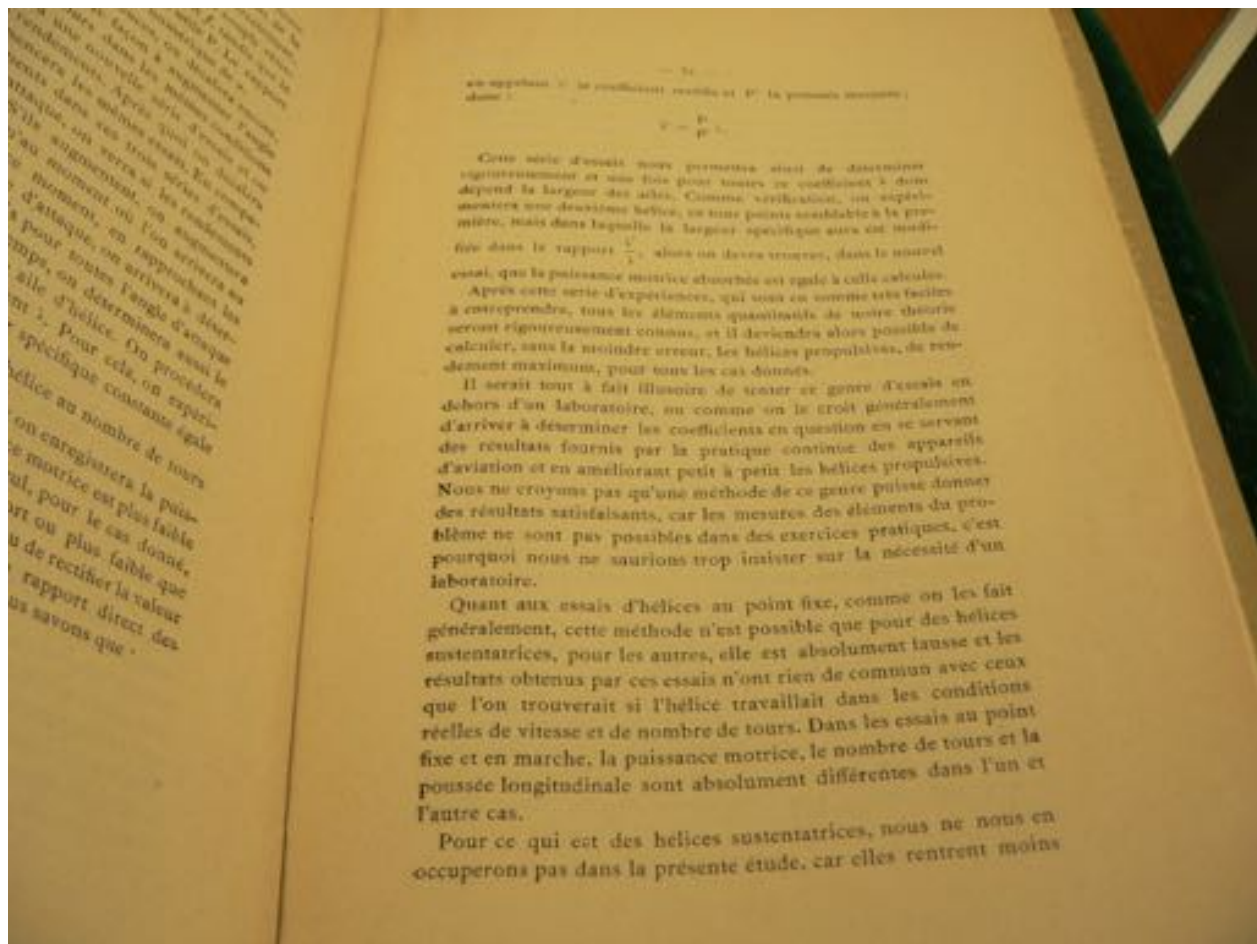
donc si :

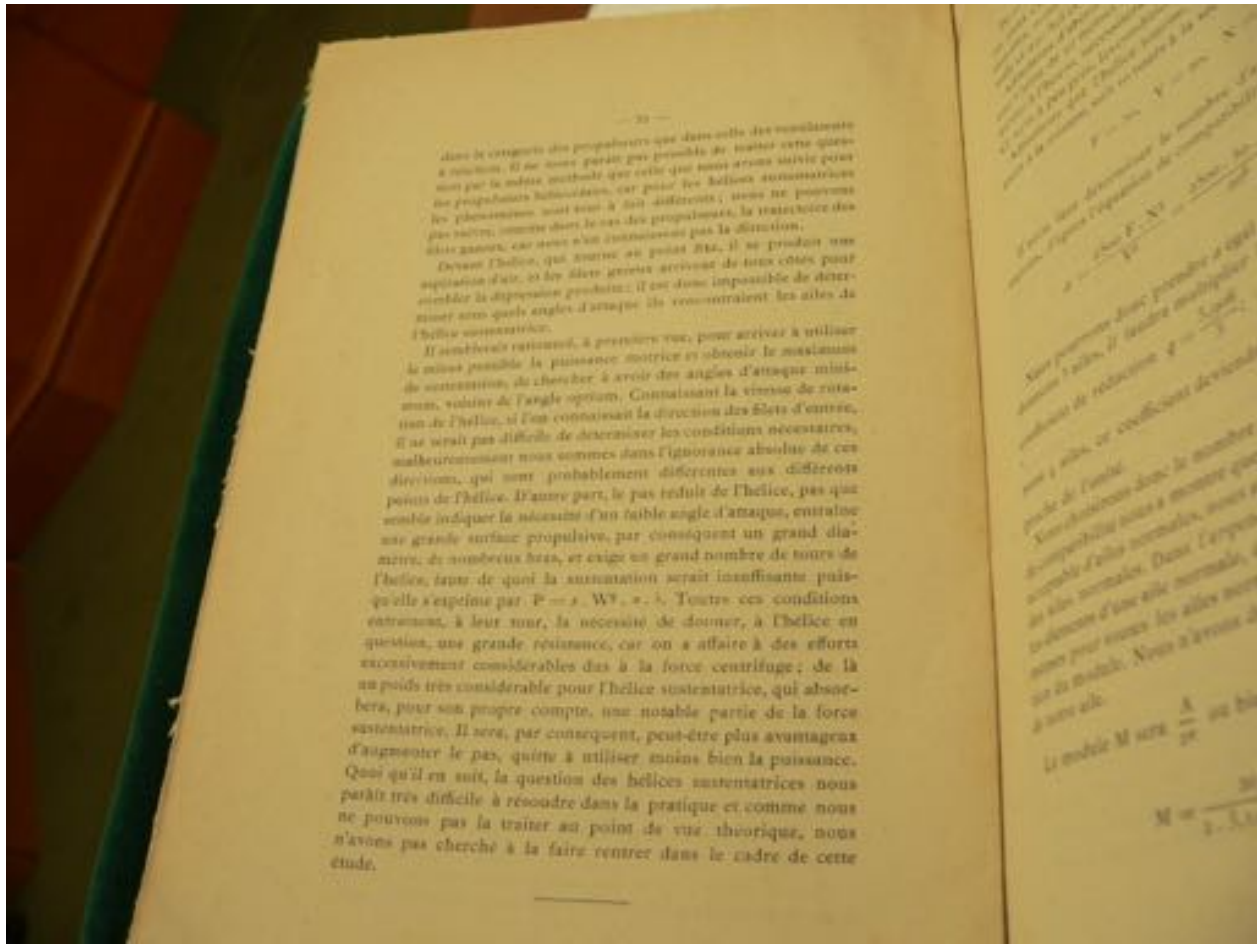
$$P' = \kappa' \cdot \kappa_0 \cdot W^2 \cdot a,$$

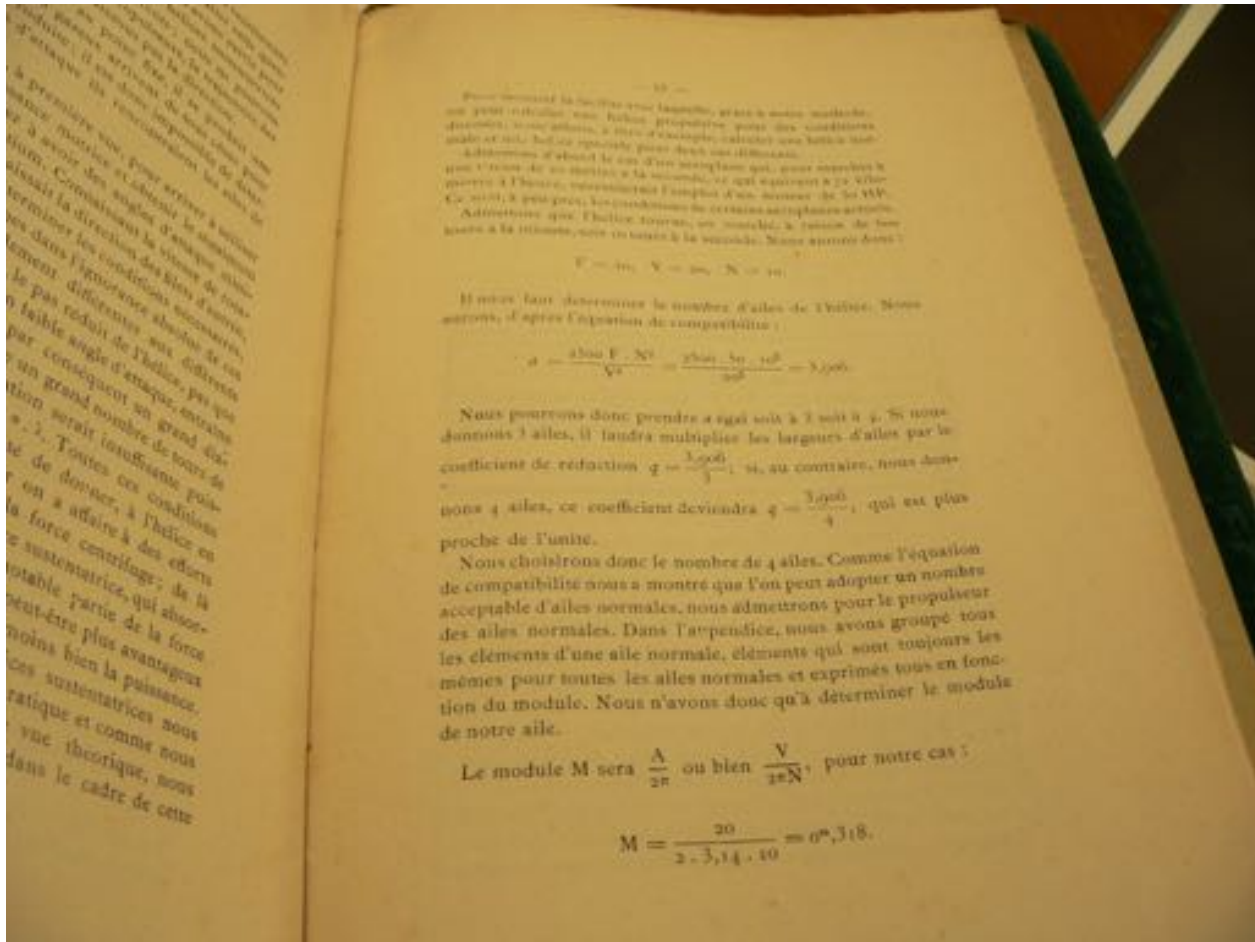
on aura le rapport direct :

$$\frac{P}{P'} = \frac{\kappa}{\kappa'}$$

... 31 ...
et donc nous devrons déterminer κ' pour que $\kappa = \kappa'$.
Pour ce qui est de l'angle d'attaque, nous devons faire une autre mesure dans les mêmes conditions que pour la première, mais avec une hélice à $\alpha = \alpha_0$.
Mais cette autre expérience nous donnera une autre valeur pour le rapport direct, et nous devrons alors faire une autre mesure dans les mêmes conditions que pour la première, mais avec une hélice à $\alpha = \alpha_0$.
Et ainsi nous aurons à faire plusieurs essais successifs pour déterminer le coefficient κ .
Mais ne croirez pas que nous ne croisons pas de difficultés supplémentaires.
Nous ne nous pas pourtant tout de suite.
Toutefois nous ne saurons pas si l'hélice tourne bien ou pas.
Quant aux essais supplémentaires, cette fois-ci nous devrons faire une autre mesure dans les mêmes conditions que pour la première.
Pour ce qui est de la puissance longitudinale, nous devrons faire une autre mesure dans les mêmes conditions que pour la première.







— 32 —
Ainsi le rapport des moments sera :
 $M = \frac{1}{2} \cdot \frac{q}{\rho} \cdot C_L \cdot S \cdot R$.

On peut donc écrire pour la dimension des moments :

$$M = q \cdot S \cdot R$$

ou pour la dimension de l'aileron :

$$D = \frac{1}{2} \cdot \rho \cdot q \cdot S$$

Le moment d'inertie sera de :
Pour la racine de l'aileron, nous divisons le rapport des parties appliquées au bord d'attaque, sauf la première division, qui sera égale à la moitié du précédent.)

Dimension du rapport :	rapport des deux dernières divisions
$\frac{H}{2}$ ou rapport des tailles de l'aileron	rapport des deux dernières divisions
de l'appendice	rapport des deux dernières divisions
Rapport du pas H :	24130 24120 24110 24100 24090
Les nombres précédents ont été multipliés par 20.	
Largeur spéciale constante.	$L \times q = 24090$

Dans le tableau ci-dessous nous avons rangé, dans la première ligne, les divisions des rapports auxquelles correspondent les parties de l'aileron. Ces pas sont rangés dans la troisième ligne; ils ont été obtenus en multipliant, par 20, les valeurs de la rangée précédente, qui sont $\frac{H}{20} M$. Ici ces mêmes rapports de l'appendice. Enfin, dans la dernière ligne, nous avons indiqué la largeur spécifique constante de l'aileron, que l'on obtient en multipliant par M la largeur indiquée dans le tableau; de plus, nous l'avons multipliée par le coefficient de réduction q .

Voilà donc tous les éléments de notre hélice déterminés suffisamment pour pouvoir en entreprendre la construction.

Comme deuxième exemple, nous choisissons des conditions spéciales où des ailes normales ne pourraient pas être employées. Supposons une hélice de ballon dirigeable, mue par un moteur

Dimension du rapport :	rapport des deux dernières divisions
$\frac{H}{2}$	
rapport de 20	
Rapport de M	
Largeur spécifique constante	$M = 248$
rapport du pas H :	24130 24120 24110 24100 24090
Largeur spéciale constante	$D = 11.30$
Dimension du rapport :	rapport des deux dernières divisions
$\frac{H}{2}$	
rapport de 20	
Rapport de M	
Largeur spécifique constante	$M = 258$
rapport du pas H :	24130 24120 24110 24100 24090
Largeur spéciale constante	$D = 11.30$

diviseur de la ligne de partage	diviseur de la ligne de partage
diviseur de la ligne de partage	diviseur de la ligne de partage
diviseur de la ligne de partage	diviseur de la ligne de partage
diviseur de la ligne de partage	diviseur de la ligne de partage
diviseur de la ligne de partage	diviseur de la ligne de partage
$l \times q = 4000$	

age dans la première correspondant les pas à la troisième ligne ; valeurs de la rangée mes du tableau de nous avons indiqué l'obtient en multipliant par 1000 ; de plus, nous termines suffisamment les conditions employées, d'un moteur

de ton PEP, multiplié à nos vitesse de 14 mètres à la minute, soit les kilomètres à 8 chevaux. Supposons de plus que le nombre de voies soit 100 pour la machine, soit 1000 à la seconde. Voulons-tu faire possible de donner une proportionnalité acceptable d'autres dimensions ; pour cela, prenons

$$d = \frac{10,73}{4} = 2,6825$$

Comme, en réalité, il ne nous sera possible d'employer que 4 ailes au maximum, nous devons renoncer aux ailes supplémentaires. Les conditions de réduction sont :

$$d = \frac{10,73}{4} = 2,6825$$

Nous avons vu plus haut que si l'on donnait à l'aile un rayon égal à $\frac{1}{2}M$, alors le largeur spécifique, égale au $\frac{1}{2}$ de la longueur de l'aile, augmentait la surface active de 4,1 fois. C'est précisément ce qu'il nous faut au cas présent, nous pouvons donc prendre comme limite pour l'aile, $r_1 = \frac{1}{2}M$.

Pour déterminer le module, nous poserons :

$$M = \frac{V}{2 \times N} = \frac{14}{0,25 \cdot 6} = 0^m.371,$$

ce qui nous donnera pour le diamètre du moyen :

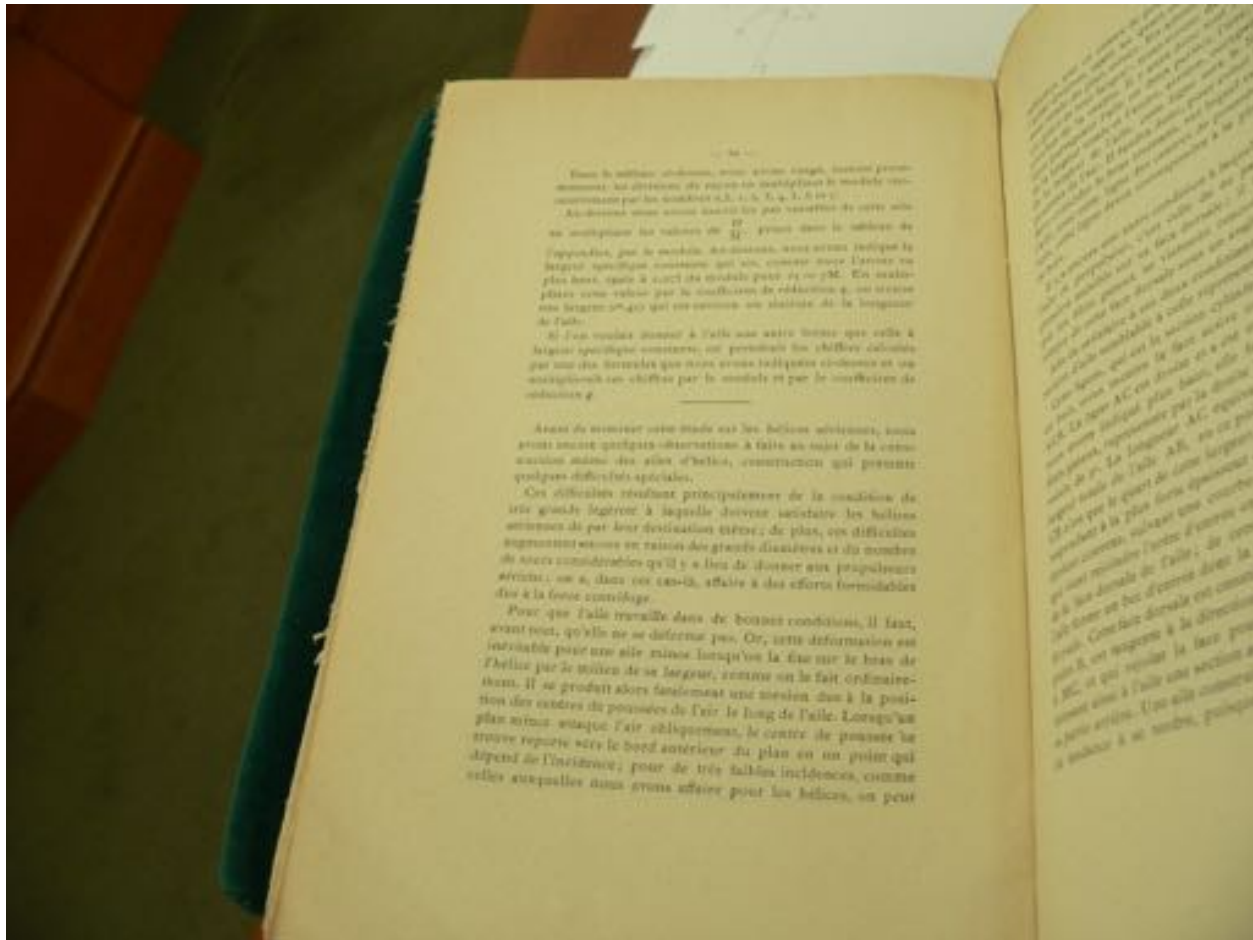
$$d = 0^m.371,$$

et pour celui de l'hélice :

$$D = r_1 \cdot M = 5^m.104.$$

Le nombre d'ailes sera de 4.

Divisions du rayon r_1	0=105 0=201 0=242 0=313 1=044 1=050 2=126 2=207
Valeurs de $\frac{H}{r_1}$	0=031 0=052 0=061 0=071 0=072 0=073 0=074 0=075
Valeurs de H	0=325 2=180 2=522 2=516 2=645 2=711 2=795 2=802
L'largeur spécifique constante	$L = 0,275 M \cdot \frac{10,73}{4} = 0,427$



Dans la situation précédente, nous avons constaté, nous pouvons donner les directions de réactions correspondant au modèle correspondant aux conditions initiales (§ 2, § 3, § 4).

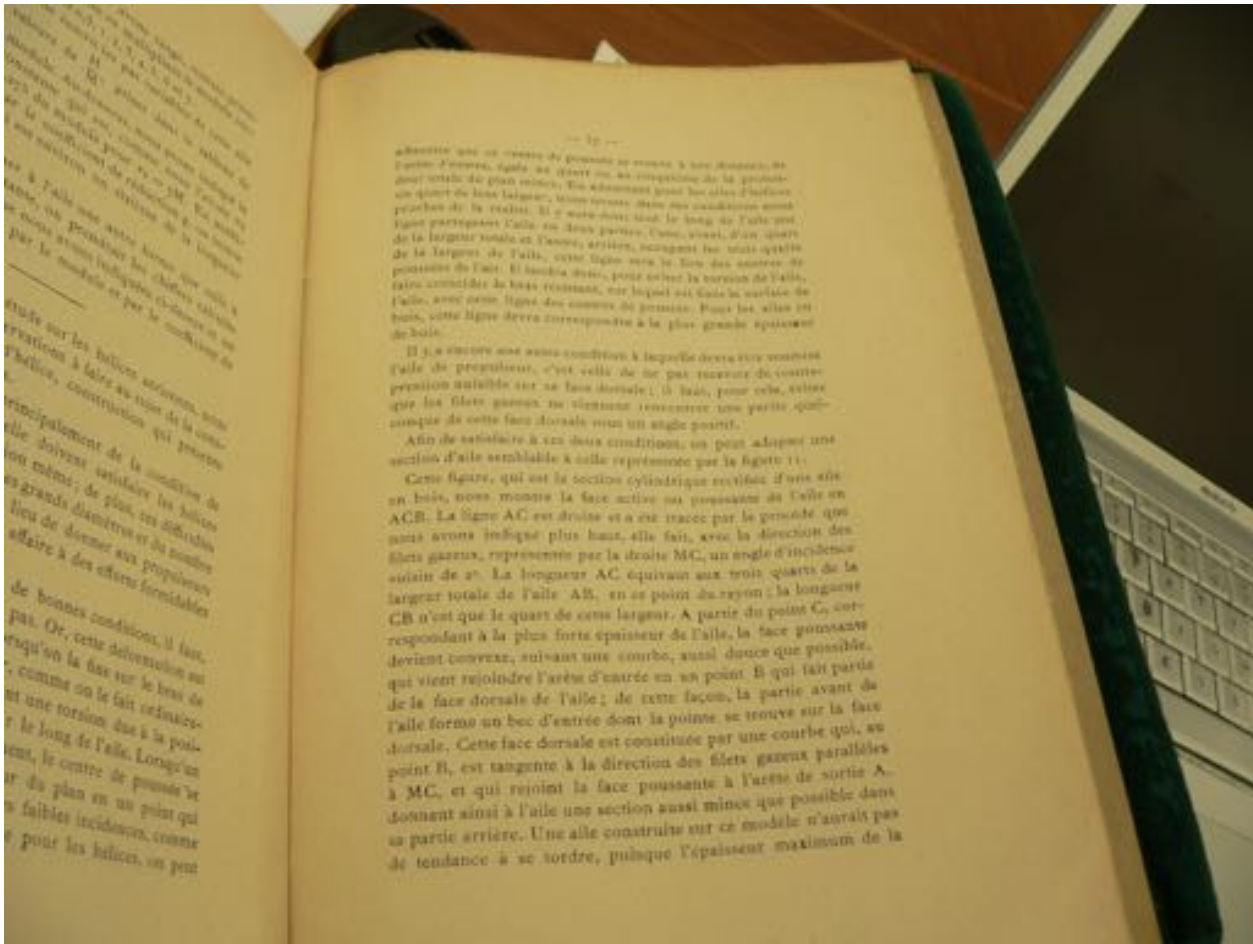
Antérieurement nous avons montré les parallélismes du centre soit un multipleur des valeurs de Ω , pris dans le tableau de l'opposition, pour le modèle précédent, nous avons indiqué la largeur spécifique correspondant aux courants dans l'arcane en plus basse, jusqu'à ce que le modèle passe de $\omega = \omega_0$. Ces résultats sont repris par le coefficient de réaction μ , où nous trouvons une largeur ω_0 qui correspond aux résultats de la longueur de l'arcane.

Il faut veiller à noter à cette fois entre toutes que cette à plusieurs spécificités constantes, ou presque les phénomènes peuvent être transformés que nous avons indiqués ci-dessus et ces correspondances échappent par le modèle et par le coefficient de réaction μ .

Avant de terminer cette étude sur les bulles adhérentes, nous avons encore quelques observations à faire au sujet de la circulation adhérente des solides d'adhérence, considérations qui permettent quelques difficultés supplémentaires.

Ces difficultés résultent principalement de la condition de très grande légèreté à laquelle doivent se trouver les bulles adhérentes de par leur destination même ; de plus, ces difficultés apparaissent aussi en raison des grandeurs dissymétriques et du nombre de leurs considérations qu'il y a lieu de donner aux propriétés solides, ou si, dans ces cas-là, affaire à des efforts formidables due à la force centrifuge.

Pour que l'adhérence dans de bonnes conditions, il faut, tout tout, qu'elle ne se déforme pas. Or, cette déformation est entraînée par une solide masse jusqu'au la fixant le long de l'ellipsoïde par le moyen de sa longueur, comme on le fait ordinairement. Il se produira alors facilement une tension due à la position des extrémités de poussées de l'air le long de l'ellipsoïde. Lorsqu'un plan primaire atteignait l'air obliquement, le centre de poussée le trouve reporté vers le bord antérieur du plan en un point qui dépend de l'inclinaison, pour de très faibles incidences, comme celle auxquelles nous avons affaire pour les bulles, on peut



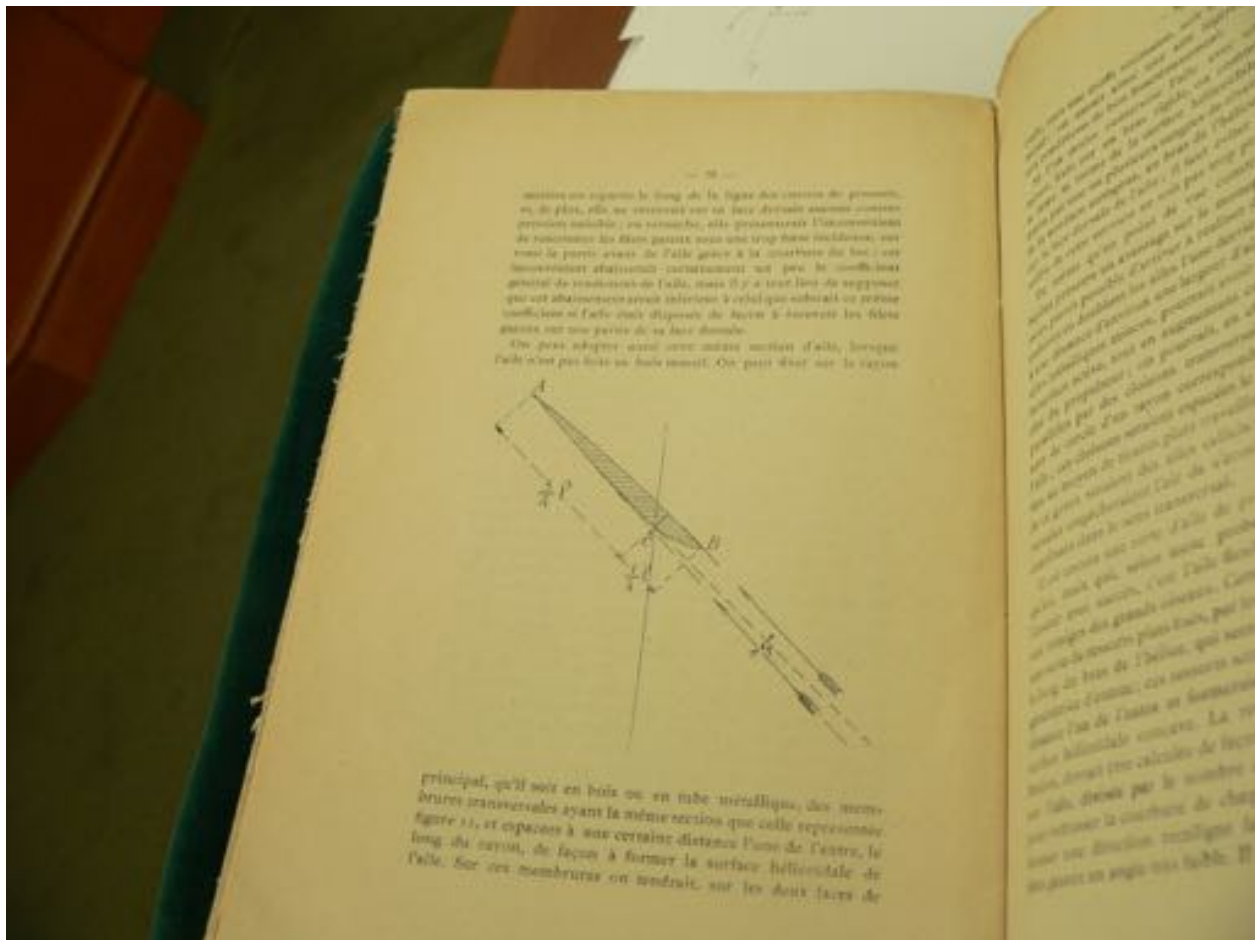
— 19 —

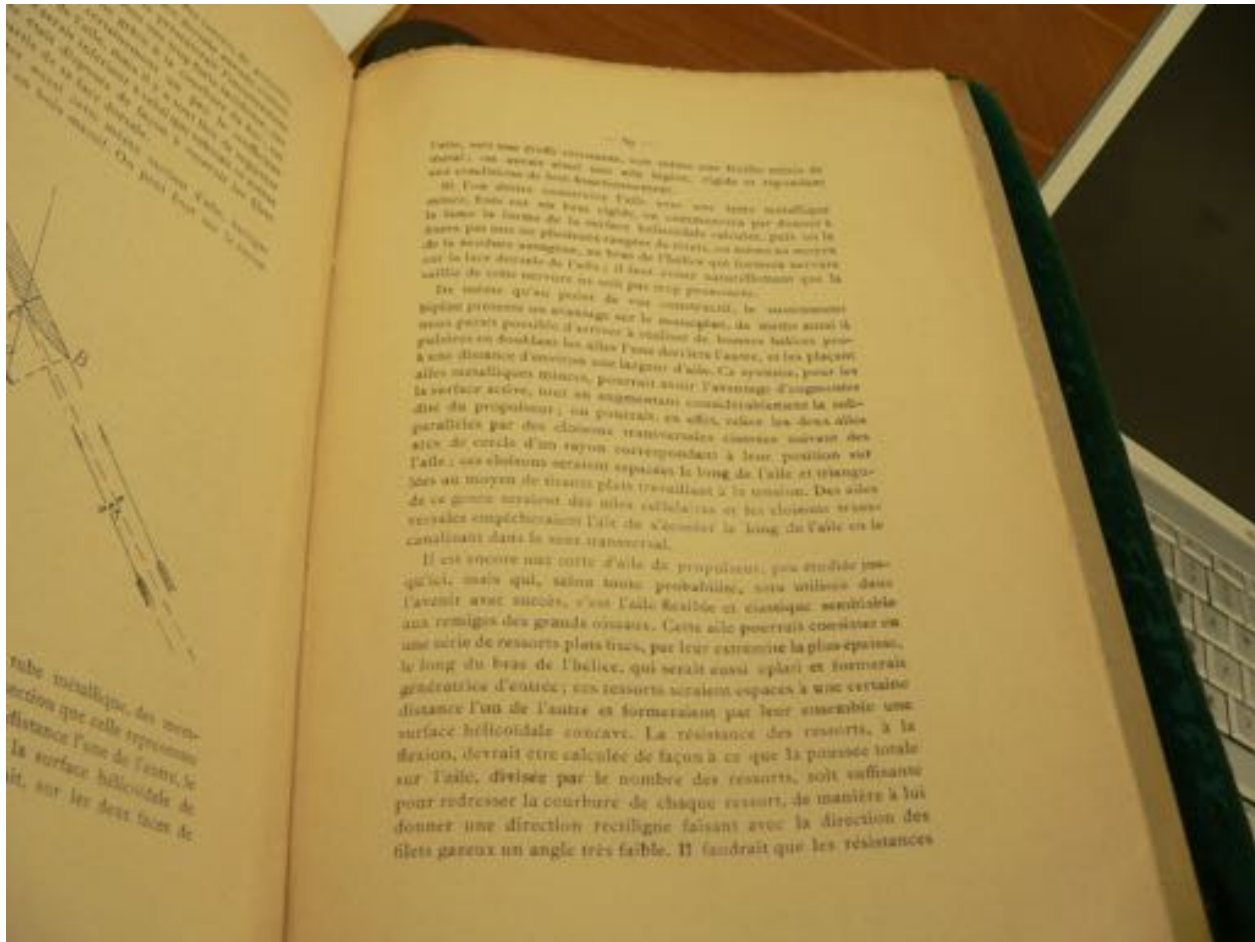
admettre une certaine dégradation de l'os, à tout moment de l'usage. Par contre, il faut se rappeler que les coquilles doivent être assez minces pour éviter les risques d'écoulement des liquides dans le modèle. Mais nous devons faire attention à ce que ces coquilles soient assez épaisses pour résister à la pression de l'air. Ensuite, nous devons faire attention à ce que les coquilles soient assez solides pour résister à la pression de l'air. Ensuite, nous devons faire attention à ce que les coquilles soient assez solides pour résister à la pression de l'air.

Il y a encore une autre condition à laquelle devra être尊重ueuse l'aile de propulsions, c'est celle de ne pas exercer de contrainte excessive sur la face dorsale; le bras, pour cela, entre que les filaments puissent se déformer sans exercer une pression excessive sur cette face dorsale sous un angle positif.

Afin de satisfaire à ces deux conditions, on peut adapter une section d'aile semblable à celle représentée par la figure 1.

Cette figure, qui est la section cylindrique réalisée d'une aile en bois, nous montre la face arrière ou poussante de l'aile en ACB. La ligne AC est droite et a été tracée par le pinceau qui nous avons indiqué plus haut. Elle fait, avec la direction des filaments, représentée par la droite MC, un angle d'inclinaison égal à 2° . La longueur AC équivaut aux trois quarts de la largeur totale de l'aile AB; en ce point du rayon; la longueur CB n'est que le quart de cette largeur. À partir du point C, correspondant à la plus forte épaisseur de l'aile, la face poussante devient convexe, suivant une courbe, aussi douce que possible, qui vient rejoindre l'arête d'entrée en un point B qui fait partie de la face dorsale de l'aile; de cette façon, la partie avant de l'aile forme un boc d'entrée dont la pointe se trouve sur la face dorsale. Cette face dorsale est constituée par une courbe qui, au point B, est tangente à la direction des filaments parallèles à MC, et qui rejoint la face poussante à l'arête de sortie A, donnant ainsi à l'aile une section aussi mince que possible dans sa partie arrière. Une aile construite sur ce modèle n'aurait pas de tendance à se torturer, puisque l'épaisseur maximum de la





partie, sont très étroitement, sans écart, sur l'arête sans être toutefois dans le prolongement de celle-ci. Cela ne répondant

à l'idée d'une aile en forme de fer à cheval, on pourrait faire par-dessus la lame la forme de la surface héliocyclique extrudée, mais on ne gagnerait pas non plus aux phénomènes évoqués du métal qui bâtit au moyen de la méthode héliocyclique, un bout de l'hélice qui formerait nécessairement une partie de cette aile, il faut croire naturellement que la

taille qu'on possède de ces métalliques, le mouvement qui peut prendre un avantage sur le métallique, il me semble aussi la forme parfaite pourra être atteinte à condition de donner toutes les parties en fonction des autres l'une davantage l'autre, et les placer à une distance d'environ une longueur d'aile. Ce système, pour les ailes métalliques minces, pourrait avoir l'avantage d'augmenter la surface arrière, tout en augmentant considérablement la vitesse du propulseur ; on pourrait, en effet, faire les deux ailes parallèles par des cloisons transversales connexes suivant des arcs de cercle d'un rayon correspondant à leur position sur l'aile ; ces cloisons seraient espacées le long de l'aile et triangulées au moyen de tirants plats travaillant à la tension. Des ailes de ce genre auraient des fibres cellulaires et les cloisons serviraient empêcher l'aile de s'éloigner le long de l'aile en le courbant dans le sens transversal.

Il est encore tout à faire d'imaginer, pas étudié jusqu'à présent, mais qui, selon toute probabilité, sera utilisé dans l'avenir avec succès, c'est l'aile flexible et élastique soumise aux remous des grands courants. Cette aile pourra évidemment sur une série de ressorts plats tranchés, par leur extrémité la plus épaisse, le long du bras de l'hélice, qui serait ainsi aplati et formerait graduellement l'aile, ces ressorts seraient espacés à une certaine distance l'un de l'autre et formeraient par leur ensemble une surface héliocyclique concave. La résistance des ressorts, à la flexion, devrait être calculée de façon à ce que la puissance totale sur l'aile, divisée par le nombre des ressorts, soit suffisante pour redresser la courbure de chaque ressort, de manière à lui donner une direction rectiligne faisant avec la direction des filets garnoux un angle très faible. Il faudrait que les résistances

tube métallique, des membranes que celle représentant la distance l'une de l'autre, la surface héliocyclique de l'aile, sur les deux faces de

— 30 —

qui doivent nous nous séparer au cours d'un travail correspondant, notamment dès que les couverts ou laissés de l'air sont beaucoup plus nombreux que ceux de la terre. Les premiers, que des étoiles et autres séparées au-dessous, sont, malgré nécessité d'une étude élégante, qui se révèle au moyen de la détermination des couverts. Une fois de ce genre assez délivré à connaître, nous nous croyons que, si elle était convenablement calculée, elle épaulerait un programme de très bon rendement.

Nous voilà parvenus au sens de la tâche que nous nous sommes imposés. Nous avons, dans cette étude, cherché à exposer, avec clarté, que nous l'avons par une méthode qui donne, sur la question des propulseurs balistiques, une vue d'ensemble grâce à laquelle il sera possible à l'investigateur de voir, par les yeux de l'esprit, les phénomènes irréductibles qui échappent à la vue physique. Cette méthode est destinée à permettre à l'esprit, guidé par le calcul et la connaissance des lois scientifiques, de s'orienter dans le détail obscur des phénomènes complexes et peu connus, où, faire d'un fil conducteur, il perd la notion des relations nécessaires, ne les distingue plus des contingences et se raccroche aux indications qu'il sait, au bas, dans les observations de la pratique courante, indications justes peut-être dans certains cas, mais, plus souvent encore, d'apparence trompeuse et dénaturant la réalité des choses.

Pour l'aviation, la perfection des propulseurs est une question de tout premier ordre, pour la solution de laquelle les procédés de témoignages empiriques sont absolument insuffisants, il est donc indispensable de l'éclairer par la lumière vive que, seule, projette une méthode générale et scientifique.

Heureusement, dans ce travail, nous avons réussi à apporter à la question une contribution dans cet ordre d'idées.

Paris, 1909.

S. DRZEWIECKI.

— 30 —

TABLEAU DES ELEMENTS D'UNE AILE SUR	
Surface de l'aile S	100 m ²
Longueur de l'aile L	10 m
Largeur de l'aile B	1,0 m
Surface moyenne de l'aile S_m	50 m ²
Longueur moyenne de l'aile L_m	5 m
Largeur moyenne de l'aile B_m	0,5 m
Surface moyenne de l'aile S_{m2}	25 m ²
Longueur moyenne de l'aile L_{m2}	2,5 m
Largeur moyenne de l'aile B_{m2}	0,25 m

TABLEAU DES ELEMENTS D'UNE AILE NORMALE

Subdivision du rayon $\frac{r}{M}$	largeur $\frac{H}{M}$	$\frac{H^2}{M^2}$	pas $\frac{H}{M}$	Largeur spécifique commandée $\frac{L}{M}$	Largeur spéciale résultante $\frac{L}{M}$
Rayons du moyen $\frac{r}{M}$					
1	0,985	0,970			
2	1,065	1,035			
3	1,081	1,061			
4	1,108	1,108			
5	1,136	1,136			
6	1,165	1,165			
7	1,195	1,195			
8	1,226	1,226			
Rayons extrêmes $\frac{r}{M}$					
9	1,258	1,258			
10	1,292	1,292			

$M = \frac{V}{2\pi} \cdot \text{Le nombre d'ailes } a = \text{Plan E. SN}$

Les largeurs $\frac{L}{M}$ sont calculées par la formule :

$$\frac{L}{M} = \frac{a}{x \cdot p^2 - x p + 1} \cdot p \cdot (x^2 - x^2) \cdot \frac{x}{x + 1 - x^2} \cdot (1 - p^2) \cdot p - 1$$

TABLEAU DES ELEMENTS D'UNE AILE SUPÉRIEURE À LA NORMALE

Subdivisions du rayon $\frac{r}{M}$	largeur $\frac{H}{M}$	$\frac{H^2}{M^2}$	pas $\frac{H}{M}$	Largeur spécifique commandée $\frac{L}{M}$	$\frac{L}{M}$	x nombre d'ailes réel x nombre calculé
Rayon du moyen $\frac{r}{M}$						
1	0,985	0,970				$a = \frac{a_{SN} FN_2}{V_1}$
2	1,065	1,035				
3	1,081	1,061				
4	1,108	1,108				
5	1,136	1,136	$\log \frac{L}{M} = 18$			
6	1,165	1,165	$\log \frac{L}{M} = 19$			
7	1,195	1,195	$\log \frac{L}{M} = 20$			
8	1,226	1,226	$\log \frac{L}{M} = 21$			
Rayons extrêmes $\frac{r}{M}$						
9	1,258	1,258	$\log \frac{L}{M} = 22$			
10	1,292	1,292	$\log \frac{L}{M} = 23$			

Il y aurait lieu de multiplier les largeurs $\frac{L}{M}$ par le rapport $\frac{q}{p}$.

WEISMANN
 Bi
 Marqu
 Modelos
 Proces

APPENDIX
 TABLEAU

log $\beta - 1$	0.00	0.10	0.20	0.30	0.40	0.50	0.60	0.70	0.80	0.90	1.00
log $\beta - \frac{1}{\beta}$	0.000	0.010	0.020	0.030	0.040	0.050	0.060	0.070	0.080	0.090	0.100
log $\log \beta - \alpha$	-0.000	-0.001	-0.002	-0.003	-0.004	-0.005	-0.006	-0.007	-0.008	-0.009	-0.010
log $\tan \beta$	0.000	0.001	0.002	0.003	0.004	0.005	0.006	0.007	0.008	0.009	0.010
log $\tan^2 \beta$	0.000	0.001	0.002	0.003	0.004	0.005	0.006	0.007	0.008	0.009	0.010
log $\frac{\beta - 1}{\beta}$	0.000	0.001	0.002	0.003	0.004	0.005	0.006	0.007	0.008	0.009	0.010
log $\frac{\beta - 1}{\beta} \cdot \frac{1}{\beta}$	0.000	0.001	0.002	0.003	0.004	0.005	0.006	0.007	0.008	0.009	0.010
log $\frac{\beta - 1}{\beta} \cdot \frac{1}{\beta^2}$	0.000	0.001	0.002	0.003	0.004	0.005	0.006	0.007	0.008	0.009	0.010
log $\frac{\beta - 1}{\beta} \cdot \frac{1}{\beta^3}$	0.000	0.001	0.002	0.003	0.004	0.005	0.006	0.007	0.008	0.009	0.010
log $\frac{\beta - 1}{\beta} \cdot \frac{1}{\beta^4}$	0.000	0.001	0.002	0.003	0.004	0.005	0.006	0.007	0.008	0.009	0.010
log $\frac{\beta - 1}{\beta} \cdot \frac{1}{\beta^5}$	0.000	0.001	0.002	0.003	0.004	0.005	0.006	0.007	0.008	0.009	0.010
log $\frac{\beta - 1}{\beta} \cdot \frac{1}{\beta^6}$	0.000	0.001	0.002	0.003	0.004	0.005	0.006	0.007	0.008	0.009	0.010
log $\frac{\beta - 1}{\beta} \cdot \frac{1}{\beta^7}$	0.000	0.001	0.002	0.003	0.004	0.005	0.006	0.007	0.008	0.009	0.010
log $\frac{\beta - 1}{\beta} \cdot \frac{1}{\beta^8}$	0.000	0.001	0.002	0.003	0.004	0.005	0.006	0.007	0.008	0.009	0.010
log $\frac{\beta - 1}{\beta} \cdot \frac{1}{\beta^9}$	0.000	0.001	0.002	0.003	0.004	0.005	0.006	0.007	0.008	0.009	0.010
log $\frac{\beta - 1}{\beta} \cdot \frac{1}{\beta^{10}}$	0.000	0.001	0.002	0.003	0.004	0.005	0.006	0.007	0.008	0.009	0.010

TABLEAU 2

β	0	1	2	3	4	5	6	7	8	9	10
$\log \frac{\beta}{1 + \beta}$	-0.2231	-0.1823	-0.1461	-0.1149	-0.0869	-0.0619	-0.0395	-0.0200	-0.0066	-0.0016	-0.0003

$\beta = \cos \theta$, $\theta = \arctan \beta$.

